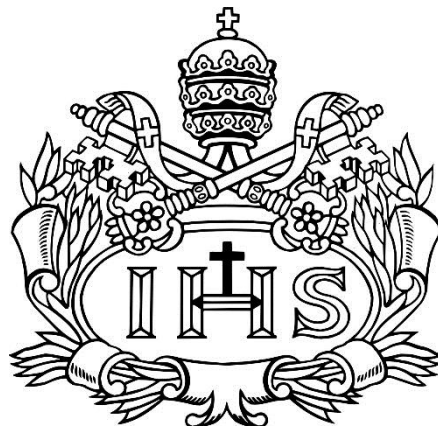


**EVALUACIÓN DE LA ACTIVIDAD ANTI *Batrachochytrium dendrobatis*  
POR PARTE DE LA MICROBIOTA PRESENTE EN LA PIEL DE DOS ESPECIES DE  
RANAS ANDINAS**



**LAURA ALEJANDRA ESCOBAR IBARRA**

**TRABAJO DE GRADO**

**Presentado como requisito para optar el título de**

**Bióloga**

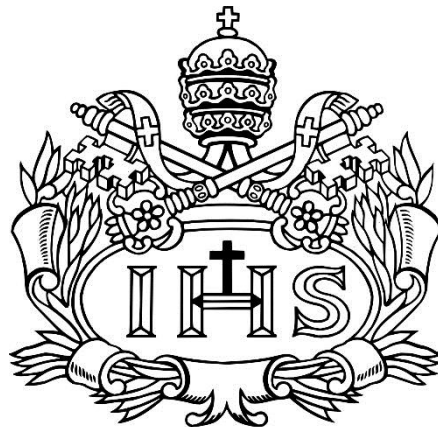
**PONTIFICIA UNIVERSIDAD JAVERIANA**

**FACULTAD DE CIENCIAS**

**CARRERA DE BIOLOGÍA**

**BOGOTÁ, D.C. 2016**

**EVALUACIÓN DE LA ACTIVIDAD ANTI *Batrachochytrium dendrobatis*  
POR PARTE DE LA MICROBIOTA PRESENTE EN LA PIEL DE DOS ESPECIES DE  
RANAS ANDINAS**



**LAURA ALEJANDRA ESCOBAR IBARRA**

**APROBADO**

---

**Concepción Puerta B., PhD**

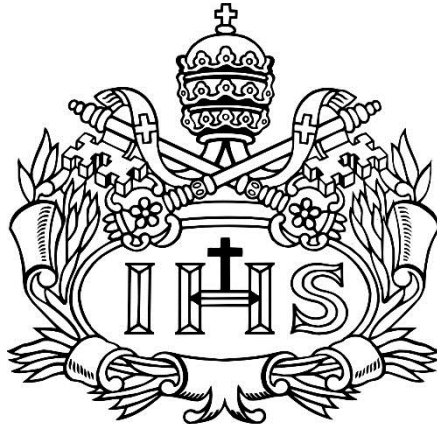
**Decana académica**

---

**Jorge Hernán Jácome R., PhD**

**Director Carrera de Biología**

**EVALUACIÓN DE LA ACTIVIDAD ANTI *Batrachochytrium dendrobatidis*  
POR PARTE DE LA MICROBIOTA PRESENTE EN LA PIEL DE DOS ESPECIES DE  
RANAS ANDINAS**



**LAURA ALEJANDRA ESCOBAR IBARRA**

**APROBADO**

---

**Sandra Victoria Flechas M.Sc**

**Directora**

---

**María Ximena Rodríguez B., PhD**

**Jurado**

---

**Wilson Terán Pérez, PhD**

**Jurado**

## **NOTA DE ADVERTENCIA**

*“La Universidad no se hace responsable por los conceptos emitidos por los alumnos en sus trabajos de tesis. Sólo velará porque no publique nada contrario al dogma y a la moral Católica y porque la tesis no contenga ataques personales contra persona alguna, antes bien se vea en ellas el anhelo de buscar la verdad y la justicia”.*

Artículo 23 de la resolución N° 13 de Julio de 1946.

## AGRADECIMIENTOS

A Dios que me ha regalado la oportunidad de estar donde hoy me encuentro y ha llenado mi vida de bendiciones innumerables.

A mis padres que todo les debo por hacer todo y más por mí, por ser quienes siempre están dispuestos a ayudarme, a prestarme su atención y apoyo incondicional. Por todos sus consejos, aliento y porque nada me han negado.

A mi hija Abril Luciana por ser el motor y la fuente de energía que no me deja caer y me recuerda las razones por las que a pesar de los obstáculos debo seguir sin desfallecer.

A Juan Felipe por ser mi compañero, mi ayudante, mi consentidor, mi apoyo, pero sobre todo por ser mi crítico.

A mis demás familiares y amigos por siempre estar pendientes y dándome ánimo.

A mi directora Vicky Flechas (Universidad de los Andes) por enseñarme tantas cosas, por estar siempre dispuesta a escucharme, ayudarme, a motivarme y por su gran calidez humana.

Al profesor Alejandro Acosta González (Universidad de la Sabana) por bríndame sus conocimientos y asesoría, por estar en todo momento presto a responder mis dudas que permitieron el buen desarrollo de esta investigación.

A la profesora Claudia Parra y a la investigadora Adriana Sánchez (Pontificia Universidad Javeriana), por ofrecerme su conocimiento, asesoría y por prestarme los equipos que fueron vitales para culminar con éxito esta investigación.

A la Universidad de los Andes por abrirme sus puertas y darme la oportunidad de encontrar un ambiente de trabajo servicial, cálido y amigable.

Al profesor Andrew J. Crawford (Universidad de los Andes) por permitirme hacer uso de su laboratorio, equipos y espacios que se convirtieron en mi casa.

A los estudiantes del laboratorio Biomjics (Universidad de los Andes) por su alegría y colaboración y a todas las personas que de una forma u otra tuvieron que ver en esta investigación y que contribuyeron para que fuera posible.

## TABLA DE CONTENIDO

<b>RESUMEN .....</b>	<b>8</b>
<b>INTRODUCCIÓN.....</b>	<b>8</b>
<b>JUSTIFICACIÓN Y PLANTEAMIENTO DEL PROBLEMA .....</b>	<b>10</b>
<b>MARCO TEÓRICO .....</b>	<b>11</b>
Importancia de los anfibios.....	11
Estado actual de las poblaciones de anfibios.....	12
Principales amenazas a los anfibios .....	12
Quitridiomicosis .....	13
<i>Batrachochytrium dendrobatidis</i> .....	14
Distribución de Bd.....	15
Mecanismos de defensa de los anfibios contra Bd.....	16
Tratamientos para combatir la quitridiomicosis.....	16
Probióticos como alternativa para el tratamiento de la quitridiomicosis.....	17
<b>OBJETIVOS .....</b>	<b>18</b>
Objetivo General.....	18
Objetivos específicos .....	18
<b>MÉTODOS .....</b>	<b>18</b>
Área de estudio y captura de los anuros .....	18
Aislamiento e identificación de la microbiota bacteriana de la piel .....	19
Identificación de morfotipos no identificados con MALDI-TOF .....	20
Determinación de la actividad anti-Bd mediante pruebas de antagonismo .....	21
Prueba de antagonismo por enfrentamiento directo .....	23
Análisis de datos .....	23
<b>RESULTADOS.....</b>	<b>24</b>
Registro de los individuos capturados .....	24
Aislamiento e identificación de la microbiota bacteriana de la piel .....	24
Análisis de diversidad.....	26
Bacterias con efecto de inhibición contra Bd .....	27
Diferencias entre las bacterias que inhiben Bd.....	31
<b>DISCUSIÓN.....</b>	<b>31</b>

<b>RECOMENDACIONES.....</b>	<b>36</b>
<b>BIBLIOGRAFÍA.....</b>	<b>36</b>
<b>ANEXOS .....</b>	<b>1</b>
Listado de secuencias consenso obtenidas mediante la secuenciación del gen 16S. ....	1
Fotografía representativa de los geles de agarosa para visualizar los productos de PCR .....	19
Listado total de las especies encontradas en todos los individuos muestreados de <i>R. palmatus</i> y <i>D. labialis</i> . .....	20

## **RESUMEN**

La quitridiomicosis es una de las causas de la extinción masiva de los anfibios a nivel mundial. Pese a la letalidad que ha mostrado esta enfermedad, existen poblaciones de anuros que cohabitan con el hongo que la causa (*Batrachochytrium dendrobatidis*), sin presentar disminuciones poblacionales. Se cree que la microbiota presente en la piel de estas poblaciones puede presentar un efecto inhibitorio sobre *Batrachochytrium dendrobatidis*, lo cual explicaría por qué algunos grupos persisten a pesar de la presencia del patógeno. El objetivo de esta investigación fue determinar la actividad anti-*Batrachochytrium dendrobatidis* de la microbiota cultivable presente en la epidermis de *Dendrosophus labialis* y *Rheobates palmatus*, especies que co-ocurren con el hongo en una charca en el municipio de Ubaque, Cundinamarca (Colombia). Para recuperar una mayor diversidad de microorganismos se usaron dos medios de cultivo. Posteriormente, se evaluó la actividad antagonista de las especies aisladas a través de microensayos en placas de Elisa. En total se obtuvieron 615 morfotipos que fueron clasificados mediante MALDITOF y el gen ARNr 16S en 93 especies pertenecientes a 35 géneros, dentro de las que predominan especies pertenecientes a los géneros *Pseudomonas*, *Bacillus*, *Chryseobacterium*, y *Arthrobacter*. Se calcularon los índices de Shannon y Simpson que indicaron una alta diversidad de especies bacterianas y diferencias entre la composición de la microbiota entre las especies de anuros. En cuanto a las pruebas de antagonismo, el 52% de las especies identificadas presentaron actividad anti-Bd, siendo diferentes entre los estadios de desarrollo y las especies de anuros evaluadas. Esto indicaría que la microbiota epidérmica cultivable tiene una capacidad antifúngica que confiere la resistencia y permite que estas dos especies de anfibios coexistan con el hongo, sin embargo, las especies que cumplen un efecto en la inhibición de Bd varían dependiendo del estadio.

## **INTRODUCCIÓN**

La microbiota presente en todos los organismos está compuesta por diferentes especies que pueden cambiar a lo largo de las etapas del desarrollo y que en el caso de los animales puede ser influenciado por muchos factores incluyendo la dieta, los ciclos hormonales o cuadros patológicos (Gerber 2014; Hacquard et al. 2015). Los microorganismos simbiontes pueden generar una serie de respuestas en el hospedero, que van desde la adquisición de resistencia a algunas enfermedades hasta la predisposición a adquirir otras, de tal manera que el microbioma

puede ser considerado como un agente modulador en muchos procesos infecciosos (Salminen et al. 2005; Clay 2014).

El estudio de las interacciones de los microorganismos ha cobrado importancia como un mecanismo coevolutivo en la defensa contra patógenos (Clay 2014). En los anfibios, debido al declive poblacional y consecuente pérdida de especies por la quitriomicosis (entre otras causas), este es un tema de interés prioritario (Chanson et al. 2012). La quitriomicosis es una enfermedad infecciosa causada por el hongo patógeno *Batrachochytrium dendrobatidis* (en adelante Bd) (Berger et al. 1998; Berger et al. 1999; Longcore et al. 1999). La enfermedad produce letargo, pérdida de apetito y cambios de comportamiento y finalmente la muerte debido a un desequilibrio osmótico que afecta el intercambio de iones a través de la piel (Berger et al. 1999; Voyles et al. 2009; Campbell et al. 2012). Bd ha logrado vencer el desarrollado sistema inmunológico de los anfibios, por esta razón, un gran número de especies se han visto afectadas (Fites et al. 2013; Rollins-Smith et al. 2015).

Varios estudios han demostrado el papel de las bacterias como inhibidoras del crecimiento de Bd lo cual permite contrarrestar los efectos letales del patógeno (Flechas et al. 2012; Woodhams et al. 2014; Becker et al. 2015b). El descubrimiento de estos efectos de las bacterias cutáneas sobre Bd, ha impulsado la investigación orientada a generar una nueva alternativa de tratamiento contra la quitriomicosis, fundamentada en el aislamiento y la bioaumentación de bacterias con capacidad anti Bd (Harris et al. 2009; Woodhams et al. 2011; Bletz et al. 2014).

En este trabajo se usaron como modelo de estudio a *Dendropsophus labialis* y *Rheobates palmatus*, dos especies de ranas andinas que co-ocurren con Bd en una charca en Cáqueza pero no manifiestan síntomas de la enfermedad. Este sistema ofrece un escenario ideal para entender por qué estas especies pueden sobrevivir al patógeno. Para esto se realizó un aislamiento de bacterias cutáneas usando dos medios de cultivo (agar nutritivo y agar avena). Cada morfotipo fue purificado y conservado a -80°C. En total se aislaron 615 morfotipos que fueron identificados usando espectrometría de masas en el sistema MALDI-TOF o mediante secuenciación del gen 16S rRNA. Se encontró que los géneros más predominantes fueron *Pseudomonas*, *Bacillus*, *Chryseobacterium*, y *Arthrobacter*. Se realizaron experimentos de antagonismo con el fin de determinar cuáles bacterias presentaban actividad antifúngica. En total 56 especies de bacterias

inhibieron el crecimiento del patógeno, 32 exclusivas de *Rheobates palmatus*, 15 en *Dendropsophus labialis* y nueve en ambas especies.

## **JUSTIFICACIÓN Y PLANTEAMIENTO DEL PROBLEMA**

En las últimas décadas se han reportado grandes disminuciones en las poblaciones de anfibios a nivel mundial (Laurance 1996; Berger et al. 1998; Green 2003; Muths et al. 2003; Beebee y Griffiths 2005). Factores como el cambio climático, contaminantes ambientales, modificación del hábitat, introducción de especies y enfermedades producidas por patógenos, son responsables de la disminución de las especies y poblaciones de anfibios (Alford y Richards 1999; Wake y Vredenburg 2008; Hayes et al. 2010). Esto ha generado una pérdida que desestabiliza gravemente los ecosistemas ya que dadas las diferencias funcionales que desempeñan las larvas y los adultos en sus microhabitats respectivos, la pérdida de una sola especie es comparable con la pérdida de dos especies (Whiles et al. 2006).

Aunque varias razones son consideradas responsables de la desaparición de los anfibios, los reportes de muertes masivas en áreas protegidas y/o sin problemas de pérdida de hábitat son particularmente alarmantes (Berger et al. 1998; Berger et al. 1999). Las enfermedades ocasionadas por patógenos son en este momento uno de los principales focos de atención por parte de la comunidad científica (Belden y Harris 2007), y dentro de estas patologías se encuentran las enfermedades infecciosas como el ranavirus y la quitriomicosis (Muths et al. 2003; Beebee y Griffiths 2005; Belden y Harris 2007; Mendoza et al. 2015). La primera es producida por un virus perteneciente a la familia Iridoviridae y aunque es considerada letal para muchas especies, afecta relativamente pocas, siendo más susceptibles las salamandras pertenecientes a la familia Ambystomatidae y ranas de la familia Ranidae (Jancovich et al. 2001; Pearman y Garner 2005; Latney y Klaphake 2013). La quitriomicosis por otra parte, ha sido relacionada con eventos de mortalidad masiva y sin precedentes afectando a una gran variedad de familias en todos los continentes con más de 500 especies reportadas a nivel mundial (Olson et al. 2013). La enfermedad causada por Bd genera un desbalance osmótico ocasionado por la pérdida de permeabilidad epidérmica, que finalmente conduce a la muerte por paro cardíaco (Berger et al. 1999; Belden y Harris 2007; Voyles et al. 2009; Baithman y Pessier 2013).

Además de esto, Bd afecta el sistema inmune del hospedero alterando la morfología de los linfocitos y generando una apoptosis de los mismos (Fites et al. 2013).

Se ha reportado que individuos de algunas especies de ranas son portadoras asintomáticas de la infección (Daszak et al. 2004; Padgett et al. 2011). Existen varias hipótesis que pueden explicar este hecho: i) que la cepa de Bd no sea patógena (Rosenblum et al. 2013); ii) que condiciones ambientales como la temperatura ayudan a controlar la capacidad de colonización y reproducción del patógeno (Rowley et al. 2013) y iii) se atribuye la resistencia a la enfermedad a la microbiota simbionte, que puede inhibir o retrasar el crecimiento del hongo (Woodhams et al. 2007; Becker y Harris 2010; Flechas et al. 2012; Woodhams et al. 2015). Por lo tanto, el uso de microorganismos cutáneos naturales parece prometedor como posible tratamiento contra la quitridiomicosis (Becker et al. 2011; Küng et al. 2014; Woodhams et al. 2011). En este estudio se usaron dos especies de ranas que conviven con el patógeno a pesar de las altas tasas de infección. Este sistema ofrece un escenario ideal para entender cómo poblaciones naturales pueden combatir al hongo y de esta manera desarrollar mejores estrategias para contrarrestar los efectos letales del patógeno en especies neotropicales.

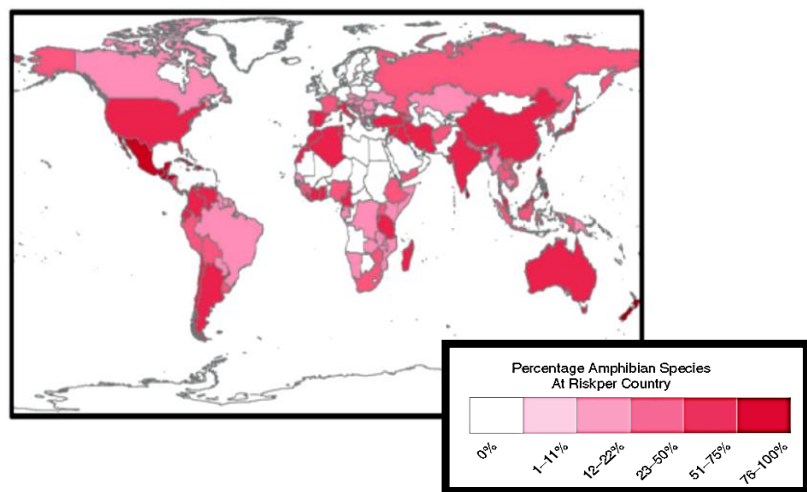
## MARCO TEÓRICO

### *Importancia de los anfibios*

Los anfibios son los vertebrados más diversos con alrededor de 7,428 especies en el mundo (AmphibiaWeb 2015). Colombia cuenta con 711 especies, siendo el segundo país con mayor diversidad después de Brasil (SiB 2014; AmphibiaWeb 2015). Los anfibios cumplen funciones ecológicas muy específicas, a nivel de suelos pueden contribuir con los ciclos de nutrientes manteniendo su disponibilidad y favoreciendo el reciclaje de elementos esenciales (Beard et al. 2002; Hocking y Babbitt 2014). De igual manera, al desarrollarse en dos medios (acuático y terrestre), presentan una gran eficiencia para convertir energía en biomasa y transmitirla a los niveles siguientes de la cadena trófica (Edwards et al. 2014; Hocking y Babbitt 2014). También actúan como predadores, por lo cual pueden ser controladores biológicos de insectos (Hammer y McDonnell 2008; Cortéz et al. 2015). Además pueden actuar como dispersores de semillas (Hocking y Babbitt 2014) y aportan sustancias de importancia farmacéutica (Fox y Serrano 2007; King 2011).

### ***Estado actual de las poblaciones de anfibios***

Algunos autores mencionan que estamos experimentando la sexta extinción en masa (Wake y Vredenburg 2008), debido a que el 43% de las especies se encuentran en algún tipo de amenaza a nivel mundial: en peligro crítico (CR), en peligro (EN) y amenazadas (VU) (Figura 1) (Whittaker et al. 2012; Pimm et al. 2014). El Neotrópico es la región más preocupante, ya que hay más de 400 especies en peligro de extinción (AmphibiaWeb 2015). Solamente a nivel nacional el 25% de las especies están catalogadas en la condición de peligro crítico (SiB 2014),



**Figura 1.** Representación geográfica del porcentaje de especies en peligro crítico, en peligro y amenazadas a nivel mundial. Tomado y modificado de Whittaker et al. (2012).

Los anfibios son un grupo especialmente sensible debido a que su piel suave y permeable, de vital importancia para los procesos de osmorregulación y respiración, está protegida solo con una capa de moco que les permite detectar las señales ambientales y absorber oxígeno; esto los hace especialmente susceptibles a los cambios en la calidad de agua y del aire como resultado de diversos contaminantes (Campbell et al. 2012).

### ***Principales amenazas a los anfibios***

La disminución en la población mundial de este grupo se ha atribuido a diferentes factores causales que pueden actuar de manera independiente o sinérgica (Collins y Storfer 2003; Hayles et al. 2010). Dichos factores son: la pérdida de hábitat (Cushman 2006), contaminación con agentes químicos en los cuerpos de agua (Collins y Storfer 2003; Cushman 2006; Hamer y McDonnell 2008), el aumento de la radiación UV-B (Davidson et al. 2001; Davidson et al. 2002), el cambio climático global (Carey y Alexander 2003; D'Amén y Bombi 2009; Ochoa et al. 2012;

Vittoz et al. 2013), la sobreexplotación (Nyström et al. 2007) y las enfermedades infecciosas (Berger et al. 1999; Woodhams et al. 2005; Hayes et al. 2010; Martel et al. 2013).

Las enfermedades provocadas por micro-parásitos han cobrado la atención en esta crisis que sufren los anfibios, y que se han visto relacionados con muertes masivas y extinciones (Belden y Harris 2007). Estas enfermedades tienen diferentes agentes causales, pueden ser de tipos virales, bacterianos, y originados por tremátodos y hongos, en donde las de tipo viral y fúngico son las que han generado mayores niveles de mortalidad (Latney y Klaphake 2013; Vitt y Caldwell 2014).

Las infecciones bacterianas producen una enfermedad comúnmente llamada la enfermedad de la pierna roja que se caracteriza por la presencia de eritemas cutáneos y de los músculos superficiales por la ruptura y dilatación de los capilares (Poll 2009; Pessier 2014). Las causadas por tremátodos por su parte, son infecciones que inducen malformaciones generalmente en las patas traseras de individuos post-metamórficos (Johnson et al. 2001; Hamann y González 2009). Finalmente, se encuentran las enfermedades producidas por hongos, en las que se relaciona las micosis causada por *Saprolegnia ferax*, un oomiceto parásito de peces que afecta los huevos de varios anfibios (Kiesecker y Belden 2001; Groner et al. 2014; Urban et al. 2014). También se encuentra la infección generada por *Basidiobolus ranarum* que ha sido relacionada con la diminución de poblaciones del sapo *Peltophryne lemur* (Crawshaw et al. 2014). Por último, la quitridiomicosis que se ha hecho más conocida por tener graves impactos sobre las poblaciones de anfibios en varios lugares alrededor del mundo (Lips et al. 2006; Hayes et al. 2010; Witaker et al. 2012). Esta enfermedad incluye a la infección causada por el ya mencionado Bd que se ha reportado en más de 500 especies de anfibios (Olson et al. 2013) y a *Batrachochytrium salamandrivorans* que ataca exclusivamente a salamandras, sin embargo de este último no existe evidencia de que se encuentre en América (Martel et al. 2014; Yap et al. 2015).

### ***Quitridiomicosis***

La quitridiomicosis es una enfermedad infecciosa producida por *Batrachochytrium dendrobatidis* (Bd), un hongo del phylum Chytridiomycota (Longcore et al. 1999). Los anfibios son especialmente vulnerables ya que necesitan mantenerse internamente en un estado hiperosmótico con respecto al medio en el que se desarrollan, mediante una absorción en contra del gradiente de iones Na<sup>+</sup> por las células epidérmicas (Larsen 2011). La infección superficial por Bd bloquea los

canales e inhibe la absorción de  $\text{Na}^+$  a través de la piel, lo que lleva al agotamiento de electrolitos plasmáticos y finalmente a la muerte por paro cardíaco (Voyles et al. 2009). En individuos sanos se produce un proceso natural de muda de su capa celular superficial completamente queratinizada, que se separa de la lámina basal empujada por las nuevas células, posteriormente mueren dentro de un proceso normal llamado ecdisis que puede variar según la especie, sexo y edad (Vitt y Caldwell 2014). Sin embargo en individuos infectados, la patología altera este proceso, generando una hiperplasia de células queratinocíticas y una fusión de las capas de queratina (queratosis), produciendo una pérdida considerable de la permeabilidad de la piel y por lo tanto de su función osmorreguladora que conllevan a la muerte (Voyles et al. 2009; Kilpatrick et al. 2010; Campbell et al. 2012; Baitchman y Pessier 2013).

Adicionalmente, la infección puede manifestar otras sintomatologías que incluyen letargo, debilidad, pérdida del reflejo de enderezamiento, eritema cutáneo en particular en la región ventral y las membranas interdigitales, posturas anormales, decoloración, ulceración y erosión del estrato córneo de la piel, inapetencia, ausencia de comportamiento de escape y una preferencia por permanecer expuestos al sol (Berger et al., 1999; Kilpatrick et al. 2010; Baitchman y Pessier 2013). Finalmente la producción de metiltioadenosina (MTA), triptófano, y un producto oxidado de triptófano, quinurenina (Kyn) por parte del hongo inhibe a las células inmunológicas de los anfibios (linfocitos T y linfocitos B) causando un aumento en el grado de infección (Fites et al. 2013; Mendoza et al. 2015).

### ***Batrachochytrium dendrobatidis***

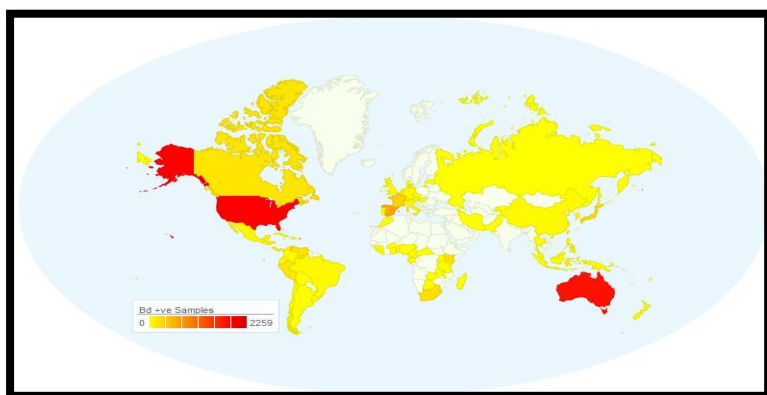
Los quitridiales, son hongos poco evolucionados que carecen de hifas y producen zoosporas flageladas móviles (Longcore et al. 1999). Estos hongos están presentes principalmente en los ambientes acuáticos o húmedos y parasitan principalmente algas, plantas, protozoos o invertebrados (Mutschmann 2015). De tal manera que *Batrachochytrium* está científicamente reconocido como el único género que parasita vertebrados y parece ser específico de anfibios (Berger et al, 1998: Martel et al. 2013). Posee reproducción asexual, en la cual las zoosporas dan origen a un talo, dentro del que se desarrollan los zoosporangios, los cuales, tras un proceso de maduración liberan nuevamente las zoosporas al medio (Longcore et al. 1999).

El origen del hongo sigue siendo poco claro, se presentan dos hipótesis: la primera refleja el hecho de que Bd es un patógeno simbionte que coexistía con especies de ranas *Xenopus* spp. de

África y que pudo ser movilizado a través del comercio internacional de *Xenopus laevis*, utilizada anteriormente para realizar pruebas de embarazo en humanos (Rachowicz et al. 2005; Rosenblum et al. 2013; Vredenburg et al. 2013). La segunda teoría es que Bd es una especie endémica y el cambio en patogenicidad pudo ser el resultado de alteraciones ambientales (Weldon et al. 2004; James et al. 2009). Sin embargo, estudios moleculares más extensivos realizados recientemente, proponen que la historia evolutiva es mucho más compleja de lo que se piensa y que no se trata de una sola cepa que se dispersó por el mundo, sino que en realidad existen diferentes cepas, unas más antiguas que otras (Rosenblum et al. 2013). Por lo que posiblemente infectaba anfibios mucho antes de lo que se reporta (Rosenblum et al. 2013). Además se ha planteado el hecho de que produjo una recombinación genómica a partir de dos linajes independientes, lo cual dio origen a Bd GPL una cepa muy virulenta, que produjo la pandemia que hoy conocemos (James et al. 2009; Farrer et al. 2011; Velo et al. 2012).

### **Distribución de Bd**

En un contexto espacial se puede resumir que el hongo Bd ha sido encontrado en todos los continentes en donde están los anfibios (Oslon et al. 2013) y los declives más dramáticos han sido reportados en Australia, América Central y Norte América (Berger et al. 1998; Olson et al. 2013, Lips et al. 2006) (Figura 2). Altitudinalmente, el hongo también ha demostrado un amplio rango de tolerancia al reportarse desde los 5 metros de elevación en la Isla de Gorgona en el pacífico colombiano (Flechas et al. 2012) hasta los 5400 m en los Andes peruanos (Seimon et al. 2007).



**Figura 2.** Mapa que ilustra los reportes de anfibios infectados por Bd. Relaciona la presencia de Bd con el número de muestras encontradas positivas en cada país. Tomado de <http://www.bd-maps.net>.

En Colombia, se han realizado investigaciones mediante el uso de técnicas histológicas (Ruiz y Rueda 2008; Velásquez et al. 2008) y moleculares (Bahamón 2011; Urbina y Galeano 2011;

Flechas et al. 2012, 2015) que han relacionado a Bd con disminuciones de los géneros *Atelopus*, *Hyloscirtus*, *Eleutherodactylus*, *Colostethus*, *Bolitoglossa*, *Gastrotheca*, *Dendropsophus*, *Pristimantis* y *Leptodactylus*, en los departamentos de Cundinamarca, Boyacá, Santander (Ruiz y Rueda 2008; Velásquez et al. 2008; Bahamón 2011), Antioquia (Urbina y Galeano 2011) y Chocó (Flechas et al. 2015).

### ***Mecanismos de defensa de los anfibios contra Bd***

A la fecha se han descrito cuatro mecanismos de respuesta de tipo inmunológico y comportamental ante la presencia de Bd que pueden explicar el hecho de que haya especies susceptibles y otras tolerantes. En primera instancia se encuentra una respuesta inmunológica no específica que involucra la síntesis de compuestos por las células granulares de la piel con propiedades antimicrobianas incluidas la brevinina, esculentina, palustrina, ranalexina y ranatuerina (Woodhams et al. 2006; Conlon et al. 2013). En segundo lugar se encuentra un tipo de respuesta que se presenta en la segunda fase infecciosa (adaptativa), en la que se produce un incremento de linfocitos T y B (Voyles et al., 2011). Un tercer mecanismo describe un aumento en las tasas de ecdisis como método de eliminación de las zoosporas del hongo (Padgett et al. 2011). Finalmente se considera una respuesta comportamental cuando los anfibios buscan exponerse a zonas más calientes para aumentar la temperatura corporal ( fiebre comportamental) y limitar el crecimiento del patógeno (Woodhams et al. 2008; Voyles et al. 2010; Rowley et al. 2013).

### ***Tratamientos para combatir la quitridiomicosis***

Aún no existe un tratamiento contra la quitridiomicosis que sea eficaz en condiciones naturales. Existen varias alternativas que incluyen baños con antifúngico como el itraconazol al 0,01%, que ha sido ampliamente utilizado en distintas especies incluyendo algunas en peligro crítico (Woodhams et al. 2012). Este tratamiento aparentemente es seguro y efectivo, sin embargo existen algunos reportes de toxicidad en renacuajos (Jones et al. 2012; Pessier 2012). También se ha probado con otros antifúngicos como el voriconazol, el cloranfenicol y la terbinafina, sin embargo no han resultado 100% eficaces para erradicar el hongo, además pueden producir efectos secundarios en los individuos afectados (Mofty 2000; Bishop et al. 2009; Martel et al. 2011; Muijsers et al. 2012; Young 2012).

Debido a que el hongo produce un desbalance en la osmorregulación, se realizan tratamientos que contribuyan a la recuperación de la función osmoregulatoria (Voyles et al. 2009; Kilpatrick et al. 2010; Campbell et al. 2012; Baitchman y Pessier 2013). Estos incluyen baños con soluciones de concentración isotónica o ligeramente hipertónica como es el caso de la solución de Ringer (Young et al. 2012; Brannelly et al. 2015). Este tratamiento generalmente se maneja en paralelo con otro tratamiento de eliminación en donde también se usan soluciones de administración oral o inyectable como la de Whitaker-Wright 12% (Brannelly et al. 2015). Los baños con soluciones de cloruro de sodio solo reducen el crecimiento y la motilidad de Bd (Young et al. 2012).

### ***Probióticos como alternativa para el tratamiento de la quitridiomicosis***

Se ha sugerido que las bacterias simbóticas presentes en la piel de los anfibios representan un mecanismo de defensa contra Bd (Harris et al. 2009a; Harris et al. 2009b). Se sabe que existen especies tolerantes que a pesar de estar infectadas no presentan síntomas y otras susceptibles que presentan la sintomatología típica de la enfermedad (Padgett et al. 2011). Esta resistencia/tolerancia puede explicarse por la presencia de bacterias con propiedades antifúngicas (Woodhams et al. 2007; Flechas et al. 2012; Becker et al. 2015). Bacterias de los géneros *Acinetobacter*, *Arthrobacter*, *Brevundimonas*, *Chryseobacterium*, *Citrobacter*, *Curtobacterium*, *Deinococcus*, *Elizabethkingia*, *Enterobacter*, *Microbacterium*, *Novosphingobium*, *Pseudomonas*, *Sphingomonas*, aisladas de la piel de individuos de diferentes especies de anfibios alrededor del mundo han exhibido capacidad inhibitoria contra Bd (Flechas et al. 2012; Becker et al. 2015b; Holden et al. 2015; Woodhams et al. 2015).

Otros estudios indican que *Janthinobacterium lividum*, una bacteria epidérmica productora de violaceína (un metabolito antifúngico), impidió la morbilidad causada por el patógeno en *Rana muscosa* (Harris et al. 2009a). También se presentan reportes de que *Pseudomonas reactans*, una bacteria aislada de salamandras de espalda roja (*Plethodon cinereus*) asintomáticas, se estableció en la piel de otros individuos de la misma especie que fueron infectados experimentalmente con Bd (Harris et al. 2009b). La presencia de estas bacterias disminuyó la morbilidad y efectos colaterales de la quitridiomicosis (Harris et al. 2009b). Por otro lado, Becker y colaboradores (2015a) experimentaron con una población de *Atelopus zeteki* utilizando probióticos y Bd, observando que la sobrevivencia de los infectados dependía de la composición de la comunidad bacteriana epidérmica.

Aunque hay estudios que reportan que algunas bacterias simbiontes con actividad anti-Bd, pueden presentar un amplio rango de hospederos (Lauer et al. 2007; Woodhams et al. 2007), el tratamiento con probióticos epidérmicos no siempre ha mostrado los mejores resultados (Becker et al. 2011). Por ejemplo, *J. lividum* tan eficiente en *R. muscosa* no resultó ser un buen probiótico al ser usado en *A. zeteki* de Panamá. En este caso se presentó una mortalidad del 100%, mostrando que la efectividad de las comunidades bacterianas puede variar según las especies que se quieran tratar (Becker et al. 2011).

## OBJETIVOS

### *Objetivo General*

Determinar la actividad anti-*Batrachochytrium dendrobatidis* de la microbiota cultivable presente en la epidermis de dos especies de ranas andinas: *Dendrosophus labialis* (Hylidae) y *Rheobates palmatus* (Aromobatidae).

### *Objetivos específicos*

1. Aislar e identificar la microbiota bacteriana presente en la epidermis de *Dendropsophus labialis* y *Rheobates palmatus* del municipio de Cáqueza, Cundinamarca (Colombia).
2. Determinar la actividad anti-*Batrachochytrium dendrobatidis* de cada una de las bacterias aisladas mediante ensayos de antagonismo.
3. Determinar las diferencias de la microbiota y su actividad anti-*Batrachochytrium dendrobatidis* entre estadios de desarrollo y especies de anuros.

## MÉTODOS

### *Área de estudio y captura de los anuros*

El muestreo se realizó en la laguna Las Brisas ubicada en el municipio de Cáqueza en el Departamento de Cundinamarca (04° 26' 12" N, 73° 55' 10" W, a 1950 msnm) a 56 km al este de

Bogotá. Los individuos fueron capturados manualmente o con el uso de una red. En total se tomaron muestras de 24 individuos, contando con al menos un representante de cada uno de los estadios (renacuajo, juvenil y adulto) de ambas especies (*Dendropsophus labialis* y *Rheobates palmatus*). Los individuos fueron mantenidos individualmente en bolsas plásticas hasta la toma de la muestra. Cada individuo fue manipulado con guantes nuevos, con el fin de evitar contaminación cruzada. Para cada individuo se registró la longitud rostro-cloacal y el peso. Todos los individuos fueron liberados al finalizar la toma de la muestra.

Previo a la toma de la muestra, todos los animales se lavaron con 50 mL de agua estéril con el fin de remover elementos acompañantes y microorganismos transitorios que no pertenecen a la microbiota propia del animal (Lauer et al, 2007). Para aislar los microorganismos epidérmicos, se realizaron pases durante 30 segundos con hisopos estériles (MWE 113) por toda la superficie de los individuos, según el protocolo descrito por Kueneman et al. (2013). Los hisopos se conservaron en crioviales con 1 mL de solución DS (una solución de sales débiles que simula agua de la charca). Las muestras se mantuvieron en refrigeración hasta ser procesadas en el laboratorio (no más de 48 horas).

#### ***Aislamiento e identificación de la microbiota bacteriana de la piel***

Para el procesamiento de las muestras, se realizaron diluciones seriadas hasta  $10^{-5}$  en solución DS. Con el fin de recuperar la mayor cantidad posible de morfotipos cada dilución fue sembrada en dos medios de cultivo: Agar R2A y agar avena suplementado con nistatina 0.1% para la recuperación de actinobacterias (Franco, 2008). Las placas de Petri se incubaron durante 48 horas a 23°C (Flechas et al. 2012). Posterior al periodo de incubación, se realizó una selección de los morfotipos microbianos teniendo en cuenta caracteres macroscópicos de las colonias, que en el caso de las bacterias fueron el color, elevación, forma y margen. Para las actinobacterias se determinaron parámetros como color de la colonia, la forma, el margen y los pigmentos difusibles al medio.

Los microrganismos encontrados fueron aislados sucesivamente hasta obtener cultivos puros que se criopreservaron a -80°C en glicerol al 30% para su posterior identificación. Debido a que el criterio de selección de las colonias según sus características macroscópicas pueden generar un alto número de aislamientos repetidos entre los individuos o incluso entre las diluciones, se requería discriminar de forma efectiva las especies presentes y reducir la redundancia en el

aislamiento. Para esto, la identificación de las cepas se realizó utilizando espectrofotometría de masas mediante la técnica de desorción/ionización láser asistida por matriz del inglés *Matrix Assisted Laser Desorption Ionization-Time of Flight* (MALDI-TOF-MS). Para esto se reactivaron las cepas en agar nutritivo y fueron incubadas por 24 horas a 30°C.

Partiendo de un cultivo puro, cada cepa fue extendida por duplicado sobre los pozos en una placa de análisis, con ayuda de un palillo. Posteriormente se adicionó la matrix que consiste en una solución saturada de ácido  $\alpha$ -ciano-4-hidroxicinámico, 50% acetonitrilo y 2,5% ácido trifluoroacético. La lectura de las muestras se realizó en el equipo Microflex LT y se visualizó utilizando el software de análisis FlexControl (versión 3.0 Bruker Daltonics) y MALDI Biotyper RTC. Para la calibración de la lectura y como control positivo se utilizó una prueba estándar de un perfil proteico conocido de *Escherichia coli* DH5 (BTS). El espectro de identificación se produjo a partir de 240 disparos de láser por duplicado y la comparación de estos con la biblioteca de espectros de masas del equipo (Bruker) que contiene 4110 espectros, obteniendo puntajes de similitud. Este puntaje fue tenido en cuenta para la selección de la identidad de las bacterias estudiadas de la siguiente manera: un puntaje >2,0 indica identificación a nivel de especie, puntaje entre 1,7-1,9 indica identificación confiable sólo a nivel de género, mientras que valores <1,7 no permiten identificación.

#### ***Identificación de morfotipos no identificados con MALDI-TOF***

Las cepas que no pudieron ser identificadas usando la biblioteca del MALDI (puntaje menor a 1,7) o que presentaban discordancias entre réplicas fueron identificadas mediante la secuenciación del gen 16S rRNA. Para la extracción de ADN se tomó la muestra a partir de una colonia de un cultivo puro con un palillo estéril y fue suspendido en 10  $\mu$ L de agua libre de DNAsas e incubado a 90°C durante 7 minutos, posteriormente se centrifugó a 8000 rpm por 1 minuto. Se tomaron 5  $\mu$ L del sobrenadante y se diluyeron en 5  $\mu$ L de agua libre de DNAsas. Se realizó la amplificación de una región del gen 16S de aproximadamente 1500 pb (Tabla 1), usando los primers universales 27F (5'- AGAGTTGATCCTGGCTCAG-3') y 1492R (5'- GGTTACCTTGTACGACTT-3') (Lane 1991). La mezcla se realizó en un volumen final de 25  $\mu$ L. 0,5  $\mu$ L de cada primer (1 $\mu$ M), 10  $\mu$ L de agua, 12  $\mu$ L de la Tag Green Master Mix lista para usar y 2  $\mu$ L de ADN. Los parámetros del termociclador fueron: una desnaturización inicial de 3 min a 95°C, seguido por 35 ciclos de 45 segundos a 95°C, 45 segundos a 52°C y 90 s a 72°C.

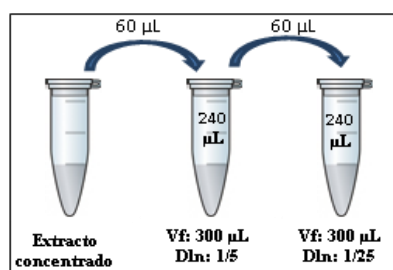
Por último una extensión final para completar la polimerización durante 7 min a 72°C. Los resultados de la PCR se comprobaron mediante electroforesis en geles de agarosa al 1%.

Los productos de PCR fueron enviados a secuenciar en MACROGEN, cada muestra con su respectiva secuenciación de los primers forward y reverse, con el fin de obtener una secuencia consenso las cuales fueron ensambladas y limpiadas utilizando el software Sequencher 5.1 para finalmente ser comparadas en la base de datos SILVA con el parámetro SILVA predeterminado por la misma base de datos que compara con las especies cultivables. Las identificaciones se hicieron teniendo en cuenta el E-value y el score arrojado.

#### **Determinación de la actividad anti-Bd mediante pruebas de antagonismo**

Luego de la identificación de las especies de bacterias, se clasificaron según su presencia en cada especie y por estadio, de tal manera que una misma especie podía ser probada más de una vez dependiendo de si se encontraba en dos o en los tres estadios y en una o ambas especies. En total se realizaron 162 ensayos.

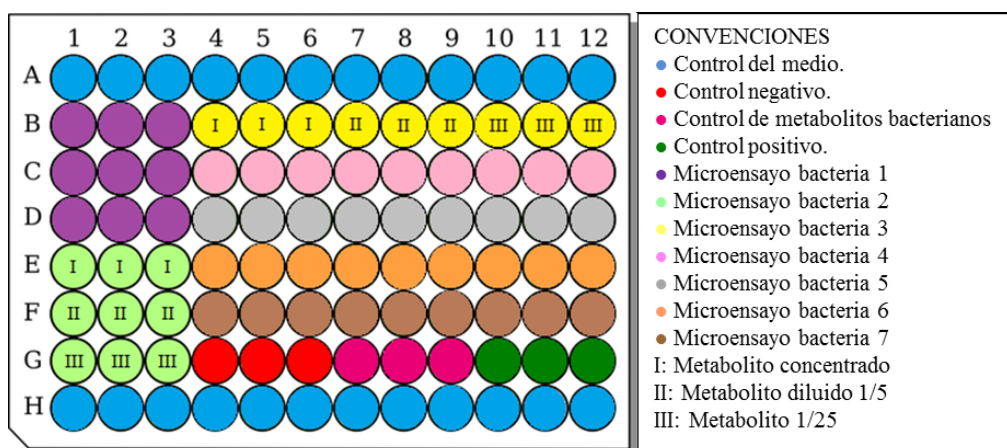
Las bacterias se incubaron en caldo TGhL diluido a la mitad – TGhL 0.5X (5 g de triptona, 2 g de hidrolizado de gelatina y 1 g de lactosa en 1 L de agua) en shaker a 250 rpm, 25°C por un período de 48 horas. Posteriormente, para la obtención de los extractos se agregaron aproximadamente 20-30 perlas de 0.5 mm de diámetro y fueron pasadas por vórtex durante 3 minutos, esto con el fin de causar la lisis mecánica de las células y poder recuperar los metabolitos intracelulares y los liberados al medio. Las muestras fueron centrifugadas a 6000 rpm durante 5 minutos a una temperatura de 4°C, se recuperó el sobrenadante y se pasó por un filtro de cápsula de 0.22 µm. El filtrado de cada bacteria, fue dispuesto en tubos Eppendorf de 1.5 mL para finalmente realizar diluciones seriadas de este extracto, la primera 1/5 y la segunda 1/25 (Figura 3).



**Figura 3.** Esquema de las diluciones realizadas a partir del extracto obtenido del filtrado.

Para los ensayos de antagonismo se utilizó la cepa de Bd EV001 (Flechas et al. 2013), aislada de *Rheobates palmatus* colectada en la misma localidad donde se desarrolló este estudio. La cepa Bd EV001 fue reactivada previamente en agar TGhL 0.5X. Para los ensayos, se observaban las cajas al microscopio de luz en aumento de 10X, en donde se confirmaba que el hongo se encontrara en un estado reproductivo activo (esporulado). Las cajas con mayor actividad eran raspadas y el hongo era resuspendido en el mismo medio (TGhL 0.5X), para luego ser filtrado usando papel Whatman que permite el paso de las zoosporas y retiene los zoosporangios. De esta manera se obtuvo una suspensión concentrada de zoosporas, que posteriormente se contaba en cámara de Neubauer para verificar que el hongo estuviera a una concentración de  $10^6$  zoosporas/mL.

El montaje se realizó por triplicado en placas de Elisa añadiendo 50  $\mu\text{L}$  de suspensión de zoosporas a una concentración de  $1 \times 10^6$  zoosporas/mL, 50  $\mu\text{L}$  del extracto bacteriano en las diferentes concentraciones mencionadas hasta completar un volumen final de 100  $\mu\text{L}$  en cada pozo. Se tuvieron en cuenta cuatro controles: el control positivo consistía en 50  $\mu\text{L}$  del hongo vivo + 50  $\mu\text{L}$  de medio TGhL 0.5X; el control negativo consistía de 50  $\mu\text{L}$  de zoosporas muertas ( $90^\circ\text{C}$  durante 15 minutos) + 50  $\mu\text{L}$  del medio TGhL 0.5X y el último control que tenía únicamente 100  $\mu\text{L}$  del medio TGhL  $\frac{1}{2}$  en los pozos A: 1-12 y H: 1-12 de la placa considerando el efecto de borde (Figura 4). Las placas fueron leídas a las 0, 24, 48 y 72 horas y a los 7 días de realizado el montaje. La lectura se efectuó en lector de microplacas BIO-RAD 680 a una longitud de onda de 490 nm.



**Figura 4:** Esquema de la disposición de los microensayos en las placas de Elisa, representada con colores según los componentes. En donde: control del medio=TGhL 0,5X (100 $\mu\text{L}$ ), control negativo=50 $\mu\text{L}$  de zoosporas muertas + 50 $\mu\text{L}$  de TGhL 0,5X, control de metabolitos bacterianos=100  $\mu\text{L}$  del metabolito concentrado, control positivo=50  $\mu\text{L}$  de zoosporas + 50  $\mu\text{L}$  de TGhL 0,5X y los microensayos=50  $\mu\text{L}$  de

metabolito bacteriano + 50  $\mu$ L de zoosporas vivas en una concentración de  $10^6$  zoosporas/mL. Cada color representa el metabolito de una bacteria diferente. Los números romanos indican las diferentes diluciones.

### ***Prueba de antagonismo por enfrentamiento directo***

Debido a algunos inconvenientes que se tuvieron con la realización de microensayos en placas de Elisa, se realizó el montaje de 40 bacterias por enfrentamiento directo. Para esto se preparó un cultivo del hongo en 50 mL de caldo TGhL 0.5X, a partir del cual se tomó 1 mL y se dispuso en placas de Petri que contenían 25 mL de medio sólido TGhL 0.5X. Con movimientos circulares se extendió la suspensión sobre la superficie del agar, de manera que el hongo creciera uniformemente en la placa. Se dejó secar a temperatura ambiente en cámara de flujo laminar y posteriormente se sembró una colonia bacteriana aislada de cultivo puro con ayuda de un palillo estéril, trazando una línea horizontal sobre la superficie de la caja. La lectura se realizó 7 días después del montaje, observando la presencia de halos de inhibición del hongo alrededor de la colonia bacteriana.

### ***Análisis de datos***

Se calcularon índices de diversidad de Shannon y Simpson con sus respectivos intervalos de confianza (95%) mediante la técnica del Bootstrap para establecer si existen diferencias en la diversidad de las comunidades bacterianas presentes en los estadios de ambas especies, usando el software PAST para Windows versión 3.10.

Para determinar si los datos tenían una distribución normal, se utilizó el software SPSS versión 18.0, y se realizó la prueba de Shapiro-Wilk en donde no se obtuvieron valores de  $p$  mayores a 0,05 en todos los casos. Por lo que se procedió a utilizar estadística no paramétrica al realizar la prueba de Kruskal-Wallis que establece diferencias significativas entre las variables cuando el valor de  $p$  es menor a 0,05. Esto se realizó con el fin de determinar si existían diferencias significativas entre las especies bacterianas que inhibieron para las especies de anuros y sus respectivos estadios. Para la realización de las gráficas se utilizó la hoja de cálculo de Microsoft Excel 2013 para Windows.

## RESULTADOS

### *Registro de los individuos capturados*

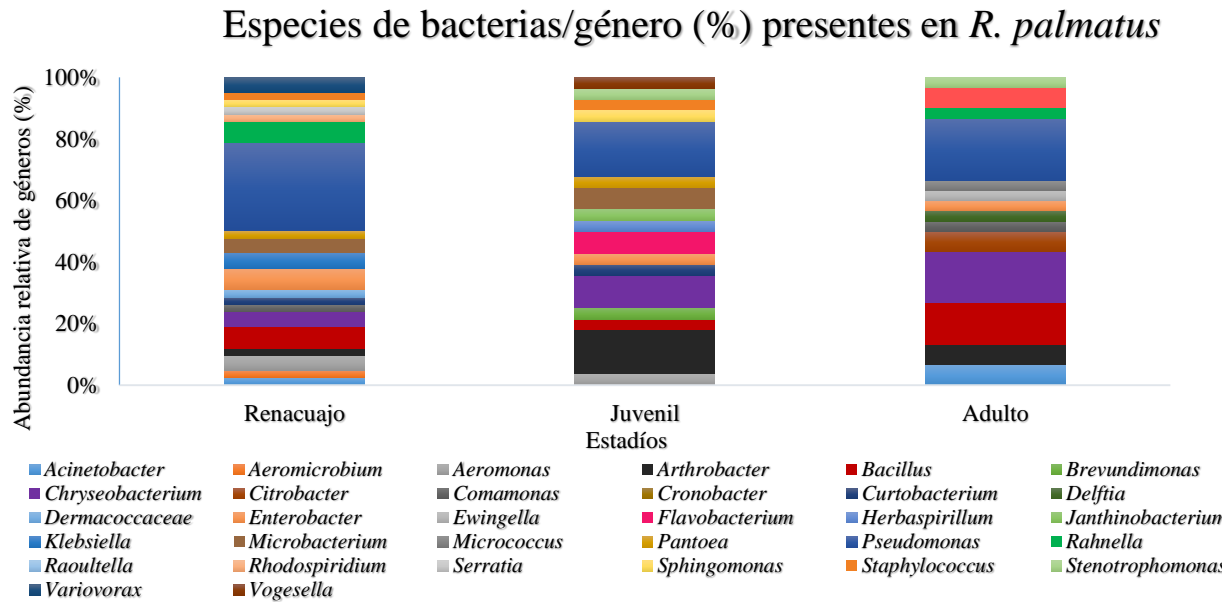
En total se capturaron 24 individuos de ambas especies. Para *Rheobates palmatus* se hicieron frotis de 5 adultos, 5 juveniles y 5 renacuajos. Para *Dendropsophus labialis* se realizaron frotis de 5 adultos, 1 juvenil y 3 renacuajos. De todos los individuos, exceptuando los renacuajos se registró la longitud rostro-cloacal y el peso (Tabla 1).

**Tabla 1.** Descripción de los individuos que fueron muestreados

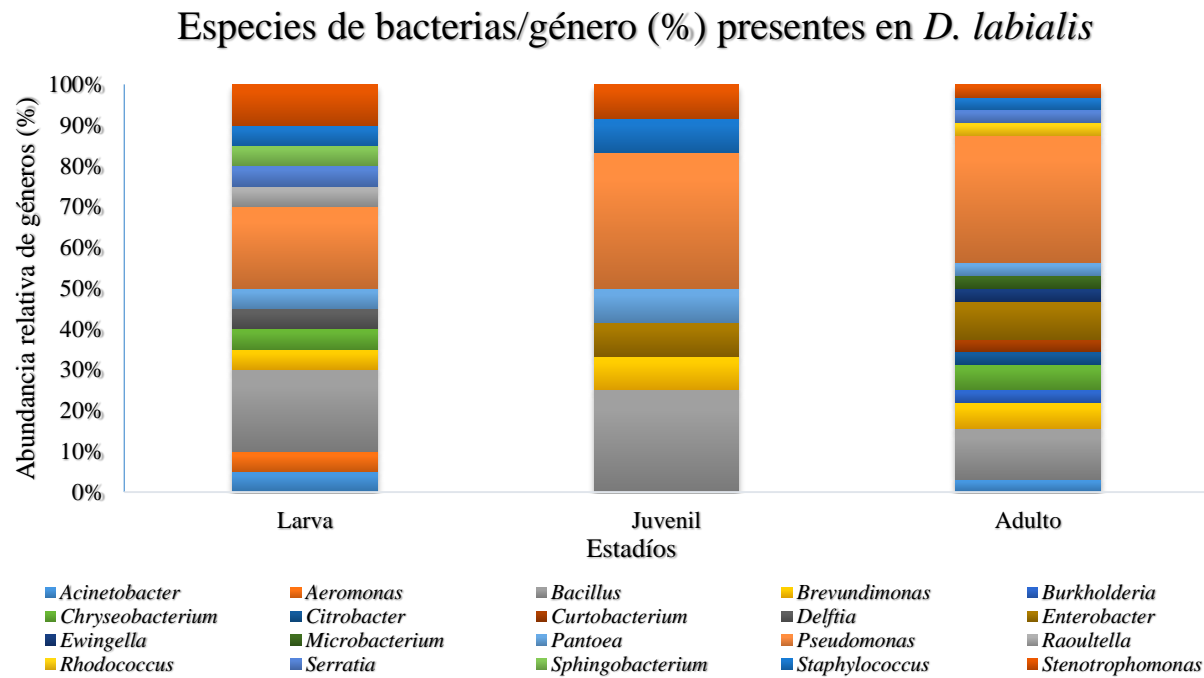
Especie	Estadio	Número de individuos	Longitud rostro-cloacal (cm)	SD (mm)	Peso (g)	SD (g)
<i>R. palmatus</i>	Adulto	5	3,17	0,75	3,22	0,09
	Juvenil	5	0,77	0,23	2,01	0,26
	Renacuajo	5	N.A	N.A	N.A	N.A
<i>D. labialis</i>	Adulto	5	1,67	0,24	2,51	0,24
	Juvenil	1	0,62	N.A	2.0	N.A
	Renacuajo	3	N.A	N.A	N.A	N.A
<b>Total individuos</b>		<b>24</b>				

### *Aislamiento e identificación de la microbiota bacteriana de la piel*

En total se aislaron 615 morfotipos de bacterias, 468 a partir de medio R2A y 147 de medio avena. Fueron identificadas 93 especies pertenecientes a 35 géneros (Tabla 2). Las especies con mayor prevalencia fueron aquellas pertenecientes a los géneros *Pseudomonas* (22% de las especies), *Bacillus* (8%), *Arthrobacter* (5%) y *Chryseobacterium* (4%). Mientras que el género cuya única especie encontrada fue *Janthinobacterium lividum*, asociada a un único individuo juvenil de *R. palmatus* (Figura 5 y 6). El listado completo de las bacterias identificadas se encuentra en el anexo 1.



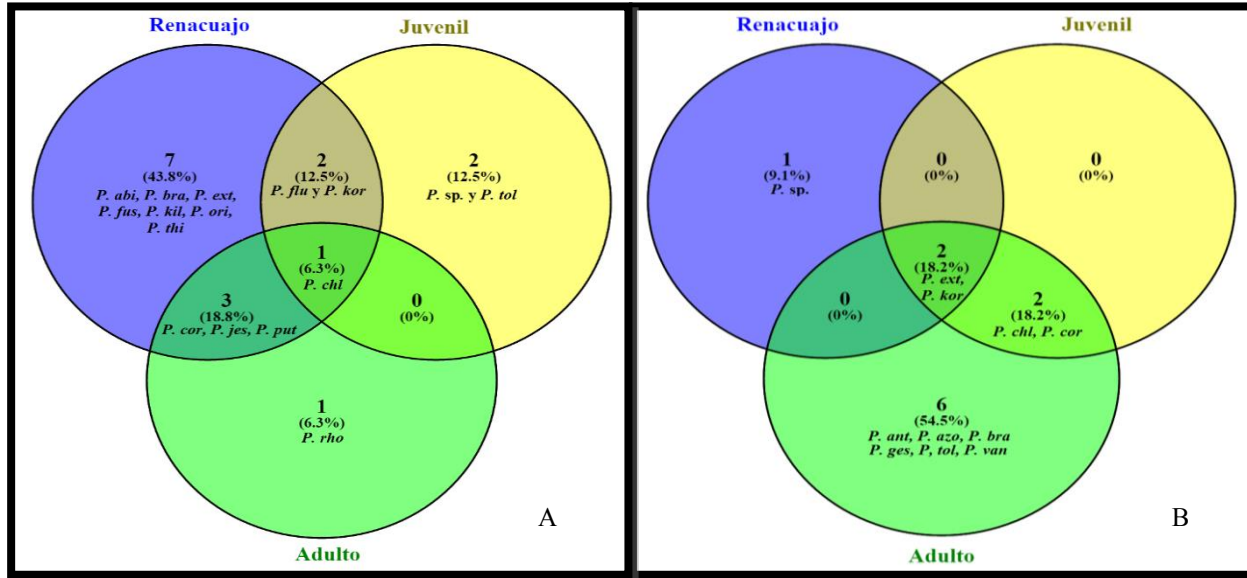
**Figura 5:** Porcentaje de géneros de bacterias encontradas en cada estadio de *R. palmatus*.



**Figura 6:** Porcentaje de géneros de bacterias encontradas en cada estadio de *D. labialis*.

*Pseudomonas* fue el género con mayor número de especies encontradas en todos los estadios de las dos especies de ranas. Particularmente, los renacuajos de *R. palmatus* y los adultos de *D. labialis* fueron los que presentaron un mayor número de especies de *Pseudomonas* independiente

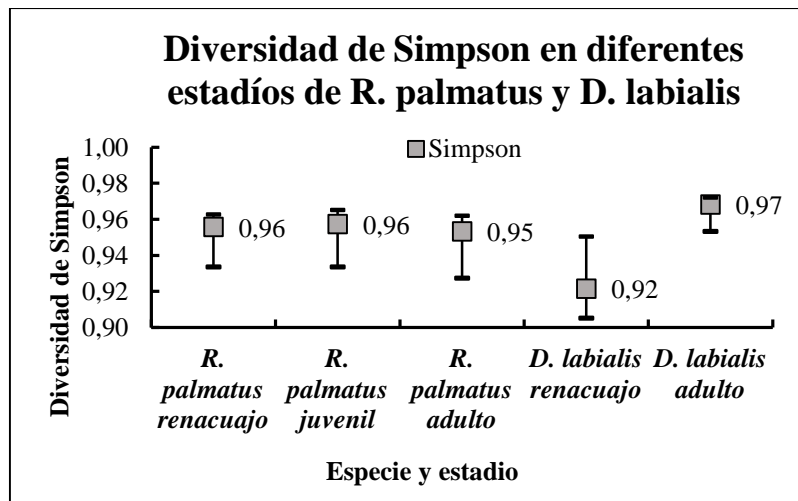
de los otros estadios (Figura 7). Se realizó una comparación de las especies encontradas entre los estadios y se encontró que *P. extremorientalis* se encuentra presente en todos los individuos de *D. labialis*, mientras que *P. koreensis* fue encontrada en todos los estadios de ambas especies de ranas a excepción de la etapa adulta de *R. palmatus* (Figura 7).



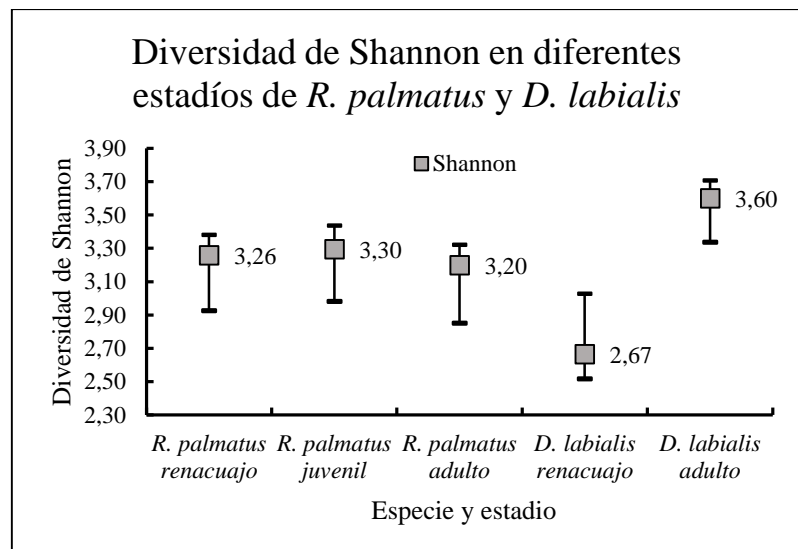
**Figura 7:** Diagramas de Venn que muestran las especies de *Pseudomonas* que comparten los estadios de cada especie (A: *R. palmatus*, B: *D. labialis*). En donde las especies están señaladas por las tres primeras letras que componen su nombre: *P. abietaniphila*=*P. abi*, *P. antártica*=*P. ant*, *P. azotoformans*=*P. azo*, *P. brassicacearum*=*P. bra*, *P. chlororaphis*=*P. chl*, *P. corrugata*=*P. cor*, *P. extremorientalis*=*P. ext*, *P. fluorescens*=*P. flu*, *P. fuscovaginae*=*P. fus*, *P. gessardii*=*P. ges*, *P. jessenii*=*P. jes*, *P. kilonensis*=*P. kil*, *P. koreensis*=*P. kor*, *P. orientalis*=*P. ori*, *P. putida*=*P. put*, *P. rhodesiae*=*P. rho*, *Pseudomonas sp*=*P. sp.*, *P. thivervalensis*=*P. thi*, *P. tolaasii*=*P. tol*, *P. vancouverensis*=*P. van*.

### Análisis de diversidad

Se aplicaron índices de diversidad de Shannon y Simpson a las comunidades bacterianas, en los que se observó (para ambos índices) que *D. labialis* en el estadio adulto es la que presenta la mayor diversidad, mientras que la que presentó menor diversidad fue *D. labialis* en estadio renacuajo (Figura 8 y 9). Es posible identificar que *D. labialis* en estadio adulto, presenta diferencias significativas en términos de diversidad microbiana con *D. labialis* en estadio renacuajo y *R. palmatus* en estadio adulto, este último es claro solo según el índice de diversidad de Shannon (Figura 9). El estadio juvenil para *D. labialis* no se tuvo en cuenta para este análisis pues sólo se realizó la captura de un individuo.



**Figura 8:** Diversidad de Simpson para la composición bacteriana de las especies *R. palmatus* y *D. labialis* en los diferentes estadios de desarrollo: renacuajo, juvenil, y adulto.



**Figura 9:** Diversidad de Shannon para la composición bacteriana de las especies *R. palmatus* y *D. labialis* en los diferentes estadios de desarrollo: renacuajo, juvenil, y adulto.

#### **Bacterias con efecto de inhibición contra Bd**

De los 162 ensayos de antagonismo 84 inhibieron a Bd (52%) y 78 no inhibieron (48%). Este resultado se determinó a partir de los valores de absorbancia obtenidos como una medida de crecimiento del hongo. Comparando las absorbancias de control positivo versus las obtenidas en pozos en los que se expuso Bd con los diferentes metabolitos bacterianos. Se encontró que 56 especies de las 93 que fueron identificadas, presentaron efecto inhibitorio (52%) dentro de las cuales están: *Aeromonas hydrophila*, *Bacillus cereus*, *Chryseobacterium joostei*,

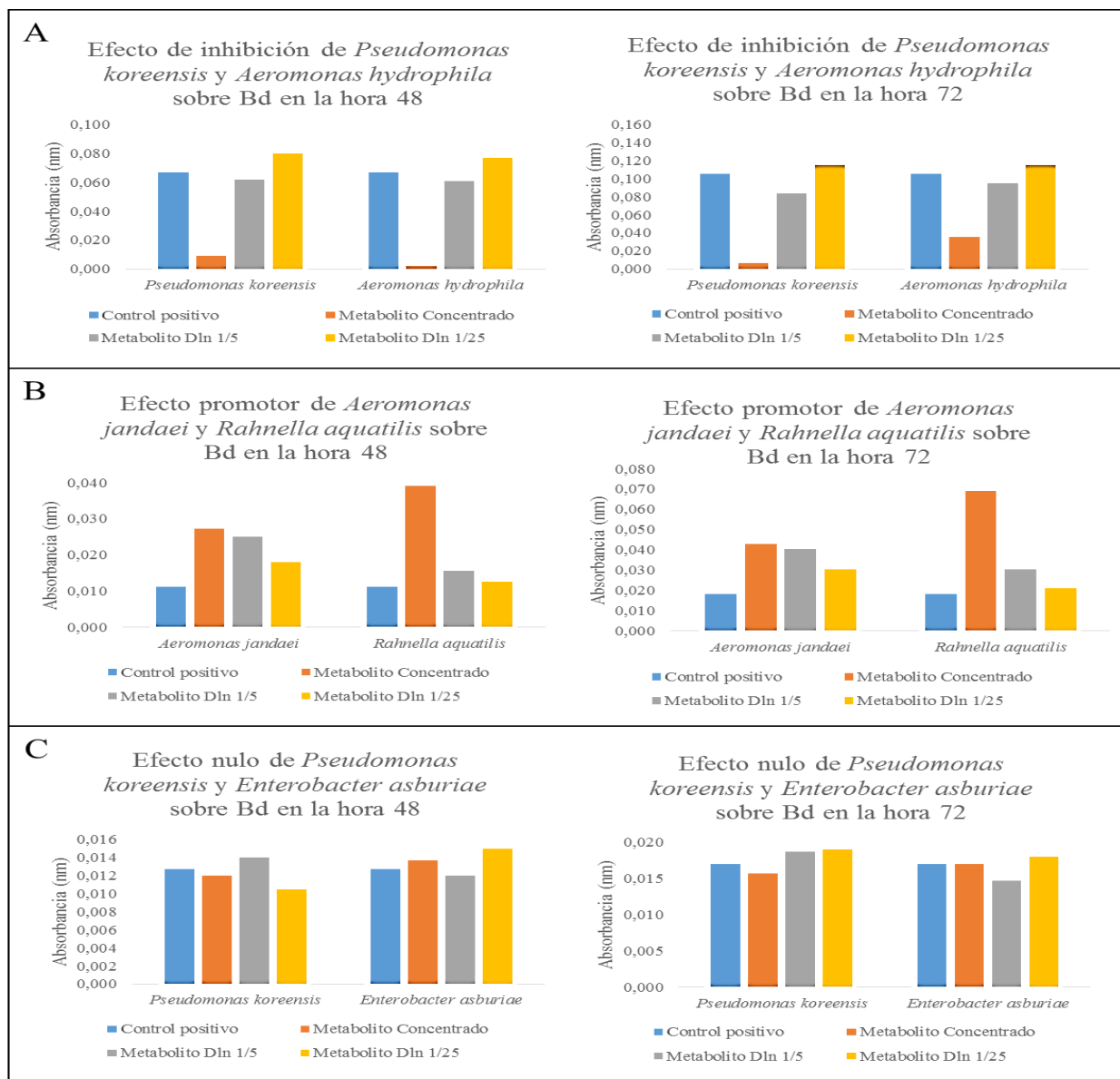
*Janthinobacterium lividum*, *Pseudomonas corrugata*, *Pseudomonas fluorescens*, *Pseudomonas putida*, *Raoultella terrígena* entre otras (Tabla 2).

**Tabla 2.** Especies de bacterias que presentaron inhibición en uno o más estadios de las especies *R. palmatus* y *D. labialis*.

Especie de bacteria	<i>R. palmatus</i>			<i>D. labialis</i>		
	Adulto	Juvenil	Renacuajo	Adulto	Juvenil	Renacuajo
<i>Acinetobacter calcoaceticus</i>			x			
<i>Acinetobacter johnsonii</i>						x
<i>Acinetobacter junii</i>	x					
<i>Aeromonas hydrophila</i>		x	x			x
<i>Arthrobacter gandavensis</i>		x				
<i>Arthrobacter oxydans</i>	x	x				
<i>Bacillus cereus</i>	x		x			x
<i>Bacillus circulans</i>				x	x	
<i>Bacillus megaterium</i>	x		x			
<i>Bacillus sonorensis</i>	x					
<i>Bacillus sp.</i>						x
<i>Bacillus subtilis</i>	x		x			
<i>Brevundimonas sp.</i>				x		
<i>Brevundimonas vesicularis</i>					x	x
<i>Chryseobacterium hagamense</i>				x		
<i>Chryseobacterium joostei</i>	x	x	x			
<i>Chryseobacterium sp.</i>	x			x		
<i>Citrobacter freundii</i>	x					
<i>Citrobacter koseri</i>			x			
<i>Comamonas sp.</i>			x			
<i>Curtobacterium luteum</i>		x				
<i>Delftia acidovorans</i>						x
<i>Enterobacter amnigenus</i>	x				x	
<i>Enterobacter asburiae</i>			x			
<i>Enterobacter cloacae</i>				x		
<i>Enterobacter cowanii</i>			x			
<i>Herbaspirillum huttiense</i>		x				
<i>Janthinobacterium lividum</i>		x				
<i>Microbacterium resistens</i>			x			
<i>Pantoea agglomerans</i>			x			x
<i>Pseudomonas antarctica</i>				x		
<i>Pseudomonas azotoformans</i>				x		

<i>Pseudomonas brassicacearum</i>		x				
<i>Pseudomonas chlororaphis</i>	x		x			
<i>Pseudomonas corrugata</i>	x		x	x	x	
<i>Pseudomonas fluorescens</i>		x	x			
<i>Pseudomonas jessenii</i>	x					
<i>Pseudomonas kilonensis</i>			x			
<i>Pseudomonas koreensis</i>		x	x			
<i>Pseudomonas putida</i>	x		x			
<i>Pseudomonas</i> sp.		x				x
<i>Rahnella aquatilis</i>	x					
<i>Raoultella ornithinolytica</i>	x		x			x
<i>Raoultella terrigena</i>	x		x			
<i>Rhodococcus erythropolis</i>				x		
<i>Serratia fonticola</i>			x			
<i>Serratia</i> sp.				x		x
<i>Sphingomonas aerolata</i>			x			
<i>Sphingomonas trueperi</i>		x				
<i>Staphylococcus epidermidis</i>				x		
<i>Staphylococcus sciuri</i>					x	x
<i>Stenotrophomonas ehitophila</i>	x					
<i>Stenotrophomonas maltophilia</i>					x	
<i>Stenotrophomonas</i> sp.			x			x
<i>Variovorax</i> sp.			x			
<i>Vogesella</i> sp.		x				
<b>Total especies por estadio</b>	17	13	25	11	7	11

En términos generales los microensayos en placas de Elisa, sugieren dos efectos diferentes de los metabolitos bacterianos sobre Bd. El primero fue el de inhibición parcial del crecimiento, cuando la absorbancia registrada en los pozos de Bd + metabolito es menor a la absorbancia del control positivo (Figura 10A). En segundo lugar, se evidenció un efecto promotor del crecimiento del hongo, obteniéndose una absorbancia mayor con respecto al control positivo (Figura 10B). Finalmente se presentó un tercer escenario en el que las absorbancias registradas en los ensayos eran muy similares al control positivo (Figura 10C), considerándose que los metabolitos bacterianos no causaron ningún efecto en el hongo. Para los dos primeros casos fue posible observar un efecto diferencial en las concentraciones usadas, siendo mayor en cualquier caso cuando el metabolito se encontraba más concentrado.



**Figura 10:** Ejemplos de cada uno de los escenarios que se presentaron en las pruebas de antagonismo en placas Elisa, en las horas 48 y 72 para cada caso, donde A ejemplifica el efecto de inhibición sobre Bd, B el efecto de promotor de crecimiento de Bd y C, la ausencia de efecto en Bd.

En cuanto a las bacterias que se probaron por enfrentamiento directo, se consideró como efecto de inhibición cuando se presentaba un halo de inhibición de crecimiento del hongo alrededor de la colonia bacteriana (Figura 11).



**Figura 11:** Fotografía de las pruebas de enfrentamiento directo donde **A** corresponde a *Serratia* sp., que produjo halo de inhibición frente a Bd. **B** corresponde a *Staphylococcus sciuri* que no produjo halo de inhibición.

#### **Diferencias entre las bacterias que inhiben Bd**

La prueba de Kruskal-Wallis, indicó que existen diferencias significativas entre las especies bacterianas que inhiben en *R. palmatus* en estadío de renacuajo con respecto a *R. palmatus* en estadío juvenil ( $p<0.05$ ). De igual manera todos los estadíos de *D. labialis* presentaron diferencias con respecto a los de *R. palmatus* (con valores de  $p$  de 0,00048 para el estadío adulto, 0,0002 para el estadío juvenil y 0,0048 para el estadío renacuajo).

## **DISCUSIÓN**

Las relaciones entre las comunidades microbianas y sus hospederos pueden ser muy complejas y están moduladas por factores como la genética del hospedero, la historia de vida, comportamiento, condiciones del ecosistema y la ontogenia (Ding y Schloss 2014). En este estudio se encontró de manera predominante géneros como *Pseudomonas*, *Bacillus*, *Chryseobacterium*, y *Arthrobacter*, los cuales han sido reportados en otros estudios realizados en diferentes especies de salamandras y ranas (Lauer et al. 2008; Mckenzie et al. 2012; Belden et al. 2015; Woodhams 2015). Además se encontraron con menos frecuencia especies de los géneros *Acinetobacter*, *Stenoptophomonas*, *Janthinobacterium*, *Enterobacter*, *Comamonas* y *Flavobacterium*, que han sido descritos en otras especies de anuros como simbiontes epidérmicos comunes (Woodhams et al. 2015).

Se encontraron diferencias entre los estadios adulto y renacuajo de *D. labialis*, este resultado concuerda con investigaciones previas, en las que se reporta que la composición de las comunidades microbianas difiere entre estadios de desarrollo (Kueneman et al. 2013). Esto puede deberse a las diferencias ambientales que enfrentan, pues los renacuajos se desarrollan en cuerpos de agua con componentes microbianos diferentes que pueden incidir en la presencia de determinadas especies bacterianas (McKenzie et al. 2012). Además se deben considerar los cambios estructurales e inmunológicos que se producen en la piel de los anfibios durante la metamorfosis (Rollins-Smith 1998, Faszewski et al. 2008), ya que estos pueden ser un factor que explica las diferencias en la composición microbiana entre estos estadios (Kueneman et al. 2013; Longo et al. 2015).

Por otra parte, se presentaron diferencias significativas en la diversidad de Shannon entre el estadio adulto de *D. labialis* y adulto de *R. palmatus*, este mismo resultado no se observa claramente en el índice de Simpson. Puede ser debido a que Shannon está asociado a la probabilidad de que un individuo con determinada identidad específica sea seleccionado aleatoriamente en una comunidad (Jost 2006; Chao et al. 2013), por lo que le otorga mayor valor a una especie extraña o poco abundante, mientras que el índice de Simpson se ve más afectado por las especies más dominantes (Ramírez-González 2005). Es decir, la estructura de la comunidad microbiana en ambas especies difiere significativamente.

Estas diferencias en las composiciones bacterianas entre especies concuerdan con investigaciones en las que se utilizó tecnología molecular avanzada mediante pirosecuenciación con código de barras del gen 16S rRNA para establecer la totalidad del microbioma bacteriano en varias comunidades de anfibios (McKenzie et al 2012), al igual que estudios de microbiota cultivable en donde se observa una gran variabilidad entre las especies encontradas en cuatro especies de anfibios (Walke et al. 2015). Además, la piel de los anuros puede variar por la presencia de péptidos antimicrobianos, secreciones mucosas y los niveles de desprendimiento de la piel, los cuales pueden afectar el establecimiento y mantenimiento de las comunidades microbianas residentes (Meyer et al. 2012; Walke et al. 2014).

Por el contrario, se encontró que no se presentan diferencias significativas en los índices de diversidad entre ningún estadio de la especie *R. palmatus*. Sin embargo, especies de *Chryseobacterium* y *Citrobacter* fueron identificadas únicamente en individuos adultos de *R.*

*palmatus*. Aunque no se conocen con claridad los mecanismos de adquisición de comunidades únicas de la piel, existen dos posibles escenarios que explican las diferencias en la diversidad entre estadios: el primero incluye la transmisión vertical (de padres a hijos), puesto que ha sido comprobado que los padres pueden transmitir microbiota simbionte en la rana cristal (*Hyalinobatrachium colymbiphyllum*) (Walke et al. 2011). El segundo escenario considera la exposición a una variedad de fuentes ambientales (agua, sedimentos, algas, invertebrados, materia orgánica), propician la adquisición de ciertos microorganismos (Lauer et al. 2008; Loudon et al. 2013; Walke et al. 2014). Este último mecanismo en *R. palmatus* es determinante, ya que la especie, al menos en la localidad de estudio es frecuentemente encontrada dentro del agua a lo largo de su ciclo de vida, lo que podría contribuir a que se mantenga cierta similitud entre la microbiota presente entre los diferentes estadios (Cortés 2014). Sin embargo, este último es discutible pues en estudios anteriores, las comunidades bacterianas encontradas en las especies no suelen coincidir con las encontradas en el ambiente en el que se desarrollan (McKenzie et al. 2012).

En el sitio donde se desarrolló este estudio el hongo ha sido detectado en las dos especies de anuros desde hace por lo menos siete años y se sabe que la prevalencia de la infección es para estas especies de anuros cercana al 40% (comunicación personal). De los 24 individuos usados para este estudio, fueron detectados tres infectados con el hongo, un juvenil de *R. palmatus* y dos adultos de *D. labialis*. Dado que las especies de anfibios llevan bastante tiempo conviviendo con el patógeno, se puede explicar que haya un gran número de bacterias que presentaron actividad anti-Bd (52% de las especies identificadas), pues se ha demostrado que las tasas de supervivencia frente el hongo pueden depender de la composición de la microbiota epidérmica (Becker et al. 2015a). Además la prevalencia de estas bacterias favorables se considera un mecanismo coevolutivo en respuesta a la presencia constante del hongo, como ha sido reportado en poblaciones de la especie de rana de patas amarillas (*Rana muscosa*), en donde las poblaciones de ranas que han convivido por más tiempo con el patógeno, tienen mayor proporción de bacterias con actividad anti-Bd (Woodhams et al. 2007; Lam et al., 2010).

Dentro de las especies bacterianas que presentan esta capacidad de inhibición, se encuentran con mayor frecuencia las especies del género *Pseudomonas* y *Bacillus*, que han demostrado con anterioridad ser géneros predominantes con actividad anti-Bd en la microbiota de ranas

(Woodhams et al. 2007; Flechas et al. 2012) y salamandras (Lauer et al. 2008). También se encontró a *Janthinobacterium lividum*, que ha sido considerado como el caso único caso efectivo de bioaumentación para el tratamiento de la enfermedad (Harris et al. 2009a). Sin embargo, para esta investigación estuvo asociada a un único individuo de estadio juvenil de *R. palmatus* y dentro de los 615 morfotipos obtenidos solo se recuperó una vez y en las pruebas de antagonismo no se destacó por presentar un alto y duradero efecto de inhibición. Por lo que la cepa recuperada en este caso no necesariamente sería la mejor estrategia de tratamiento probiótico.

Los modelos de acción inhibidora suceden muy probablemente a través de la producción de antibióticos, pero otros componentes tales como bacteriocinas (péptidos producidos por bacterias), productos de la degradación bacteriana de nutrientes como ácidos orgánicos, lisozimas y proteasas también pueden aumentar el efecto observado (Alabama. 2000); sin embargo este efecto en muchos casos fue disminuyendo con el tiempo observándose con claridad a las 48 horas, pero no a las 72, por lo que se asocia con que se tenía un metabolito finito o que no se encontraba en la concentración necesaria para inhibir la totalidad de los propágulos del hongo y al agotarse permitió el crecimiento del hongo. En contraste la promoción del crecimiento de Bd puede ocurrir cuando los metabolitos bacterianos sirven como nutrientes o a través de efectos hormesis, donde las concentraciones muy bajas de antibióticos promueven el crecimiento que es inhibido por concentraciones más altas (Southam y Ehrlich 1943, Stebbing 1982).

Para el caso en el que no se presentó ningún efecto sobre el crecimiento del hongo, no se descarta la posibilidad de que realmente se presente un efecto de inhibición. Probablemente las 48 horas que se dejó crecer cada bacteria no fue suficiente en algunos casos para que se produjera una adecuada cantidad de metabolitos y que se evidenciara un efecto inhibidor. Desafortunadamente para este estudio no se realizó la cuantificación del extracto bacteriano inicial, lo cual deja abierta la posibilidad de que lo que se ha considerado como sin efecto, sea solamente un efecto de la baja cantidad de metabolitos. Es sabido que los antimicrobianos bacterianos tienen un rango de acción que depende de la concentración a la que sea expuesto el hongo. Tal es el caso de la violaceína producida por *J. lividum* que requiere una concentración de 18microM para que exista un efecto letal (Becker et al 2009).

Llama especialmente la atención las diferencias que se presentaron en las comunidades bacterianas. A pesar de que los diferentes estadios de la especie *R. palmatus* presentaron una

composición bacteriana similar y no presentaron diferencias significativas en términos de diversidad, las especies con actividad anti-Bd fueron diferentes para cada uno. Es decir, las especies que cumplen un efecto en la inhibición de Bd, varían en cada estadio; esto implica que en varias ocasiones una misma especie de bacteria no presentó inhibición en todos los estadios en los que fue encontrada. Este resultado concuerda con un estudio realizado en salamandras en el que la diversidad de especies bacterianas epidérmicas era aparentemente baja pero con una alta actividad antifúngica (Lauer et al. 2008).

El estadio juvenil de *R. palmatus* fue el que presentó la mayor cantidad de bacterias con capacidad de inhibición. En lo que se sabe de estas especies, el estadio juvenil es el que mayor prevalencia de infección presenta, y aun así no se ha visto una disminución en su población, por lo que la alta frecuencia de recuperación de bacterias con actividad anti-Bd podrían explicar que esta población persista (Mckenzie et al 2012). Mientras que en el estadio juvenil de *D. labialis* fue la que presentó menor cantidad de bacterias con efecto antagónico, esto puede deberse a que otra manera que usan los anfibios para controlar el patógeno es exponerse al sol para elevar su temperatura corporal provocando una fiebre comportamental que ayuda a controlar la infección por la muerte de las zoosporas por calor (Voyles et al. 2010; Rowley et al. 2013). Este comportamiento es comúnmente reportado para *D. labialis* (Loddecke 1995; Navas 1996) de tal manera que puede tratarse de dos mecanismos que actúen sinérgicamente en esta especie para limitar el crecimiento del patógeno.

De igual manera, el hecho de que ambas especies de anuros presenten bacterias simbiontes similares y su actividad contra el patógeno sea diferente, puede explicarse por el hecho de que se ha demostrado que las comunidades bacterianas co-evolucionan estrechamente con su hospedero según las condiciones bajo las cuales se encuentre y pueden diferenciarse en subespecies o cepas diferentes con el tiempo (Steinert et al, 2000).

En conclusión, este estudio permitió realizar una descripción de la microbiota cultivable presente en la piel de ranas que cohabitan con Bd, estableciendo que los géneros más abundantes fueron *Pseudomonas*, *Bacillus*, *Chryseobacterium*, y *Arthrobacter* para ambas especies. No se presentaron diferencias en la diversidad entre los estadios de *R. palmatus* pero si entre los evaluados de *D. labialis*. Del total de bacterias encontradas en la piel de las ranas, aproximadamente el 52% presentaron actividad antifúngica. Pese a que la composición de la

microbiota bacteriana no fue significativamente diferente entre ambas especies de anuros y sus estadios, las especies que tienen un efecto de inhibición sobre Bd, si varían en cada estadio, encontrándose para este estudio, que los juveniles de *R. palmatus* presentaron la mayor cantidad de bacterias con actividad anti-Bd.

## **RECOMENDACIONES**

Se sugieren más estudios que permitan determinar los mecanismos de adaptación y establecimiento de la microbiota epidérmica si se piensa en un tratamiento con microorganismos para combatir la quitridiomicosis.

Se sugiere continuar en el proceso de estandarización de los microensayos en placas de Elisa, incluyendo mayor cantidad de controles positivos y agregando un control positivo para la inhibición en el que se exponga a Bd con los metabolitos bacterianos de una bacteria que haya presentado un efecto de inhibición comprobado.

Se recomienda para próximas investigaciones tener en cuenta la cuantificación de las extracciones con el fin de establecer una concentración mínima inhibitoria contra el patógeno.

## **BIBLIOGRAFÍA**

Alford RA, & Richards SJ (1999). Global amphibian declines: A problem in applied ecology. Annual Review of Ecology and Systematics 30:133–165.

AmphibiaWeb: Information on amphibian biology and conservation. [web application] 2015 Berkeley, California: AmphibiaWeb. Available: <http://amphibiaweb.org/> (Accessed: August 22, 2015).

Bahamón JP (2011). Detección de *Batrachochytrium dendrobatidis* en anfibios de un bosque húmedo tropical submontano localizado en el municipio de Santa María-Boyacá. Tesis de pregrado. Universidad Javeriana.

Baitchman EJ & Pessier AP (2013) Pathogenesis, diagnosis, and treatment of amphibian chytridiomycosis. Veterinary Clinics of North America: Exotic Animal Practice, 16(3), 669-685. doi:<http://dx.doi.org/10.1016/j.cvex.2013.05.009>

Beard KH, Vogt KA & Kulmatiski A (2002) Top-down effects of a terrestrial frog on forest nutrient dynamics. *Oecologia*, 133(4), 583-593.

Becker MH, Brucker RM, Schwantes CR, Harris RN, y Minbiole KP. (2009). The bacterially produced metabolite violacein is associated with survival of amphibians infected with a lethal fungus. *Applied and Environmental Microbiology*, 75(21), 6635-6638. doi:10.1128/AEM.01294-09.

Becker MH & Harris RN (2010) Cutaneous bacteria of the redback salamander prevent morbidity associated with a lethal disease. *PLoS ONE*, 5(6), e10957.

Becker MH, Harris RN, Minbiole KP, Schwantes CR, Rollins-Smith LA, Reinert LK et al (2011). Towards a better understanding of the use of probiotics for preventing chytridiomycosis in Panamanian golden frogs. *EcoHealth*, 8(4), 501-506.

Becker CG, Rodriguez D, Longo AV, Toledo LF, Lambertini C, Leite DS, et al. (2015) Deforestation, host community structure, and amphibian disease risk. *Basic and Applied Ecology*, doi:<http://dx.doi.org/10.1016/j.baae.2015.08.004>.

Becker MH, Walke JB, Cikanek S, Savage AE, Mattheus N, Santiago CN, et al (2015b) Composition of symbiotic bacteria predicts survival in panamanian golden frogs infected with a lethal fungus. *Proceedings of the Royal Society of London B: Biological Sciences*, 282(1805), 20142881.

Beebee TJ y Griffiths RA (2005) The amphibian decline crisis: A watershed for conservation biology? *Biological Conservation*, 125(3), 271-285. doi:<http://dx.doi.org/10.1016/j.biocon.2005.04.009>

Belden LK & Harris RN (2007) Infectious diseases in wildlife: the community ecology context. *Frontiers in Ecology and the Environment*, 5(10), 533-539.

Berger L, Speare R, Daszak P, Green DE, Cunningham AA, Goggin CL, et al (1998) Chytridiomycosis causes amphibian mortality associated with population declines in the rain forests of Australia and Central America. *Proceedings of the National Academy of Sciences*, 95(15), 9031-9036.

Berger L, Speare R, Hyatt AD. (1999) Chytrid fungi and amphibian declines: overview, implications and future directions. In: Campbell A. Declines and disappearances of Australian frogs. Environment Australia: Canberra. 23-33.

Berger L, Speare R, Marantelli G & Skerratt LF (2009) A zoospore inhibition technique to evaluate the activity of antifungal compounds against *Batrachochytrium dendrobatidis* and unsuccessful treatment of experimentally infected green tree frogs (*Litoria caerulea*) by fluconazole and benzalkonium chloride. *Research in Veterinary Science*, 87(1), 106-110. doi:<http://dx.doi.org/10.1016/j.rvsc.2008.11.005>

Berger L, Speare R, Pessier A, Voyles J, Skerratt LF. 2010 Treatment of chytridiomycosis requires urgent clinical trials. *Dis Aquat Org* 2010;92(2):165.

Bletz MC, Rosa GM, Andreone F, Courtois EA, Schmeller DS, Rabibisoa NH, Weldon C. (2015) Widespread presence of the pathogenic fungus *Batrachochytrium dendrobatidis* in wild amphibian communities in Madagascar. *Scientific Reports*, 5 (8633).

Bosch J, Martínez-Solano I, García-Paris M. (2001) Evidence of a chytrid fungus infection involved in the decline of the common midwife toad (*Alytes obstetricans*) in protected areas of central Spain. *Biology Conservation* 2001;97(3):331-337.

Bowerman J, Rombough C, Weinstock SR, Padgett-Flohr GE. (2010) Terbinafine hydrochloride in ethanol effectively clears *Batrachochytrium dendrobatidis* in amphibians. *Journal of Herpetological Medicine and Surgery* 2010;20(1):24-28.

Boyle D, Boyle D, Olsen V, Morgan J & Hyatt A (2004) Rapid quantitative detection of chytridiomycosis (*Batrachochytrium dendrobatidis*) in amphibian samples using real-time taqman PCR assay. *Diseases of Aquatic Organisms*, 60, 141-148.

Brannelly LA, Skerratt LF, Berger L. (2015) Treatment trial of clinically ill corroboree frogs with chytridiomycosis with two triazole antifungals and electrolyte therapy. 39(3):179-187.

Campbell CR, Voyles J, Cook DI & Dinudom A (2012) Frog skin epithelium: Electrolyte transport and chytridiomycosis. The International Journal of Biochemistry & Cell Biology, 44(3), 431-434. doi:<http://dx.doi.org/10.1016/j.biocel.2011.12.002>

Carey C & Alexander MA (2003) Climate change and amphibian declines. Diversity and Distributions, 9(2), 111-121.

Chanson J, Hoffman M, Cox N. & Stuart S (2008) The State of the World's Amphibians. En: Stuart SN, Hoffman M, Chanson JS, Cox NA, Berridge RJ, Ramani P et al. (2008). Threatened Amphibians of the World. Ediciones Lynx, Barcelona, España. IUCN, Gland, Suiza; y Conservación Internacional, Arlington, Virginia, USA.

Chao A, Wang Y & Jost L (2013) Entropy and the species accumulation curve: a novel entropy estimator via discovery rates of new species. Methods in Ecology and Evolution. 4: 1091-1100.

Clay K (2014). Defensive symbiosis: A microbial perspective. Functional Ecology, 28(2), 293-298. doi:[10.1111/1365-2435.12258](https://doi.org/10.1111/1365-2435.12258)

Collins JP & Storfer A (2003) Global amphibian declines: sorting the hypotheses. Diversity and distributions, 9(2), 89-98.

Conlon JM, Reinert LK, Mechkarska M, Prajeep M, Meetani MA, Coquet L, et al (2013) Evaluation of the skin peptide defenses of the Oregon spotted frog *Rana pretiosa* against infection by the chytrid fungus *Batrachochytrium dendrobatidis*. Journal of Chemical Ecology, 39(6), 797-805.

Cortés JE (2014) Microhabitat use of *Rheobates palmatus* (werner 1899) (Anura: Aromobatidae) in a riverside ecosystem of Villa de Leyva, Colombia. *Herpetotropicos*, 10(1-2)

Cortéz-Gómez AM, Ruiz-Agudelo CA, Valencia-Aguilar A & Ladle RJ (2015) Ecological functions of Neotropical amphibians and reptiles: a review. Universitas Scientiarum, 20(2), 229-245.

Crawshaw G, Pienkowski M, Lentini A, Dutton C, Delnatto P, Russell D et al. (2014) Brown skin disease: A syndrome of dysecdysis in puerto rican crested toads (*Peltophryne lemur*). Zoo Biology, 33(6), 558-564.

Creed RP, Taylor A & Pflaum JR (2010) Bioturbation by a dominant detritivore in a headwater stream: litter excavation and effects on community structure. Oikos, 119(12), 1870-1876.

Croel RC, Kneitel JM (2011) Ecosystem-level effects of bioturbation by the tadpole shrimp *Lepidurus packardi* in temporary pond mesocosms. Hydrobiologia, 665(1):169-181.

Cushman SA (2006) Effects of habitat loss and fragmentation on amphibians: A review and prospectus. Biological Conservation, 128 (2), 231- 240. doi:<http://dx.doi.org/10.1016/j.biocon.2005.09.031>

D'Amen M & Bombi P (2009) Global warming and biodiversity: Evidence of climate-linked amphibian declines in Italy. Biological Conservation, 142(12), 3060-3067. doi:<http://dx.doi.org/10.1016/j.biocon.2009.08.004>

Davidson C, Bradley Shaffer H & Jennings MR (2001) Declines of the California red-legged frog: climate, UV-B, habitat, and pesticides hypotheses. Ecological Applications, 11(2), 464-479.

Davidson C, Shaffer HB & Jennings MR (2002) Spatial tests of the pesticide drift, habitat destruction, UV-B, and climate-change hypotheses for California amphibian declines. Conservation Biology, 16(6), 1588-1601.

Daszak PA, Strieby AA, Cunningham JE, Longcore CC. Brown & Porter D (2004) Experimental evidence that the bullfrog (*Rana catesbeiana*) is a potential carrier of chytridiomycosis, an emerging fungal disease of amphibians. Herpetological Journal, 14:201–207.

Ding T, Schloss PD (2014). Dynamics and associations of microbial community types across the human body, Nature, 509: 357-360.

Edwards DP, Tobias JA, Sheil D, Meijaard E, Laurance WF (2014) Maintaining ecosystem function and services in logged tropical forests. Trends in Ecology & Evolution, 29(9), 511-520. doi:<http://dx.doi.org/10.1016/j.tree.2014.07.003>

Faszewski EE, Tyrell A, Guin S, Kaltenbach JC (2008) Metamorphic changes in localization of sugars in skin of the leopard frog, *rana pipiens*. Journal of Morphology, 269(8), 998-1007.

Fites JS, Ramsey JP, Holden WM, Collier SP, Sutherland DM, Reinert LK, et al (2013) The invasive chytrid fungus of amphibians paralyzes lymphocyte responses. Science, 342(6156), 366-369. doi:<http://dx.doi.org/10.1126/science.1243316>

Flechas SV, Sarmiento C, Cárdenas ME, Medina EM, Restrepo S & Amézquita A (2012) Surviving chytridiomycosis: Differential anti-*Batrachochytrium dendrobatidis* activity in bacterial isolates from three lowland species of *Atelopus*. PLoS ONE, 7(9): e44832.

Flechas SV, Vredenburg VT, Amézquita A (2015) Infection prevalence in three lowland species of harlequin toads from the threatened genus *Atelopus*. Herpetological Review. 46(4), 528–532.

Flechas SV, Medina E, Crawford A, Sarmiento C, Cárdenas M, Amézquita A, Restrepo S (2013) Characterization of the first *Batrachochytrium dendrobatidis* isolate from the Colombian Andes, an amphibian biodiversity hotspot. EcoHealth. 10(1):72-6.

Flórez LV, Biedermann PH, Engl T, Kaltenpoth M (2015) Defensive symbioses of animals with prokaryotic and eukaryotic microorganisms. Natural Product Reports. 32 (904-936).

Fox JW, Serrano SM. Approaching the golden age of natural product pharmaceuticals from venom libraries: an overview of toxins and toxin-derivatives currently involved in therapeutic or diagnostic applications. Current Pharmaceutical Design 2007;13(28):2927-2934.

Franco-Correa M (2008) Evaluación de caracteres PGPR en actinomicetos e interacciones de estas rizobacterias con hongos formadores de micorriza. Tesis Doctoral. Doctorado en Biología Agraria. Director: Dr. José Miguel Barea Navarro. Facultad de Ciencias, Universidad de Granada. 266 pp.

Garner T, Garcia G, Carroll B, Fisher M. Using itraconazole to clear *Batrachochytrium dendrobatidis* infection, and subsequent depigmentation of *Alytes muletensis* tadpoles. Disease of Aquatic Organisms, 2009;83:257-260.

Georoff TA, Moore RP, Rodriguez C, Pessier AP, Newton AL, McAloose D & Calle PP (2013) Efficacy of treatment and long-term follow-up of *Batrachochytrium dendrobatidis* PCR-positive

anurans following itraconazole bath treatment. Journal of Zoo and Wildlife Medicine, 44(2), 395-403.

Gerber GK. (2014). The dynamic microbiome. FEBS Letters, 588(22), 4131-4139. doi:<http://dx.doi.org/10.1016/j.febslet.2014.02.037>

Ghirardi R. Estudio de quitridiomicosis por *Batrachochytrium dendrobatidis* en anfibios anuros del Litoral. Tesis de doctorado. Cuyo y Patagonia Argentina 2012.

Gibbons JW, Winne CT, Scott DE, Willson JD, Glaudas X, Andrews KM, et al (2006) Remarkable amphibian biomass and abundance in an isolated wetland: implications for wetland conservation. Conservation Biology, 20(5), 1457-1465.

Gray MJ, Miller DL, Hoverman JT. (2009) Ecology and pathology of amphibian ranaviruses. Diseases of Aquatic Organisms, 87(3):243-266.

Green DM (2003) The ecology of extinction: Population fluctuation and decline in amphibians. Biological Conservation, 111(3), 331-343. doi:[http://dx.doi.org/10.1016/S0006-3207\(02\)00302-6](http://dx.doi.org/10.1016/S0006-3207(02)00302-6).

Groff JM, Mughannam A, McDowell TS, Wong A, Dykstra MJ, Frye FL, y Hedrick RP (1991). An epizootic of cutaneous zygomycosis in cultured dwarf African clawed frogs (*Hymenochirus curtipes*) due to *Basidiobolus ranarum*. Journal of Medical and Veterinary Mycology, 29(4), 215-223.

Groner ML, Rollins-Smith LA, Reinert LK, Hempel J, Bier ME, y Relyea RA (2014). Interactive effects of competition and predator cues on immune responses of leopard frogs at metamorphosis. The Journal of Experimental Biology, 217(3), 351-358.

Hacquard S, Garrido-Oter R, González A, Spaepen S, Ackermann G, Lebeis S et al (2015). Microbiota and host nutrition across plant and animal kingdoms. Cell Host & Microbe, 17(5), 603-616. doi:<http://dx.doi.org/10.1016/j.chom.2015.04.009>

Hamann M, González C (2009) Larval digenetic trematodes in tadpoles of six amphibian species from Northeastern Argentina. Journal of Parasitology, 95(3):623-628.

Hamer AJ & McDonnell MJ (2008) Amphibian ecology and conservation in the urbanising world: A review. *Biological Conservation*, 141(10), 2432-2449.  
doi:<http://dx.doi.org/10.1016/j.biocon.2008.07.020>

Harris RN, Brucker RM, Walke JB, Becker MH, Schwantes CR, Flaherty DC, et al (2009a) Skin microbes on frogs prevent morbidity and mortality caused by a lethal skin fungus. *The ISME Journal*, 3(7), 818-824.

Harris RN, Lauer A, Simon MA, Banning JL & Alford RA (2009b) Addition of antifungal skin bacteria to salamanders ameliorates the effects of chytridiomycosis. *Diseases of Aquatic Organisms*, 83(1), 11.

Hayes TB, Falso P, Gallipeau S & Stice M (2010) The cause of global amphibian declines: A developmental endocrinologist's perspective. *The Journal of Experimental Biology*, 213(6), 921-933. doi:10.1242/jeb.040865

Hocking DJ y Babbitt KJ (2014) Amphibian contributions to ecosystem services. *Herpetological Conservation and Biology*, 9(1), 1-17.

Hodgson WC, Isbister GK (2009) The application of toxins and venoms to cardiovascular drug discovery. *Current opinion in pharmacology*, 9(2):173-176.

Holden WM, Hanlon SM, Woodhams DC, Chappell TM, Wells HL, Glisson SM, et al (2015) Skin bacteria provide early protection for newly metamorphosed southern leopard frogs (*Rana sphenocephala*) against the frog-killing fungus, *Batrachochytrium dendrobatidis*. *Biological Conservation*, 187(0), 91-102. doi:<http://dx.doi.org/10.1016/j.biocon.2015.04.007>

Hyatt A, Boyle D, Olsen V, Boyle D, Berger L, Obendorf D, et al (2007) Diagnostic assays and sampling protocols for the detection of *Batrachochytrium dendrobatidis*. *Diseases of Aquatic Organisms*, 73, 175-192.

Jackson K (2014) Herpetology: An Introductory Biology of Amphibians and Reptiles. *Phylomedusa: Journal of Herpetology*, 12(2), 147-149.

James TY, Litvintseva AP, Vilgalys R, Morgan JA, Taylor JW, Fisher MC, et al. (2009) Rapid global expansion of the fungal disease chytridiomycosis into declining and healthy amphibian populations. *PLoS Pathog*, 5(5), e1000458.

Jancovich JK, Davidson EW, Seiler A, Jacobs BL & Collins JP (2001) Transmission of the *Ambystoma tigrinum* virus to alternative hosts. Diseases of Aquatic Organisms, 46(3), 159-163.

Jiang Y, Xi X, Ge L, Yang N, Hou X, Ma J, et al. Bradykinin-related peptides (BRPs) from skin secretions of three genera of phyllomedusine leaf frogs and their comparative pharmacological effects on mammalian smooth muscles. *Peptides* 2014 2;52:122-133.

Johnson PT, Lunde KB, Ritchie EG, Reaser JK, Launer AE. Morphological abnormality patterns in a California amphibian community. *Herpetologica* 2001:336-352.

Jones ME, Paddock D, Bender L, Allen JL, Schrenzel MD & Pessier AP (2012) Treatment of chytridiomycosis with reduced-dose itraconazole. Diseases of Aquatic Organisms, 99(3), 243-249. doi:10.3354/dao02475.

Jost L (2006) Entropy and Diversity. *Oikos*. 113(2):363-375.

Kueneman JG, Parfrey LW, Woodhams DC, Archer HM, Knight R, McKenzie VJ (2014) The amphibian skin-associated microbiome across species, space and life history stages. *Molecular Ecology*, 23(6), 1238-1250.

Kiesecker, J. M., Blaustein, A. R., & Belden, L. K. (2001). Complex causes of amphibian population declines. *Nature*, 410(6829), 681-684.

Kilpatrick AM, Briggs CJ & Daszak P (2010) The ecology and impact of chytridiomycosis: An emerging disease of amphibians. *Trends in Ecology & Evolution*, 25(2), 109-118. doi:<http://dx.doi.org/10.1016/j.tree.2009.07.011>

King GF (2011) Venoms as a platform for human drugs: translating toxins into therapeutics. *Expert Opinion on Biological Therapy*, 11(11):1469-1484.

Küng D, Bigler L, Davis LR, Gratwicke B, Griffith E & Woodhams DC (2014) Stability of microbiota facilitated by host immune regulation: informing probiotic strategies to manage amphibian disease. PLoS ONE, 9(1): e87101

Lam BA, Walke JB, Vredenburg VT, Harris RN (2010) Proportion of individuals with anti-*Batrachochytrium dendrobatidis* skin bacteria is associated with population persistence in the frog rana muscosa. *Biological Conservation*, 143(2), 529-531.  
doi:<http://dx.doi.org/10.1016/j.biocon.2009.11.015>

Larsen EH (2011) Reconciling the Krogh and Ussing interpretations of epithelial chloride transport? Presenting a novel hypothesis for the physiological significance of the passive cellular chloride uptake. *Acta Physiologica*, 202(3), 435-464. doi:10.1111/j.1748-1716.2010.02239.x

Latney LV, Klaphake E (2013) Selected Emerging Diseases of Amphibia. *Veterinary Clinics of North America: Exotic Animal Practice*, 5;16(2):283-301.

Lauer A, Simon MA, Banning JL, André E, Duncan K & Harris R (2007) Common cutaneous bacteria from the eastern red-backed salamander can inhibit pathogenic fungi. *Copeia*, (3), 630-640.

Lauer A, Simon MA, Banning JL, Lam BA, Harris RN (2008) Diversity of cutaneous bacteria with antifungal activity isolated from female four-toed salamanders. *The ISME Journal* 2 (2): 145-157.

Laurance WF (1996) Catastrophic declines of australian rainforest frogs: Is unusual weather responsible? *Biological Conservation*, 77(2–3), 203-212. doi:[http://dx.doi.org/10.1016/0006-3207\(95\)00142-5](http://dx.doi.org/10.1016/0006-3207(95)00142-5)

Lips KR, Brem F, Brenes R, Reeve JD, Alford RA, Voyles J, et al. (2006). Emerging infectious disease and the loss of biodiversity in a Neotropical amphibian community. *Proceedings of the National Academy of Sciences*, 28;103(9):3165-3170.

Loddecke H (1995) Intra- and interpopulational comparison of temperatures selected by *Hyla labialis* (Anura). *Scienzia Herpetologica*. 192-196.

Loeffler J, Henke N, Hebart H, Schmidt D, Hagemeyer L, Schumacher U & Einsele H (2000) Quantification of fungal DNA by using fluorescence resonance energy transfer and the light cycler system. *Journal of Clinical Microbiology*, 38(2), 586-590.

Longcore JE, Pessier AP & Nichols DK (1999) *Batrachochytrium dendrobatidis* gen. et sp. nov., a chytrid pathogenic to amphibians. *Mycologia*, 91(2), 219-227.

Longo AV, Savage AE, Hewson I, Zamudio KR (2015) Seasonal and ontogenetic variation of skin microbial communities and relationships to natural disease dynamics in declining amphibians. *Royal Society Open Science*, 2(7), 140377.

Loudon AH, Woodhams DC, Parfrey LW, Archer H, Knight R, McKenzie V, Harris RN (2014) Microbial community dynamics and effect of environmental microbial reservoirs on red-backed salamanders (*Plethodon cinereus*). *The ISME Journal*, 8(4), 830-840.

McKenzie VJ, Bowers RM, Fierer N, Knight R, Lauber CL (2012) Co-habiting amphibian species harbor unique skin bacterial communities in wild populations. *The ISME Journal*, 6(3), 588-596.

Martel A, Fard MS, Van Rooij P, Jooris R, Boone F, Haesebrouck F, et al (2012) Road-killed common toads (*Bufo bufo*) in Flanders (Belgium) reveal low prevalence of ranaviruses and *Batrachochytrium dendrobatidis*. *Journal of Wildlife Diseases*, 48(3):835-839.

Martel A, Spitzen-van der Sluijs A, Blooi M, Bert W, Ducatelle R, Fisher MC. et al (2013) *Batrachochytrium salamandrivorans* sp. nov. causes lethal chytridiomycosis in amphibians. *Proceedings of the National Academy of Sciences*, 110(38), 15325-15329.

Mendoza C, Burrowes P, & Parra G (2015) La quitridiomicosis en los anfibios de México: Una revisión. *Revista Mexicana De Biodiversidad*, 86(1), 238-248.  
doi:<http://dx.doi.org/10.7550/rmb.42588>

Merck E (1990) Manual de medios de cultivo. Merck-Igoda, División Diagnóstico. Barcelona, España. 356 pp.

Meyer EA, Cramp RL, Bernal MH, Franklin CE (2012) Changes in cutaneous microbial abundance with sloughing: possible implications for infection and disease in amphibians. Diseases of Aquatic Organisms 101: 235-242.

Muijsers M, Martel A, Van Rooij P, Baert K, Vercauteren G, Ducatelle R, et al (2012) Antibacterial therapeutics for the treatment of chytrid infection in amphibians: Columbus's egg? BMC Veterinary Research, 25;8:175-6148-8-175.

Muths E, Corn PS, Pessier AP & Earl Green, D (2003) Evidence for disease-related amphibian decline in colorado. Biological Conservation, 110(3), 357-365.  
doi:[http://dx.doi.org/10.1016/S0006-3207\(02\)00239-2](http://dx.doi.org/10.1016/S0006-3207(02)00239-2)

Mutschmann F (2015) Chytridiomycosis in amphibians. *Journal of Exotic Pet Medicine*, 24(3), 276-282.

Nori J & Loyola R (2015) On the worrying fate of data deficient amphibians. PLoS ONE, 10(5), n/a. doi:<http://dx.doi.org/10.1371/journal.pone.0125055>

Nyström P, Hansson J, Månsson J, Sundstedt M, Reslow C, & Broström A (2007) A documented amphibian decline over 40 years: Possible causes and implications for species recovery. Biological Conservation, 138(3–4), 399-411. doi:<http://dx.doi.org/10.1016/j.biocon.2007.05.007>

Ochoa-Ochoa LM, Rodríguez P, Mora F, Flores-Villela O & Whittaker RJ (2012) Climate change and amphibian diversity patterns in Mexico. Biological Conservation, 150(1), 94-102. doi:<http://dx.doi.org/10.1016/j.biocon.2012.03.010>

Olson DH, Aanensen DM, Ronnenberg KL, Powell CI, Walker SF, Bielby J, et al (2013) Mapping the global emergence of *Batrachochytrium dendrobatidis*, the amphibian chytrid fungus. PloS One, 8(2), e56802.

Padgett-Flohr GE & Hayes, M. P (2011) Assessment of the vulnerability of the Oregon spotted frog (*Rana pretiosa*) to the amphibian chytrid fungus (*Batrachochytrium dendrobatidis*). Herpetological Conservation and Biology, 6(2), 99-106.

Pasmans F, Blahak S, Martel A, Pantchev N, Zwart P (2008) Ranavirus-associated mass mortality in imported red tailed knobby newts (*Tylototriton kweichowensis*): A case report. Vet J76(2):257-259.

Passaglia SA, dos Santos MB, Mendes LV, Vaz PL, dos Santos CP, Zanini CS, et al (2015) Identification of influential events concerning the Antarctic ozone hole over southern Brazil and the biological effects induced by UVB and UVA radiation in an endemic treefrog species. Ecotoxicology Environmental Safety 8;118:190-198.

Pasteris SE, Guidoli MG, Otero MC, Bühler MI, Nader-Macías ME. In vitro inhibition of *Citrobacter freundii*, a red-leg syndrome associated pathogen in raniculture, by indigenous *Lactococcus lactis* CRL 1584. Veterinary Microbiology 2011 8/5;151(3-4):336-344.

Pearman PB, & Garner TW (2005) Susceptibility of Italian agile frog populations to an emerging strain of Ranavirus parallels population genetic diversity. Ecology Letters, 8(4), 401-408.

Peltzer PM, Lajmanovich RC, Sanchez LC, Attademo AM, Junges CM, Bionda CL, et al. Morphological abnormalities in amphibian populations. Herpetological Conservation and Biology 2011;6(3):432-442.

Pessier AP (2014). Chapter 21 - Infectious Diseases of Amphibians: It Isn't Just Redleg Anymore. In: Divers DRMJ, editor. Current Therapy in Reptile Medicine and Surgery St. Louis: W.B. Saunders;. p. 247-254.

Philippe G, Angenot L. Recent developments in the field of arrow and dart poisons. J Ethnopharmacol 2005 8/22;100(1-2):85-91.

Pimm SL, Jenkins CN, Abell R, Brooks TM, Gittleman JL, Joppa LN, et al (2014) The biodiversity of species and their rates of extinction, distribution, and protection. Science, 344(6187), 1246752.

Poll CP (2009) Wound Management in Amphibians: Etiology and Treatment of Cutaneous Lesions. Journal of Exotic Pet Medicine, 1;18(1):20-35.8

Rachowicz LJ, Hero J, Alford RA, Taylor JW, Morgan J, Vredenburg VT, et al (2005). The Novel and Endemic Pathogen Hypotheses: Competing Explanations for the Origin of Emerging

Infectious Diseases of Wildlife; La Hipótesis del Patógeno Incipiente y Endémico: Explicaciones Opuestas del Origen de Enfermedades Infecciosas Emergentes en la Vida Silvestre. Conserv Biol 2005;19(5):1441-1448.

Ramírez-Gonzales A (2005) Ecología Aplicada: Diseño y Análisis Estadístico. Fundación Universitaria Jorge Tadeo Lozano, Bogotá, Colombia.

Rohr JR, Schotthoefer AM, Raffel TR, Carrick HJ, Halstead N, Hoverman JT, et al. (2008) Agrochemicals increase trematode infections in a declining amphibian species. Nature, 455(7217):1235-1239.

Rollins-Smith LA (1998). Metamorphosis and the amphibian immune system. Immunological Reviews, 166(1), 221-230.

Rollins-Smith, LA, Fites JS, Reinert LK, Shiakolas AR, Umile TP, y Minbiele KP (2015). Immunomodulatory metabolites released by the frog-killing fungus *Batrachochytrium dendrobatidis*. Infection and Immunity, 83(12), 4565-4570. doi:10.1128/IAI.00877-15.

Rosenblum EB, James TY, Zamudio KR, Poorten TJ, Ilut D, Rodriguez D, et al. (2013) Complex history of the amphibian-killing chytrid fungus revealed with genome resequencing data. Proceedings of the National Academy of Sciences, 110(23):9385-9390.

Rowley J, Hoang H, Le DT, Dau VQ, Neang T, Cao TT (2013). Low prevalence or apparent absence of *Batrachochytrium dendrobatidis* infection in amphibians from sites in Vietnam and Cambodia. Herpetological Review, 44, 466-469.

Ruiz A, Rueda-Almonacid JV. *Batrachochytrium dendrobatis* and Chytridiomycosis in Anuran Amphibians of Colombia. EcoHealth 2008; 5:27- 33.

Salminen SJ, Gueimonde M, & Isolauri, E. (2005). Probiotics that modify disease risk. The Journal of Nutrition, 135(5), 1294-1298. doi:135/5/1294

Schloegel LM, Daszak P, Cunningham AA, Speare R, Hill B. Two amphibian diseases, chytridiomycosis and ranaviral disease, are now globally notifiable to the World Organization for Animal Health (OIE): an assessment. Dis Aquat Org 2010;92(2-3):101-108.

SiB – Sistema de Información sobre Biodiversidad de Colombia 2014 Biodiversidad en Cifras. Disponible en: [www.sibcolombia.net](http://www.sibcolombia.net). Consultado el 21 de Junio de 2015.

Southam CM, Ehrlich J (1943) Effects of extracts of western red-cedar heartwood on certain wood-decaying fungi in culture. *Phytopathology* 33: 517–524

Stebbing ARD (1982) Hormesis—the stimulation of growth by low levels of inhibitors. *The Science of the Total Environment* 22: 213–234

Steinert M, Hentschel U, Hacker J (2000) Symbiosis and pathogenesis: Evolution of the microbe-host interaction. *Naturwissenschaften*, 87(1), 1-11.

Stuart SN & Edicions L (2008) Threatened amphibians of the world. Lynx Edicions Barcelona, Spain.

Urban MC, Lewis LA, Fučíková, K, & Cordone A (2015). Population of origin and environment interact to determine oomycete infections in spotted salamander populations. *Oikos*, 124(3), 274-284.

Velo G, Rodríguez D, Savage AE, Parra-Olea G, Lips KR., Zamudio KR (2012) Amphibian-killing fungus loses genetic diversity as it spreads across the new world. *Biological Conservation*, 146(1), 213-218.

Verschuere L, Rombaut G, Sorgeloos P, Verstraete W (2000) Probiotic bacteria as biological control agents in aquaculture. *Microbiology and Molecular Biology Reviews* 64: 655–671

Vitt LJ & Caldwell, JP (2014) Herpetology: an Introductory Biology of Amphibians and Reptiles. Academic Press. New York. 543pp.

Vittoz P, Cherix D, Gonseth Y, Lubini V, Maggini R, Zbinden N, et al (2013) Climate change impacts on biodiversity in switzerland: A review. *Journal for Nature Conservation*, 21(3), 154-162. doi:<http://dx.doi.org/10.1016/j.jnc.2012.12.002>

Voyles J, Young S, Berger L, Campbell C, Voyles WF, Dinudom A, et al (2009) Pathogenesis of chytridiomycosis, a cause of catastrophic amphibian declines. *Science* (New York, N.Y.), 326(5952), 582-585. doi:[10.1126/science.1176765](https://doi.org/10.1126/science.1176765) [doi]

Voyles J, Richards-Hrdlicka K, Cashins SD, Rosenblum EB, Hyatt AD, Berger L & Skerratt LF (2010) *Batrachochytrium dendrobatidis*: Requirement for further isolate collection and archiving. Diseases of Aquatic Organisms, 92(2-3), 109-1120.

Voyles J, Rosenblum EB & Berger, L (2011) Interactions between *Batrachochytrium dendrobatidis* and its amphibian hosts: A review of pathogenesis and immunity. Microbes and Infection, 13(1), 25-32. doi:<http://dx.doi.org/10.1016/j.micinf.2010.09.015>

Vredenburg VT, Felt SA, Morgan EC, McNally SV, Wilson S, Green SL. (2013) Prevalence of *Batrachochytrium dendrobatidis* in *Xenopus* collected in Africa (1871–2000) and in California (2001–2010)

Wake DB, Vredenburg VT (2008) Colloquium paper: Are we in the midst of the sixth mass extinction? A view from the world of amphibians. Proceedings of the National Academy of Sciences, 105:11466-11473. doi:10.1073/pnas.0801921105

Walke JB, Becker MH, Loftus SC, House LL, Cormier G, Jensen RV, Belden K (2014) Amphibian skin may select for rare environmental microbes. The ISME Journal, 1-11.

Weldon, C., du Preez, L. H., Hyatt, A. D., Muller, R., & Spears, R. (2004). Origin of the amphibian chytrid fungus. Emerging Infectious Diseases, 10(12) doi:10.3201/eid1012.030804 [doi]

Whiles MR, Lips KR, Pringle CM, Kilham SS, Bixby RJ, Brenes R, et al (2006) The effects of amphibian population declines on the structure and function of Neotropical stream ecosystems. Frontiers in Ecology and the Environment, 4(1), 27-34.

Whittaker K, Koo MS, Wake DB & Vredenburg VT (2013) Global declines of amphibians. In S. A. Levin (Ed.), Encyclopedia of biodiversity (second edition) (pp. 691-699). Waltham: Academic Press. doi:<http://dx.doi.org/10.1016/B978-0-12-384719-5.00266-5>

Woodhams DC & Alford RA (2005) Ecology of chytridiomycosis in rainforest stream frog assemblages of tropical Queensland. Conservation Biology, 19(5), 1449-1459.

Woodhams DC, Rollins-Smith LA, Carey C, Reinert L, Tyler MJ & Alford, RA (2006) Population trends associated with skin peptide defenses against chytridiomycosis in Australian frogs. *Oecologia*, 146(4), 531-540.

Woodhams DC, Vredenburg VT, Simon M, Billheimer D, Shakhtour B, Shyr Y, et al (2007) Symbiotic bacteria contribute to innate immune defenses of the threatened mountain yellow-legged frog, *Rana muscosa*. *Biological Conservation*, 138(3–4), 390-398. doi:<http://dx.doi.org/10.1016/j.biocon.2007.05.004>

Woodhams DC, Alford RA, Briggs CJ, Johnson M & Rollins-Smith LA (2008) Life-history trade-offs influence disease in changing climates: Strategies of an amphibian pathogen. *Ecology*, 89(6), 1627-1639.

Woodhams DC, Bosch J, Briggs CJ, Cashins S, Davis LR, Lauer A et al (2011) Mitigating amphibian disease: Strategies to maintain wild populations and control chytridiomycosis. *Frontiers in Zoology*, 8(1), 8-9994-8-8. doi:10.1186/1742-9994-8-8

Woodhams DC, Geiger CC, Reinert LK, Rollins-Smith LA, Lam B, Harris RN, et al. (2012) Treatment of amphibians infected with chytrid fungus: learning from failed trials with itraconazole, antimicrobial peptides, bacteria, and heat therapy. *Disease of Aquatic Organisms*; 98(1):11.

Woodhams DC, Brandt H, Baumgartner S, Kielgast J, Küpfer E, Tobler U, et al (2014) Interacting symbionts and immunity in the amphibian skin mucosome predict disease risk and probiotic effectiveness. *PloS ONE*, 9(4): e96375.

Woodhams DC, Alford RA, Antwis RE, Archer H, Becker MH, Belden LK, et al (2015) Antifungal isolates database of amphibian skin-associated bacteria and function against emerging fungal pathogens: *Ecological Archives* E096-059. *Ecology*, 96(2), 595-595.

Xi X, Li R, Jiang Y, Lin Y, Wu Y, Zhou M, et al. Medusins: A new class of antimicrobial peptides from the skin secretions of phylomedusine frogs. *Biochimie* 2013 6;95(6):1288-1296.

Zucol F, Ammann RA, Berger C, Aebi C, Altwegg M, Niggli FK, et al (2006) Real-time quantitative broad-range PCR assay for detection of the 16S rRNA gene followed by sequencing for species identification. *Journal of Clinical Microbiology*, 44(8), 2750-2759.

## ANEXOS

*Listado de secuencias consenso obtenidas mediante la secuenciación del gen 16S.*

ID: 1

*Chryseobacterium*

ACCCCAGACTTCCATGGCTTGACGGGCGGTGTACAAGGCCCGGAACGTATTACCGCGCCATGGCTGATGCGCGAT  
TACTAGCGATTCMAGCTTCATAGAGTCGAGTTGCAGACTCCAATCCGAACTGAGACC GGCTTCGAGATTGCGATCACA  
TCGCTGTGTAGCTGCCCTCTGTACCGGCCATTGTATTACGTGTGGCCAAGACGTAAGGGCCGTGATGATTGACGTC  
ATCCCCACCTCCTCTACTTGCCTAGGCAGTCTCACTAGAGTCCTCAACTGAATGTTAGCAACTAGTGACAGGGGTTG  
CGCTCGTTGCAGGACTAACCTAACACCTCACGGCACGAGCTGACGACAACCATGCAGCACCTGAAAAATGTCCGAA  
GAAGGATCTATTCTAAATCTGTCAATTCCCATTAAAGTCTTGGTAAGGTTCTCGGTATCATCGAATTAAACCACATA  
ATCCACCGCTTGTGCGGGCCCCGTCAATTCTTGAGTTTATTCTTGCCTACGTAACGTTACCCCCAGGTGGCTAACTTATCA  
CTTCGCTTAGTCTCTGAATCCGAAAACCAAACGAGTTAGCATCGTTACGGCGTGGACTACCAGGGTATCTAATC  
CTGTTCGCTCCCCACGCTTGTCCATCAGCGTCAGTAAAACATAGTGACCTGCCTCGCAATTGGTGTCTAAGTAAT  
ATCTATGCATTCACCGCTACACTACTTATTCCAGCCACTTCTACTCAAGACCTGCAGTATCAATGGCAGTTCAT  
AGTTAAGCTATGAGATTTCACCACTGACTTACAGATCCGCCTACGGACCCTTAAACCCAAATAATCCGGATAACGCTT  
GCACCCCTCCGTATTACCGCGGCTGCTGGCACGGAGTTAGCCGGTGTCTATTCGTATAGTACCTTCAGCTACTCTCACGAG  
AGTAGGTTATCCCTATACAAAAGAAGTTACAACCCATAGGGCCGTCTCACGGGGATGGCTGGATCAGGCTC  
TCACCCATTGTCCAATATTCTCACTGCTGCCTCCGTAGGAGTCTGGTCCGTCTCAGTACCAAGTGTGGGGATCACC  
CTCTCAGGCCCCCTAAAGATCACTGACTTGGTAGGCCGTTACCCCTACCAACTATCTAATCTTGCCTCGTCCCCATCTCTAT  
CCACCGGAGTTCAATAATCAATGATGCCATCAATTATATTATGGGGTATTAATCTTCCCTTCGAAAGGCTATCCCCCT  
GATAAAGGTAGGTTG

ID: 6

*Chryseobacterium*

TCACCGACTTCAGGTACCCAGACTTCCATGGCTTGACGGGCGGTGTACAAGGCCCGGAACGTATTACCGCGCCA  
TGGCTGATGCGCGATTACTAGCGATTCCAGCTTCATAGAGTCGAGTTGCAGACTCCAATCCGAACTGAGACCAGCTTTC  
GAGATTGCTACGTACCGTGTAGCTGCCCTCTGTACTGCCATTGTATTACGTGTGGCCAAGGCGTAAGGGCC  
GTGATGATTGACGTACCCCCACCTCCTYCTACTTGCCTAGGCAGTCTCACTAGAGTCCCCAACTTAATGATGGCAA  
CTAGTGACAGGGTTGCCTCGTGCAGGACTTAACCTAACACCTCACGGCACGAGCTGACGACAACCATGCAGCACCT  
TGAAAAATGTCCGAAGAAAAGTCTATTCTAAACCTGTCAATTCCCATTAAAGCCTGGTAAGGTTCTCGGTATCATC  
GAATTAAACCACATAATCCACCGCTTGTGCGGGCCCCGTCAATTCTTGAGTTCTATTGCCTACGGCGTGGACTAC  
GTGGCTAACTTACACTTCGCTTAGTCTGTAAATCCGAAAATCCAAAAACGAGTTAGCATCGTTACGGCGTGGACTAC  
CAGGGTATCTAATCCTGTTCGCTCCCCACGCTTGTCCATCAGCGTCAGTTGCTTAGTAACCTGCCTTCGCAATTG

GTGTTCTAAGTAATATCTATGCATTCACCGCTACACTACTTATTCCAGCTACTTCAACAACACTCAAGACCTGCAGTAT  
CAATGGCAGTTCACAGTTAACGCTGTGAGATTCAACCACGTACAGATCCGCCTACGGACCCTTAAACCCAATAA  
ATCCGGATAACGCTTGACCCCTCCGTATTACCGCGGCTGCTGGCACGGAGTTAGCCGGTCTATTCTGATAGTACCTTC  
AGCTACCCTCACGAGAGTAGGTTATCCCTATACAAAAGAAGTTACAACCCATAGGGCAGTCGTCTCACGCCGGAT  
GGCTGGATCAGGCTCGCACCCATTGCCAATATCCTCACTGCTGCCTCCGTAGGAGTCTGGTCCGTCTCAGTACCA  
GTGTGGGGATCACCCCTCAGGCCCCCTAAAGATCGCAGACTGGTAGGCCATTCAACCAACTATCTAATCTTGC  
GCGTGCCCCTCTATCCACCGGAGTTCAATTAAAATGATGCCATTCAAATATTGGGGTATTAATCTCCTTCG  
AAAGGCTATCCCCGTATAAAGGCAGGTTGCACACGTGTTCCGCACCCGTACGCCGCTCTCAAGATCCGAAAGATCTC  
TA

ID: 98

*Chryseobacterium*

ACTTCAGGTACCCCAAACCTCCATGGCTTGACGGGCGGTGTACAAGGCCGGAACGTATTCACCGGCCATGGCTG  
ATGCGCGATTACTAGCGATTCCAGCTTCATAGAGTCGAGTTGCAGACTCCAATCCGAAC TGAGACCGGCTTCGAGATT  
CGCATCCTATCGCTAGGTAGCTGCCCTCTGTACCGGCCATTGTATTACGTGTGGCCCAAGGCGTAAGGGCGTGATG  
ATTGACGTCTACCCCCACCTTCCTCTACTTGCCTAGGCAGTCTCACTAGACTCCAACTGAATGATGGCAACTAGTG  
ACAGGGGTTGCCTCGTGCAGGACTAACCTAACACCTCACGGCACGAGCTGACGACAACCATGCAGCACCTGAAA  
ATTGTCCGAAGAAAAGTCTATTCTAAACCTGTCAATTCCATTAAAGCCTGGTAAGGTTCTCGGTATCATCGAATT  
AAACCACATAATCCACCGCTTGTGCAGGCCCCGTCAATTCTTGAGTTCAATTCTGCACGTAACGACTCCAGGTGGC  
TAACTTATCACTTCGCTTAGTCTCTGAATCCGAAAACCCAAAAACGAGTTAGCATCGTTACGGCGTGGACTACCAGG  
GTATCTAATCCTGTTCGCTCCACGCTTCGTCCATCAGCGTCAGTAAACATAGTGACCTGCCTCGCAATTGGTGT  
TCTAAGTAATATCTATGCATTCACCGCTACACTACTTATTCCAGCCACTCTACTCAAGACCTGCAGTATCAAT  
GGCAGTTCATAGTTAAGCTATGAGATTCAACACTGACTTACAGATCCGCCTACGGACCCTTAAACCCAATAATCC  
GGATAACGCTGCACCCCTCGTATTACCGCGGCTGCTGGCACGGAGTTAGCCGGTCTATTCTGATAGTACCTCAGCT  
TTCCACACGTGGAAAGGTTATCCCTATACAAAAGAAGTTACAACCCATAGGGCGTCTCCTCACGCCGGATGGCT  
GGATCAGGCTCTCACCCATTGTCCAATATTCTCACTGCTGCCTCCGTAGGAGTCTGGTCCGTCTCAGTACCAAGTGT  
GGGGGATCACCCCTCAGGCCCCCTAAAGATCACTGACTTGGTAGGCCGTTACCCCTACCAACTATCTAATCTGCGCGT  
GCCCATCTCTATCCACCGGAGTTCAATAAAAGTGTGCCACTCATTATATTGGGGTATTAATCTCCTTCGAAA  
GGCTATCCCCGTATAAAGGCAGGTTGCACACGTGTTCCGCACCCGTACGCCGCTCTCAAAGATCCGAAGATCTC

ID: 108

*Stenotrophomonas*

ACAAGGCCGGAACGTATTCACCGCAGCAATGCTGATCTGCATTACTAGCGATTCCGACTTCATGGAGTCGAGTTGC  
AGACTCCAATCCGGACTGAGATAGGGTTCTGGGATTGGCTGCCCTCGCGGGTTGCAGCCCTCTGCTCCCTACCATTGT

AGTACGTGTAGCCCTGGCGTAAGGCCATGATGACTGACGTATCCCCACCTCCTCCGGTTGTCACCGGGCGTC  
TCCTTAGAGTCCCACCATTACGTGCTGGCAACTAAGGACAAGGGTGGCTCGTGCAGGACTTAACCCAACATCTCA  
CGACACGAGCTGACGACAGCCATGCAGCACCTGTGAGTCCGAAGGCACCAATCCATCTGGAAAGTCTCGA  
CATGTCAAGACCAGGTAAGGTTCTCGCGTTGCATCGAATTAAACCACATACTCCACCGCTTGCGGGCCCCGTCAA  
TTCCTTGAGTTCAGTCTGCGACCGTACTCCCCAGGGCGGAACCTAACGCAGTAGCTCGATACTGCGTGC  
GCACCCAACATCCAGTCGCATCGTTAGGGCGTGGACTACCAGGGTATCTAACCTGTTGCTCCCCACGCTTCGTGC  
CTCAGTGTAGTGGTCCAGGTAGCTGCCATGGATGTTCCCGATCTACGCATTCACTGCTACACCG  
GGAATTCCACTACCCTTACACACTCTAGTCGCCAGTATCCACTGCAATTCCAGGGTGGAGCCAGGGCTTCACAAC  
AGACTTAAACAACCACCTACGCACGCTTACGCCAGTAATTCCGAGTAACGCTGCAACCTCGTATTACCGCGGCTG  
CTGGCACGAAGTTAGCCGGTGTATTCTTGGGTACCGTCAGAACACACCGGATTAGCCGACTGCTTTCTTCCAA  
CAAAAGGGCTTACAACCGAACGCCCTTACCCACCGGTATGGCTGGATCAGGCTTGC  
CCCCACTGCTGCCCTCCCGTAGGAGTCTGGACCAGTCTCAGTCCAGTGTGGCTGATCATCCTCTCAGACCAGCTACGGA  
TCGTCGCCCTGGTGGCCTTACCCGCCACTAGCTAACCGACATCGGCTCATCTACCGCGAACGGCCGAAGGTC  
CCCTGCTTCACCCGAAGGTCGTATCGGTATTAGCGTAAGTTCCCTACGTTACCCCCACGAAAAGGTAGATTCCGAT  
GTATTCCCTACCCGTCCGCCACTGCCACCCATAAGAGCAAGCTTACTGCTGCCGTTGACTGCA

ID: 111

*Chryseobacterium*

ACTTCAGGTACCCAGACTTCCATGGCTTGACGGCGGTGTACAAGGCCGGAACGTATTACCGCGCCATGGCTG  
ATGCGCGATTACTAGCGATTCCAGCTTCATAGAGTCGAGTTGCAGACTCCAATCCGAACTGAGACCAGCTTCGAGATT  
TGCATCACGTACCCTGTAGCTGCCCTCTGTACTGCCATTGTATTACGTGTGGCCCAAGGCGTAAGGGCGTGATG  
ATTGACGTACCCCCACCTTCCTCTACTTGCAGTGGCAGTCTCACTAGAGTCCCCAACTTAATGATGGCAACTAGTG  
ACAGGGGTGCCTCGTTGCAGGACTAACCTAACACCTCACGGCACGAGCTGACGACAACCATGCAGCACCTGAAA  
AATGTCCGAAGAAAAGTCTATTCTAAACCTGTCAATTCCATTAAAGCCTGGTAAGGTTCTCGGTATCATCGAATT  
AAACACATAATCCACCGCTTGCAGGGCCCCGTCAATTCTTGAGTTCTCGAACGTACTCCCCAGGTGGC  
TAACTTATCACTTCGCTTAGTCTCTGAATCCAAAATCCAAAACGAGTTAGCATCGTTACGGCGTGGACTACCAGG  
GTATCTAATCCTGTTCGCTCCACGCTTCTCGCATCAGCGTCAGTTGCTTAGTAACCTGCCCTCGCAATTGGTGT  
CTAAGTAATATCTATGCATTCCACCGCTACACTACTTATTCCAGCTACTTCAACAAACACTCAAGACCTGCAGTATCAATG  
GCAGTTCACAGTTAACGCTGTGAGATTCAACCACTGACTTACAGATCCGCCTACGGACCCCTAAACCCAATAATCCG  
GATAACGCTTGCACCCCTCCGTATTACCGCGGCTGCTGGCACGGAGTTAGCCGGTGTATTCTGTATAGTACCTTCAGCTA  
CCCTCACGAGAGTAGGTTATCCCTATACAAAAGAAGTTACAACCCATAGGGCAGTCGTCTCAGCGGGATGGCTG  
GATCAGGCTCGACCCATTGTCCAATATTCCCTACTGCTGCCTCCCGTAGGARTCTGGTCCGTGTCTCAGTACCAAGTGTG  
GGGATCACCCTCTCAGGCCCCCTAAAGATCGCAGACTGGTAGCCGTTACCTCACCAACTATCTAACATTGCGCGTG  
CCCATCTCTATCCACCAAGAGTTCAATTAAAATGATGCCATTCTAAATATTGGGGTATTAATCTCCTTCGAAAG

GCTATCCCCCTGATAAAGGCAGGTTGCACACGTGTTCCGCACCCGTACGCCGCTCTCAAGATCCGAAAGATCTCTAC  
CGCTCGGCTGCA

ID: 114

*Chryseobacterium*

ACCCCAAACCTCCATGGCTTGACGGGCGGTGTACAAGGCCCCGGAACGTATTCACCGCGCCATGGCTGATGCGCGAT  
TACTAGCGATTCCAGCTTCATAGAGTCGAGTTGCAGACTCCAATCCGAACGTGAGACC GGCTTCGAGATTGCATCTTAT  
CACTAAGTAGCTGCCCTCTGTACCGGCCATTGTATTACGTGTGGCCAAGGGCGTAAGGGCCGTGATGATTGACGTC  
ATCCCCACCTCCTCTACTTGCCTAGGCAGTCTCACTAGAGTCCCCAACTGAATGATGGCAACTAGTGACAGGGGTT  
GCTCGTTGCAGGACTTAACCTAACACCTCACGGCACGAGCTGACGACAACCATGCAGCACCTGAAAATTGTCCGAAGA  
AAAGTCTATTCTAAACCTGTCAATTCCCATTAAAGCCTGGTAAGGTTCTCGCGTATCATCGAATTAAACCACATAAT  
CCACCGCTTGTGCGGGCCCCGTCAATTCTTGTAGTTCAATTCTTGCAGACTCCCAAGGTGGCTAACATTATCACT  
TTCGCTTAGTCTCTGAACCCGAAAGCCCCAAAACGAGTTAGCATCGTTACGGCGTGGACTACCAGGGTATCTAATCCT  
GTTCGCTCCCCACGCTTCGTCCATCAGCGTCAGTAAAACATAGTGACCTGCCTCGCAATTGGTGTCTAAGTAATAT  
CTATGCATTCACCGCTACACTACTTATTCCAGCCACTTCTACTTACTCAAGACCTGCAGTATCAATGGCAGTTTCATA  
GTTAAGCTATGAGATTCAACCCTGACTTACAGATCCGCCAACGGACCCTTAAACCCAAATAACCGGATAACGCTG  
CACCCCTCCGTATTACCGCGCTGCTGGCACGGAGTTAGCCGGTGTATTCAACTGTACCTCAGCTACTCTCACGAGA  
GTAGGTTTATCCCAGTATAAAAGAAGTTACAATCCATAGAACCGTCGCTTCACGCCGGATGGCTGGATCAGGCTCT  
CACCCATTGTCCAATATTCTCACTGCTGCCTCCCGTAGGAGTCTGGTCCGTGTCAGTACCAACTGTGGGGGATCACCC  
TCTCAGGGCCCCCTAAAGATCACTGACTTGGTAGGCCGTACCCCTACCAACTATCTAATCTGCGCGTCCCCATCTCTATC  
CACCGGAGTTTCAATACCAACTGATGCCAGTCAATATATTATGGGGTATTAAATCTCCTTCGAAAGGCTATCCCCCTG  
ATAAAGGCAGGTTGCACACGTGTTCCGCACCCGTACGCCGCTCTCTGTCCCCGAAAGACAAAT

ID: 133

*Chryseobacterium*

ACCCCAGACTCCATGGCTTGACGGGCGGTGTACAAGGCCCCGGAACGTATTCACCGCGCCATGGCTGATGCGCGAT  
TACTAGCGATTCCAGCTTCATAGAGTCGAGTTGCAGACTCCAATCCGAACGTGAGACC GGCTTCGAGATTGCATCACA  
TCGCTGTGTAGCTGCCCTCTGTACCGGCCATTGTATTACGTGTGGCCAAGACGTAAGGGCCGTGATGATTGACGTC  
ATCCCCACCTCCTCTACTTGCCTAGGCAGTCTCACTAGAGTCTCAACTGAATGTTAGCAACTAGTGACAGGGGTT  
CGCTCGTTGCAGGACTTAACCTAACACCTCACGGCACGAGCTGACGACAACCATGCAGCACCTGAAAAATGTCCGAA  
GAAGGATCTATTCTAAATCTGTCAATTCCCATTAAAGTCTGGTAAGGTTCTCGCGTATCATCGAATTAAACCACATA  
ATCCACCGCTTGTGCGGGCCCCGTCAATTCTTGAGTTCAATTCTGCGAACGTACTCCCCAGGTGGCTAACTTATCA  
CTTCGCTTAGTCTCTGAATCCGAAGACCCAAAACGAGTTAGCATCGTTACGGCGTGGACTACCAGGGTATCTAATC  
CTGTTCGCTCCCCACGCTTCGTCCATCAGCGTCAGTAAAACATAGTGACCTGCCTCGCAATTGGTGTCTAAGTAAT

ATCTATGCATTCACCGCTACACTACTTATTCCAGCCACTTACTCAAGACCTGCAGTATCAATGGCAGTTCAT  
AGTTAAGCTATGAGATTCAACCCTGACTTACAGATCCGCCTACGGACCCTTAAACCCAATAATCCGGATAACGCTT  
GCACCCCTCCGTATTACCGCGGCTGCTGGCACGGAGTTAGCCGGTCTATTCTGATAGTACCTTCAGCTTCCACACGTG  
GAAAGGTTATCCCTATACAAAAGAAGTTACAACCCATAGGCCGTCCTCACGCCGGATGGCTGGATCAGGCTC  
TCACCCATTGTCCAATATTCCCTACTGCTGCCTCCCGTAGGAGTCTGGTCCGTCTCAGTACCAACTGTGGGGATCACC  
CTCTCAGGCCCTAAAGATCATTGACTTGGTAGGCCGTTACCCCTACCAACTATCTAATCTGCGCGTGCCCATCTCTAT  
CCACCGGAGTTCAATAAGCCAAGATGCCTGGTTATTAACTTCCTTCGAAAGGCTATCCCCCT  
GATAAAGGCAGGTTGCACACGTGTTCCGCACCGTGCGCCGCTCAAAGT

ID: 164

*Enterobacter sp*

GTAAAGCTACCTACTTCTTGCAACCCACTCCCAGGTGTGACGGGCGGTGTACAAGGCCGGAACGTATTCA  
GTAGCATTCTGATCTACGATTACTAGCGATTCCGACTTCATGGAGTCGAGTTGCAGACTCCAATCCGGACTACGACGTA  
CTTATGAGGTCCGCTTGCTCTCGAGGTGCTCTTGTATACGCCATTGTAGCACGTGTAGCCCTACTCGTAA  
GGGCCATGACTGACGTCACTCCCCACCTCCTCCAGTTATCACTGGCAGTCTCCTTGAGTTCCGGCGAACCGC  
TGGCAACAAAGGATAAGGGTTGCGCTCGTGGGACTTAACCCAACATTCAACAACACGAGCTGACGACAGCCATGC  
AGCACCTGTCTCACGGTCCCGAAGGCACTAAAGCATCTGCTAAATTCCGTGGATGTCAGAGTAGGTAAGGTTCTT  
CGCGTTGCATCGAATTAAACCACATGCTCCACCGCTTGCGGGCCCCGTCAATTGAGTTAACCTGCGGCC  
GTACTCCCCAGGCGGTGCACTAACGCGTTAGCTCCGGAAGCCACTCCTCAAGGGAACAAACCTCCAAGTCGACATCGTT  
TACGGCGTGGACTACCAGGTATCTAATCCTGTTGCTCCCCACGCTTCGCACCTGAGCGTCAGTCTTGTCCAGGGGG  
CCGYTCGCCACCGGTATCCCTCCAGATCTACGCATTCAACGCTTACACCTGGAATTCTACCCCCCTCTACAAGACT  
CTAGCCTGCCAGTTCGAATGCAGTTCCAGGTTGAGCCGGGATTTCACATCCGACTTGACAGACCGCCTGCGTGCG  
CTTACGCCAGTAATTCCGATTAACGCTTGACCCCTCCGATTACCGCGGCTGCTGGCACGGAGTTAGCCGGTGCTTCT  
TCTGCGAGTAACGTCAATCACTAACGTTATTAAACCTCAACGCCTCCTCGCTGAAAGTACTTACAACCGAACGGCC  
TTCTCATACACCGCGGATGGCTGCATCAGGCTGCGCCATTGTGCAATATTCCCCACTGCTGCCCTCCGTAGGAGTCT  
GGACCGTGTCTCAGTCCAGTGTGGCTGGTACCTCTCAGACCCAGCTAGGGATCGTCGCCAGGTGAGCCATTACCC  
ACCTACTAGCTAACCCATCTGGGCACATCTGATGGCAAGAGGCCGAAGGTCCCCCTTTGGTCTTGCACGTTATGC  
GGTATTAGCTACCGTTCCAGTAGTTATCCCCCTCCATCAGGCAGTTCCAGACATTACTCACCCGTCCGCCGCTCGTC  
ACCCGAGAGCAAGCTCTGTGCTACCGCTCGAC

ID: 208

*Flavobacterium*

GCACCCCCAGCTCCATGGCTTGACGGCGGTGTACAAGGCCGGAACGTATTACCGGATCATGGCTGATATCCG  
ATTACTAGCGATTCCAGCTCACGGAGTCGAGTTGCAGACTCCGACTCGAACATTGACCGGTTTATAGATTGCTCCTG

GTCGCCAGGGCTCTGTACCGGCCATTGTAGCACGTGTAGCCAAGGCATAAGGCCGTGATGATTGACG  
TCATCCCCACCTCCTCACAGTTGCACTGGCAGTCTGTAGAGTCCGACATGACTCGCTGGCAACTAACACAGGG  
GTTGCGCTCGTTAGGACTAACCTGACACCTCACGGCACGAGCTGACGACAACCATGCAGCACCTGTAATTGTCTT  
GCGAAAGATCTGTTCAAACCGGTCAAACACTACATTAGCCTGGTAAGGTTCCCGTATCATCGAATTAAACCAC  
ATGCTCCACCGCTTGTGGGGCCCCGTCATTCTGAGTTCACTTGCAGCAGTACTCCCCAGGTGGGATACTTA  
TCACCTTCGCTTAGCCACTGAAATTGCTCCAACAGCTAGTATCCATCGTTACGGCGTGGACTACCAGGGTATCTAATC  
CTGTTCGCTACCCACGCTTCGTCATCGTCAATCCATTAGTAGTAACCTGCCTCGCAATTGGTATTCCATGTAAT  
CTCTAACGATTCACCGCTACACTACATATTCTAGTTACTCCTAAAATTCAAGTTAGCAGTATCAATGGCGTCCAC  
CGTTGAGCGATGGGCTTCAACACTGACTTAAACCGCCTACGGACCCCTAAACCCAATGATTCCGGATAACGCTT  
GGATCCTCCGTATTACCGCGGCTGCTGGCACGGAGTTAGCGATCCTATTCTTACGATACCGTCAAGCTCCTCACGAA  
GGAGTGTCTTCTCGTACAAAGCAGTTACAATCCATAGGACCGTCATCCTGCACGCCATGGCTGGATCAGGCTT  
GCGCCCATTGTCCAATATTCCACTGCTGCCCTCGTAGGAGTCTGGTCCGTGTCAGTACCAAGTGTGGGGATCTCC  
CTCTCAGGACCCCTACCCATCGTAGCCTGGTAAGCCGTACCTACCAACTAGCTAATGGGACCGATGCTCATTTA  
CCGTTGTGACTTAATAGTATCTGATGCCAGTCACTATACTATGAGGTATTAATCCAAATTCTCTGGCTATCCCTC  
TGTAAAAGGTAGATTGCATACCGTTACGCACCCGTGCGCCGGTCTATATCCGAAGACA

ID: 214

*Comamonas*

GCTACCTACTTCTGGCGAGACCCGCTCCCATGGTGTGACGGGCCGTGTACAAGACCCGGAACGTATTACCGTGAC  
ATTCTGATCCACGATTACTAGCGATTCCGACTTCACGCAGTCGAGTTGCAGACTGCGATCCGGACTACGACTGGCTTTAT  
GGGATTAGCTCCCTCGCGGGTGGCAACCCCTTGTACCAAGCCATTGTATGACGTGTAGCCCCACCTATAAGGGCC  
ATGAGGACTTGACGTATCCCCACCTTCCCGGTTGTACCCGGCAGTCCATTAGAGTGCCTTCTCGTAGCAACTAAT  
GGCAAGGGTTGCCTCGTTGCCGGACTTAACCCAAACATCTCACGACACGAGCTGACGACAGCCATGCAGCACCTGTGTT  
ACGGTTCTTCTCGAGCACATGTCCATCTGGTCACTCCGTACATGTCACAGGTGGTAAGGTTTCTCGTTGCATC  
GAATTAAACACATCATCCACCGCTTGTGCCGGTCCCCGTCAATTCTTGAGTTCAACCTTGCAGGCCGTACTCCCCAG  
GCGGTCAACTCACCGTTAGCTCGTTACTGAGAAAGTTAATTCCAAACAACCAAGCTGACATGTTAGGGCGTGGAC  
TACCAGGGTATCTAATCCTGTTGCTCCCCACGCTTCTGCACTGAGCGTCAGTACAGGTCCAGGGGATTGCCTCGCCA  
TCGGTGTCCCTCCGCATATCTACGCATTCACTGCTACACGCGGAATTCCATCCCCCTCTACCGTACTCTAGCTATGCAG  
TCACAAAGGCCGTCCAGGTGAGCCGGGATTTCACCTCTGTCTTACATAACCGCCTGCGCACGCTTACGCCAGT  
AATTCCGATTAACGCTTGCACCCCTACGTATTACCGCGGCTGCTGGCACGTAGTTAGCCGGTCTTATTCTACGGTACCG  
TCATGGACCCCTTTATTAGAAAGAGTCTTCCGTACAAAAGTAGTTACAACCCAGGGCCTTCATCCTACACG  
CGGCATTGCTGGATCAGGCTTCCGCCCATTGTCCAAAATTCCCCACTGCTGCCCTCCGTAGGAGTCTGGCCGTGCTCA  
GTCCCCAGTGTGGCTGGTCGTCTCAGACCAGTACAGATCGTCGGCTGGTAAGCTTTATCCCACCAACTACCTAAT

CTGCCATCAGCCGCTCTAGTAGCGCAAGGCCGAAGGTCCCCTGCTTCATCCTTAGATCTCATGCGGTATTAGCTACTC  
TTTCGAGTAGTTATCCCCCACTACTAGGCACGTTCCGATGTGTTACTCACCGTCCACTCGTCAGCATCCGAAGACC

ID: 223

*Dermacoccus*

ACCGGCTCGGGTGTACCAACTTCGTGACTTGACGGGCGGTGTACAAGGCCGGAACGTATTCACCGCAGCACT  
GCTGATCTGCGATTACTAGCGACTCCAACCTCATGGGTCGAGTTGCAGACCCCAATCCGAACTGAGACCGGTTTAAG  
GGATTGCTCCACCTCACGGTATCGCAGCCCTCTGTACCGGCCATTGTAGCATGCGTAAGCCCAAGACATAAGGGCA  
TGATGATTGACGTCATCCCCACCTTCCGAGTTGACCCCGGCAGTCTCCATGAGTCCCCACCATTACGTGCTGGCA  
ACATGGAACGAGGGTTCGCTCGTGCAGGACTTAACCCAACATCTCACGACACGAGCTGACGACAACCATGCACCAC  
CTGTACACCAGCAAAGGCTGACCATCTCTGGCACATTCCGGTGTATGTCAAGCCTGGTAAGGTTCTCGCGTTGCA  
TCGAATTAAATCCGCATGCTCCGCCGCTTGTGCGGGCCCCGTCAATTCTTGAGTTTAGCCTTGCAGGCGTACTCCCC  
AGGCAGGGCGCTTAATGCGTAGCTCGGCACGGAACTCGTGAATGAGTCCCACACCTAGCGCCAACGTTACGGC  
ATGGACTACCAGGGTATCTAATCCTGTTGCTCCCCATGCTTCGCTTCAGCGTCAGTAATGGCCCAGAGACCTGCCT  
TCGCCATCGGTGTTCCCTCTGATATCTGCGCATTTCACCGCTACACCAGGAATTCCAGTCTCCCTACCATACTCTAGCC  
TGCCCGTACCCACTGCAGAACCGGAGTTAACGCCCCGGTCTTCACAGCAGACCGACAAACCGCCTACAAGCTCTTAC  
GCCCAATAATTCCGGACAACGCTCGCACCCACGTATTACCGCGGCTGCTGGCACGTAGTTAGCCGGTCTTCTTCCA  
GGTACCGTCACTTCGCTCGCCCTGGTGAAGAGGTTACAACCGAAGGCCTCATCCCTACGCGCGTCGCTGCA  
TCAGGCTTCGCCCATTGTGCAATATTCCCCACTGCTGCCTCCCGTAGGAGTCTGGGCCGTCTCAGTCCCAGTGTGGC  
CGGTACCCCTCTCAGGCCGGTACCCGTCAAAGCCTGGTGAAGCCACTACCTCACCAACAAGCTGATAGGCCCGAGTC  
CATCCTCACCAAAAAATCTTCCACACACGACCATGCGATCATGAATGAATATCCAGTATTAGACCTCGTTCCAAGG  
CTTATCCCAGAGTGAAGGGCAGGTTACTCACGTGTTACTCACCGTCCACTAATCCATCACAGCAAGCTGTGACTTC  
ATCGTTCGACTGC

ID: 238

*Aeromicrobium*

TAACGGTTAGGCCACTGGCTCGGGTGTGCCACTTCATGACGTGACGGGCGGTGTACAAGGCCGGAACGTAT  
TCACCGCAGCGTTGCTGATCTGCGATTACTAGCGACTCCGACTTCATGGGTCGAGTTGCAGACCCCAATCCGAACTGA  
GACCGGCTTTGGATTGCTCCACCTACAGTTGCGAGCCCTTGACCGGCCATTGTAGCATGCTTGAAGCCCTGG  
ACATAAGGGCATGAAGACTTGACGTACCCACCTTCCCGAGTTGACCCGGCAGTCTCCATGAGTCCCCACCA  
TAACGTGCTGGCAACATAGAACGAGGGTTCGCTCGTGCAGGACTTAACCCAACATCTCACGACACGAGCTGACGAC  
AGCCATGCACCAACCTGTATACCGACCAAAAGGGGCCACATCTGCAAGCTTCCGGTATATGTCAAACCCAGGTAAGG  
TTCTCGCGTTGCATCGAATTAAATCAGCATGCTCCGCCCTGTGCGGGCCCCGTCAATTCTTGAGTTAGCCTTGC  
GGCGTACTCCCCAGGCCGGCGTTAATGCGTTAGCTGCGGACGGAGACCGTGGAAAGGTCCCCACACCTAGCGCCC

AACGTTACGGCATGGACTACCAGGGTATCTAACCTGTTCGCTCCCCATGCTTCGCTCCTCAGCGTCAGGTAAATGCC  
AGAGAACCGCCTCGCCACC GGTTCTCGTATCTCGCATTCCACCGCTACACCAGGAATTCCGTTCTCCCCCTGC  
ATACCTCTAGTCTGCCGTATCGGAAGCAGCAGCTCAGGGTTGAGCCCTGAGTTCACTCCGACCGACAAACCGCCTA  
CGAGCCCTTACGCCAATAATTCCGGACAACGCTCGGACCCCTACGTATTACCGCGGCTGCTGGCACGTAGTTGCCGG  
TCCTTCTCTGCAGGTACCGTCACTCTCGCTTCGCTGAAAGAGGTTACAACCCGAAGGCCGTATCCCTCACG  
CGCGTTGCTGGATCAGGCTTCCGCCCATTGTCATATTCCCCACTGCTGCCTCCGTAAGGAGTCTGGCCGTGTCTCA  
GTCCCAGTGTGGCCGGTCACCCTCTCAGGCCGGTACCCGTCAATGCCTGGTGAGCCATTACCTCACCAACAAGCTGA  
TAGGCCGCGAGCTCATCCTCTCCGCCGGAGCTTCCACCTCAAACATGCGAAAGGAGGTATTCGGCATTAGCCA  
TCGTTCCAATGGTTATTCAAAGAGAAGGGCAGATTGCTCACGTGTTACTCACCGTTCGCCGCTCGTACCCCGAA

244

*Variovorax*

CTACTTCTGGCAGAACCGCTCCATGGTGTGACGGGCGGTGTTACAAGACCCGGAACGTATTACCGTGACATTCT  
GATCCACGATTACTAGCGATTCCGACTTCACGCAGTCAGTTGAGACTGCGATCCGGACTACGACTGGTTATGGGA  
TTAGCTCCCCCTCGGGTTGGCAACCCATTGTACCAAGGCCATTGTATGACGTGTTAGCCCCACCTATAAGGGCCATGAG  
GACTTGACGTCACTCCCCACCTTCCCGGTTATCACCGGCACTCTCACTAGAGTGCCAACTAAATGTAGCAACTAATG  
ACAAGGGTTGCCTCGTGCAGGACTTAACCCAAACATCTCACGACACGAGCTGACGACAGCCATGCAGCACCTGTGTTA  
CGGTTCTTTGAGCACTAACCGATCTCTGGGAATTCCGTACATGTCAAAGGTGGTAAGGTTTCGCGTTGCATCG  
AATTAAACCACATYATCCACCGCTTGTGCAGGACTCCCGTCAATTCTTGAGTTCAACCTTGCAGGCCGTACTCCCCAGG  
CGGTCAACTTCACCGTTAGCTCGTTACTGAGAAAGTGAATTCCAACAACCAGTTGACATCGTTAGGGCGTGGACT  
ACCAGGGTATCTAACCTGTTGCTCCCCACGCTTCGTCATGAGCGTCAGTACAGGTCAGGGGATTGCCTCGCCAT  
CGGTGTTCCCTCCGCATATCTACGCAATTCACTGCTACACGCCGAATTCCATCCCCCTYTACCGTACTCTAGCTATAAGT  
CACAGATGCAGTCCCAGGTTGAGCCCCGGGATTCAAAACTGTCTTATATAACCGCCTGCGCACGCTTACGCCAGT  
AATTCCGATTAACGCTCGCACCTACGTATTACCGCGGTGCTGGCACGTAGTTAGCCGGTGCTTATTCTACGGTACCG  
TCATGGGCCCCTGTATTAGAAAGGACCTTTCGTCCGTACAAAAGCAGTTACAACCCGAAGGCCCTCATCCTGCACG  
CGGCATTGCTGGATCAGGCTTGCAGGCCATTGTCAAATCCCCACTGCTGCCTCCGTAAGGAGTCTGGACCGTGTCTCA  
GTTCCAGTGTGGCTGGTCTCGTCTCTCAGACCAGCTACAGATCGCAGGCTGGTGAGCCTTACCTCACCAACTACCTAAT  
CTGCCATCGGCCGCTCCACTCGCGCGAGGTCTCGATCCCCGCTTCACTCGTAGATCTTATGCGGTATTAGCACAGC  
TTTCGCTGCCTATCCCCACGATTGGGCACGTTCCGATGTATTACTCACCGTTCGCCACTCGTCAGCATC

ID: 259

*Stenotrophomonas*

GCTACCTGCTTCTGGTGCAACAAACTCCATGGTGTGACGGGCGGTGTTACAAGGCCGGAACGTATTACCGCAGC  
AATGCTGATCTGCGATTACTAGCGATTCCGACTTCATGGAGTCAGTTGAGACTCCAATCCGGACTGAGATAGGGTTT

CTGGGATTGGCTGCCCTCGCGGGTTGCAGCCCTGTCCCTACCATTGTAGTACGTGTAGCCCTGGTCGAAGGGC  
CATGATGACTTGACGTACCCCCACCTTCCCGGTTGTCACCGCGGTCTCCTAGAGTCCCACCATACGTGCTGG  
CAACTAAGGACAAGGGTTGCGCTCGTGCAGGGACTTAACCCAACATCTCACGACAGAGTGACGACAGCCATGCAGCAC  
CTGTGTCGAGTTCCGAAGGCACCAATCCATCTGGAAAGTTCTGACATGTCAAGACCAGGTAAGGTTCTCGCGTT  
GCATCGAATTAAACCACATACTCCACCGCTTGTGCGGGCCCCGTCAATTCCCTTGAGTTTAGCTTGCACCGTACTC  
CCCAGGGCGGAACTTAACGCGTTAGCTCGATACTGCGTGCACCAATTGCACCCAAACATCCAGTTCGCATCGTTAGGG  
CGTGGACTACCAGGGTATCTAACCTGTTGCTCCCCACGCTTCGTGCCTCAGTGTAGTGGTCCAGGTAGCTGCC  
TTCGCCATGGATGTTCCCGATCTACGCATTCACTGCTACACCAGGAATTCCACTACCCCTACCAACACTCTAGT  
CGCCCAGTATCCACTGCAATTCCCAGGGTGGAGCCCAGGGCTTCACAACAGACTAAACAACCACCTACGCACGCTTA  
CGCCCAGTAATTCCGAGTAACGCTTGACCCCTCGTATTACCGCGGCTGCTGGCACGAAGTTAGCCGGTCTATTCTT  
GGGTACCGTCAGAACAAACCGGGTATTAGCCGACTGCTTCTTCCAAACAAAAGGGCTTACAACCCGAAGGCCTCT  
TCACCCACGCGGTATGGCTGGATCAGGCTTGCGCCATTGTCACATTCCTCACTGCTGCCTCCGTAGGAGTCTGGAC  
CGTGTCTCAGTCCAGTGTGGCTGATCATCCTCTCAGACCAAGCTACGGATCGTCGCCTGGTGGCCTTACCCGCCAA  
CTAGCTAATCCGACATCGGCTCATCTATCCGCGAACGGCCGAAGGTCCCCTGTTCACCCGAAGGTGATGCGGTA  
TTAGCGTAAGTTCCCTACGTTATCCCCACGAAAAGGTAGATTCCGATGTATTCCCTACCCGTCCGCCACTGCCACCC  
ATAAGAGCAA

ID: 284

*Variovorax*

CTACTTCTGGCAGAACCCGCTCCCATGGTGTGACGGGGGGTGTGTACAAGACCCGGAACGTATTACCGTGACATTCT  
GATCCACGATTACTAGCGATTCCGACTTCACGCAGTCGAGTTGCAAGACTCGATCCGGACTACGACTGGTTTATGGGA  
TTAGCTCCCCCTCGCGGGTTGGCAACCCCTTGTACCAAGGCCATTGTATGACGTGTAGCCCCACCTATAAGGGCCATGAG  
GAATTGACGTACCCCCACCTTCCGTTGTCACCGGCAGTCTCATTAGAGTGCACCAACTGAATGTAGCAACTAATG  
ACAAGGGTTGCCTCGTGCAGGACTTAACCCAAACATCTCACGACACGAGCTGACGACAGCCATGCAGCACCTGTGTTA  
CGGTTCTTTGAGCACTAACCGATCTCTGGCGAATTCCGTACATGTCAAAGGTGGTAAGGTTTTCGCGTTGCATCG  
AATTAAACACATCATCCACCGCTTGTGCGGGTCCCCGTCAATTCTTGAGTTCAACCTGCGGCCGTACTCCCCAGG  
CGGTCAACTCACCGCTTAGCTCGTTACTGAGTCAGTGAAGACCCAAACAACCAAGGTGACATCGTTAGGGCGTGGACT  
ACCAGGGTATCTAATCCTGTTGCTCCCCACGCTTCTGCACTGAGCGTCAGTACAGGCCAGGGGATTGCCTTCGCCAT  
CGGTGTTCCCGCATATCTACGCATTCACTGCTACACGCCGAATTCCATCCCCCTGCGTACTCCAGCGATGCAGT  
CACAGATGCAGTCCCAGGGTTGAGCCCCGGGATTTCACAACCTGCTTACATCACCGCCTGCGCACGCTTACGCCAGT  
AATTCCGATTAACGCTTGCACCCACGTATTACCGCGGCTGCTGGCACGTAGTTAGCCGGTGTATTCTACGGTACCG  
TCATTAGCCTCTTATTAGAAAAGACCGTTGCTCCGTACAAAAGCAGTTACAACCCGAAGGCCTTCATCCTGCACG  
CGGCATGGCTGGATCAGGCTTCCGCCATTGTCAAACCAACTGCTGCCTCCGTAGGAGTCTGGGCCGTCTCA  
GTCCCCAGTGTGGCTGGTCGTCCCTCAGACCAGCTACAGATCGAAGGCTTACCAACTACCTAAT

CTGCCATCGGCCGCTCCATT CGCGCAAGGTCTT GCGATCCCCTGCTTCATCCGTAGATCGTATGCGGTATTAGCACAGC  
TTTCGCTCGTTATCCCCCACGATTGGGCACGTTCCGATGTATTACTCACCGTTCGCCACTCGCCGCCAGGATTGCTC

ID: 292

*Citrobacter*

GAAGGTTAACCTACTTCTTGCAACCCACTCCCATGGTGTGACGGGCGGTGTACAAGGCCGGAACGTATT  
CACCGTGGCATTCTGATCCACGATTACTAGCGATTCCGACTTCACGGAGTCGAGTTGCAGACTCCGATCCGGACTACGA  
CATACTTATGAGGTCCGCTGCTCTCGAGGTCGCTTGTATGCCATTGTAGCACGTGTAGCCCTACTCG  
TAAGGGCCATGATGACTGACGTCACTCCCCACCTCCTCCAGTTATCAGTGGCAGTCTCCTTGAGTTCCGGCGAAC  
CGCTGGCAACAAAGGATAAGGGTTGCGCTCGTGCAGGACTTAACCCAACATTACAACACAGACTGACGACAGCCA  
TGCAGCACCTGTCAGAGTCCGAAGGCACCAAAGCATTCTGCTAAGTTCTGGATGTCAAGAGTAGGTAAGGTT  
CTTCGCGTTGCATCGAATTAAACCACATGCTCCACCCTGCTGTGCGGGCCCCCGTCAATTCAATTGAGTTAACCTTGCG  
GCCGTACTCCCCAGGCAGTCGACTTAACCGTTAGCTCCGAAGCCACTCCTCAAGGAAACAACCTCAAGTCGACATC  
GTTTACAGCGTGGACTACCAGGGTATCTAATCCTGTTGCTCCCCACGCTTCGACCTGAGCGTCAGTCTTGCCAGG  
GGGCGCCTCGCCACCGGTATTCCCTCCAGATCTACGCATTCAACCGCTACACCTGGAATTCTACCCCCCTACAAG  
ACTCTAGCCTGCCAGTTGGATGCAGTTCCAGGGTGGAGCCCCGGGATTCACATCCGACTTGACAGACCGCCTGCGT  
GCGCTTACGCCAGTAATTCCGATTACGCTTGACCCCTCCGATTACCGCGGCTGCTGGCACGGAGTTAGCCGGTGC  
TCTTCTGCGAGTAACGTCAATCGYCAAGGTTATTAAACCTTAACGCCCTCCTCGCTGAAAGTACTTACAACCGAAG  
GCCTTCTTCATACACGCCGATGGCTGCATCAGGCTTGCAGGCTTGCCTGCAATTGCAATATTCCCCACTGCTGCCTCCG  
TCTGGACCGTGTCTCAGTCCAGTGTGGCTGGTCATCCTCTCAGACCAGCTAGGGATCGCCTAGGTGAGCCATTACC  
TCACCTACTAGCTAATCCCACCTGGGACATCTGATGGCATGAGGCCGAAGGTCCCCACTTGGTCTTGCACGTTAT  
GCGGTATTAGCTACCGTTCCAGTAGTTATCCCCCTCCATCAGGCAGTTCCCAGACATTACTCACCGTCCGCCGCTCG  
TCACCCAAAGAGCAAGCTTCTGCTACCGCTCGAC

ID: 300

*Vogesella*

CACTCCCATGGTGTGACGGGCGGTGTACAAGGCCGGAACGTATT CACCGCAGCATGCTGATCTGCGATTACTAGC  
GATTCCGACTTCATGCACTCGAGTTGCAAGGTGCAATCCGGACTACGATCGGTTTATGAGATTAGCTCCACCTCGCG  
CTTCGCAACCCTCTGTACCGACCATTGTATGACGTGTGAAGCCCTAGCCATAAGGCCATGAGGACTTGACGT  
CACCTTCTCCGGTTGTCACCAGGCTCCATTAGAGTGCCTAACTTAATGCTGGCAACTAATGGCAAGGGTTGCGCTC  
GTTGGGGACTTAACCCACATCTCACGACACGAGCTGACGACAGCCATGCAGCACCTGTCAGATTCCCTTCGGG  
CACCCCTACCTTCAGCAGGGTTCCGTGGCATGTCAGGCTAGGTAAAGGTTTCGCGTTGCATCGAATTAAATCCAMATC  
ATCCACCGCTTGTGCGGGCCCCGTCAATTGAGTTAACCTTGCAGGCGTACTCCCCAGGCCGCTCAATT  
TCACCGCTWAGCTACGCTACCAAGGATTCTAACCCCCAACAGCTAATTGACATCGTTAGGGCGTGGACTACCAGGGTA

TCTAATCCTGTTGCTCCCCACGCTTCGTGCATGAGCGTCAGTATCATCCCAGGGGGCTGCCATCGGTGTTCC  
TCCACATCTACGCATTCACTGCTACACGTGGAATTCCACCCCCCTGACGTACTCTAGCTGACAGTTCAAACGC  
AGTTCCCAGGTTAACGCCGGGATTTCACATCTGACTTATCAAACCGCCTGCGCACGCTTACGCCAGTAATTCCGATT  
AACGCTTGCACCCCTACGTATTACCGCGCTGCTGGCACGTAGTTAGCCGGTCTTATTCTCCAGTACTGTCATCCCTAC  
AACGTATTAAGTCGTAGGCTTCCCGAACAAAGAGCTTACAACCGAAGGCCTCTTCACTCACCGGGCATGGC  
TGGATCAGGCTTGCGCCATTGTCCAAAATTCCCCACTGCTGCCTCCCGTAGGAGTCTGGGCCGTCTCAGTCCCAGTG  
TGGCTGATCATCCTCTCAGACCAGCTACTGATCGTCGCCTGGTGAGCCTTACCCCACCAACTAGCTAATCAGACGTCG  
GCCGCTCGAATAACCGAGGCCAACAGGTCCCCGCTTCCTCCTCAGAGCGTATGCGGTATTAGCACACCTTCGATG  
CGTTATCCCCATTACTCGGCACGTTCCGACGCATTACTCACCGTTGCCACTCGCCACCAGGCCAACGCC

ID: 310

*Microbacterium*

GTTACCGACTTCATGACTTGACGGGCGGTGTACAAGACCCGGAACGTATTACCGCAGCGTTGCTGATCTGCGAT  
TAATAGCGACTCCGACTTCATGAGGTGAGTTGACGACTCAATCCGAACCTGGGACCGGCTTTGGGATTGCTCCAC  
CTCGCGGTATTGCAGCCCTTGTACCGGCCATTGTAGCATGCGTAAGGCCAACAGACATAAGGGGCATGATGATTGACG  
TCATCCCCACCTCCTCCGAGTTGACCCGGCAGTATCCCCTGAGTTCCACATTACGTGCTGGCAACATAGAACGAG  
GGTTGCGCTCGTGCAGGGACTTAACCCAACATCTCACGACACGAGCTGACGACAACCATTGCACCACCTGTTACGAGTG  
TCCAAAGAGTTGACCATTCTGGCCCGTTCTCGTATATGTCAGCCTGGTAAGGTTCTCGCGTTGATCGAATTAACT  
CGCATGCTCCGCCGCTTGTGCGGGTCCCCGTCAATTCTTGAGTTAGCCTTGCAGGCCGTACTCCCCAGGCCGGGAAAC  
TTAATGCGTTAGCTGCGTCACGGAATCCGTGGAATGGACCCACAACTAGTTCCAACGTTACGGGGTGGACTACCAG  
GGTATCTAAGCCTGTTGCTCCCCACCCCTTCGCTCCTCAGCGTCAGTTACGGCCAGAGATCTGCCTCGCCATCGGTG  
TTCCTCCTGATATCTGCGCATTCCACCGCTACACCAGGAATTCCAATCTCCCCTACCGCACTCTAGTCTGCCCGTACCCA  
CTGCAGGCCGAGGGTGGACCTCGGGATTTCACAGCAGACGCGACAAACCGCCTACGAGCTTTACGCCAATAATT  
CGGATAACGCTTGCCTACGTATTACCGCGCTGCTGGCACGTAGTTAGCCGGCGCTTCTGAGGTACCGTCACT  
TTCGCTTCTCCCTGCTAAAGAGGTTACAACCGAACGCCGTACCCCTACCGCGCGTTGCTGCATCAGGCTCCGC  
CCATTGTGCAATTCCCCACTGCTGCCCTCCGTAGGAGTCTGGGCCGTCTCAGTCCAGTGTGGCCGGTCACCCCT  
CAGGCCGGCTACCGTCACGCCCTGGTAGGCCATTACCTACCAACAAGCTGATAGGCCGCGAGCCCACCCAAACCG  
AAAAATTTCCAAACGCAGACCATGCGTCACGTACATCCAGTATTAGACGCCGTTCCAGCGCTATCCCAGAG  
TCAGGGGCAGGTTGCTACGTGTTACTCACCGTTGCCACTGATCCCACAGAGCAAGCT

ID: 311

*Microbacterium*

ACCGACTTCATGACTTGACGGGCGGTGTACAAGACCCGGAACGTATTACCGCAGCGTTGCTGATCTGCGATTAC  
TAGCGACTCCGACTTCATGAGGTGAGTTGACGACTCAATCCGAACCTGGGACCGGCTTTGGGATTGCTCCACCTC

GCGGTATTGCAGCCTTGTACCGGCCATTGTAGCATGCGTAAGCCAAAGACATAAGGGCATGATGATTGACGTCA  
TCCCCACCTCCTCCGAGTTGACCCCAGTATCCCATTACGTGCTGGCAACATAGAACGAGGGT  
TGCCTCGTGGGGACTTAACCCAACATCTCACGACACGAGCTGACGACAACCATTACGACCCACCTGTTACGAGTGTCC  
AAAGAGTTGACCATTCTGGCCCGTTCTGTATATGTCAAGCCTGGTAAGGTTCTCGCGTTGCATCGAATTAAATCCGC  
ATGCTCCGCCGCTTGTGCGGGTCCCCGTCAATTCTTGAGTTAGCCTGCGGCCGTACTCCCCAGGCCGGAAACTTA  
ATGCGTTAGCTGCGTCACGGAATCCGTGGAATGGACCCCACAACACTAGTCCCAACGTTACGGGGTGGACTACCAGGGT  
ATCTAAGCCTGTTGCTCCCCACCCCTTCGCTCCTCAGCGTCAGTTACGCCAGAGATCTGCCTCGCCATCGGTGTT  
CTCCTGATATCTGCGCATTCCACCGCTACACCAGGAATTCCAATCTCCCTACCGCACTTAGTCTGCCGTACCCACTG  
CAGGCCCGAGGTTGAGCCTCGGGATTTACAGCAGACCGACAAACCGCCTACGAGCTTACGCCAATAATTCCGG  
ATAACGCTTGCGCCCTACGTATTACCGCGGCTGCTGGCACGTAGTTAGCCGGCTTTCTGCAGGTACCGTCACTTC  
GCTTCTCCCTGCTAAAAGAGGTTACAACCCGAAGGCCGTACCCCTACGCCGTTGCTGCATCAGGCTCCGCCA  
TTGTGCAATATTCCCCACTGCTGCCCTCCGTAGGAGTCTGGCCGTGCTCAGTCCCAGTGTGGCCGGTACCCCTCTCAG  
GCCGGCTACCCGTCGACGCCCTGGTGAGCCATTACCTACCAACAAGCTGATAGGCCGAGCCCATTCCCAACCGAAA  
AATCTTCCAAACGCAGACCATGCGGTACGTACATATCCAGTATTAGACGCCGTTCCAGCGCTATCCCAGAGTCA  
GGGCAGGTTGCTCACGTGTTACTCACCGTTGCCACTGATCCCACAGAGCAAGC

ID: 313

*Serratia*

AAGCTACCTACTCTTTGCAACCCACTCCCATTGGTGTGACGGCGGTGTGACAAGGCCGGAACGTATTACCGTA  
GCATTCTGATCTACGATTACTAGCGATTCCGACTTCACGGAGTCGAGTTGCGACTCCGATCCGACTACGACGTACTTT  
ATGAGGTCCGCTGCTCGAGTTGCTCTTGTATACGCCATTGAGTCACGTGTGAGCCCTACTCGTAAGGGC  
CATGATGACTTGACGTACATCCCCACCTCCTCCGGTTATCACCAGCAGTCTCCTTGAGTTCCCACCATTACGTGCTGG  
CAACAAAGGATAAGGTTGCGCTCGTGGGACTTAACCCAAACATTCAACACAGAGCTGACGACAGCCATGCAGC  
ACCTGTCTCAGAGTCCCGAAGGCACTAAGCTATCTCTAGCGAATTCTCTGGATGTCAAGAGTAGGTAAGGTTCTCGC  
GTTGCATCGAATTAAACCACATGCTCCACCGCTTGTGCGGGCCCCGTCAATTGAGTTAACCTGCGGCCGTA  
CTCCCCAGGCCGTCGACTTAACCGTTAGCTCCGAAGCCACGCCAAGGGACAACCTCAAGTCGACATCGTTAC  
AGCGTGGACTACCAGGGTATCTAATCCTGTTGCTCCCACGCTTGCACCTGAGCGTCAGTCTYGTCCAGGGGGCCG  
CYTTGCCACCAGGTATTCCCTCCAGATCTCTACGCATTACCGCTACACCTGGAATTCTACCCCTCTACAAGACTCTA  
GCTTGCCAGTTCAAATGCAGTCCCACGTTAAGCGCGGGATTACATCTGACTTAACAAACGCCCTGCGCTTCT  
ACGCCAGTAATTCCGATTAACGCTTGCACCCCTCCGTATTACCGCGGTGCTGGCACGGARTTAGCCGGTCTTCTCG  
CGAGTAACGTCAATGCACAGTGTATTAAACACTGAACCCCTCCCTCGCTGAAAGTGTGTTACAACCCGAAGGCCCTCT  
TCACACACGCCGATGGCTGCATCAGGCTTGCCTGGGACTTGTGCAATATTCCCCACTGCTGCCCTCCGTAGGAGTCTGGA  
CCGTGTCTCAGTCCAGTGTGGCTGGTACCTCTCAGACCAAGCTAGGGATCGCCTAGGTGAGCCATTACCCACCT  
ACTAGCTAATCCCATTGGGCACATCTGATGGCATGAGGCCGAAGGTCCCCACTTGGTCCGTAGACGTTATGCGGT

ATTAGCTACCGTTCCAGTAGTTATCCCCCTCCATCAGGCAGTTCCCAGACATTACTCACCCGTCCGCCGCTCGTC  
ACCCAGGAGCA

ID: 420

*Enterobacter*

TACTTCTTTGCAACCCACTCCCATGGTGTGACGGGCGGTGTGTACAAGGCCCCGGAACGTATTCACCGTAGCATTCTG  
ATCTACGATTACTAGCGATTCCGACTTCACGGAGTCGAGTTGCAGACTCCGATCCGGACTACGACATACTTGTGAGGT  
CCGCTTGCCTCGCGAGGTCGCTCTCTTGTATATGCCATTGTAGCACGTGTAGCCCTACTCGTAAGGGCCATGATG  
ACTTGACGTCATCCCCACCTTCCAGTTATCACTGGCAGTCTCCTTGAGTTCCCGGCCAACCGCTGGCAACAAAG  
GATAAGGGTTGCCTCGTGCAGGACTTAACCCAACATTCACAAACACGAGCTGACGACAGCCATGCAGCACCTGTCTC  
AGAGTTCCCGAAGGCACCAAAGCATCTGTCAAGTTCTCTGGATGTCAAGAGTAGGTAAGGTTCTCGCGTTGCATCG  
AATTAAACCACATGYTCCACCGCTTGTGCGGGCCCCCGTCAATTCAATTGAGTTAACCTGCGGCCGTACTCCCCAGG  
CGGTCGACTTAACCGTTAGCTCCGGAAGCCACTCCTCAAGGGAACAAACCTCCAAGTCGACATCGTTACGGCGTGGAC  
TACCAGGGTATCTAATCCTGTTGCTCCCCACGCTTGCACCTGAGCGTCAGTCTTGTCAGGGGCCGCTTCGCCA  
CCGGTATTCCCTCCAGATCTCTACGCATTCAACCGCTACACCTGGAATTCTACCCCCCTCTACAAGACTCTAGCCTGCCAG  
TTTCGAATGCAGTTCCAGGTTGAGCCGGGATTTCACATCCGACTTGACAGACCGCCTGCGTGTACGCCAGT  
AATTCCGATTAACGCTTGCACCCCTCCGTATTACCGCGCTGCTGGCACGGAGTTAGCCGGTGTCTCTCGAGTAACG  
TCAATCACTGCGGTTATTAAACCACAATGCCTTCCCTCGCTGAAAGTACTTACAACCCGAAGGCCCTCTCATACACG  
CGGCATGGCTGCATCAGGCTTGCGCCATTGTGCAATTCTCCACTGCTGCCTCCGTAGGAGTCTGGACCGTGTCTCA  
GTTCCAGTGTGGCTGGTCATCCTCTCAGACCAGCTAGGGATCGCCTAGGTGAGCCATTACCCACCTACTAGCTAAT  
CCCATCTGGCACATCTGATGGCAAGAGGCCGAAGGTCCCCCTTTGGTCTTGCACGTTATCGGTATTAGCTACC  
GTTTCCAGTAGTTATCCCCCTCCATCAGGCAGTTCCCAGACATTACTCACCCGTCCGCCGCTCGTACCCAGGAGCAAG  
CTCCCTGTGCTACCGCTCGACT

ID: 431

*Burkholderia*

GCGGTTAGACTAGCCACTTCTGGTAAAACCCACTCCCATGGTGTGACGGGCGGTGTGTACAAGACCCGGAACGTATT  
ACCGCGGCATGCTGATCCGCGATTACTAGCGATTCCAGCTCATGCACTCGAGTTGCAGAGTGCAATCCGGACTACGAT  
CGGTTTCTGGATTAGCTCCCCCTCGCGGGTTGGCGACCCTCTGTTCCGACCATTGTATGACGTGTGAAGCCCTACCCA  
TAAGGGCCATGAGGACTTGACGTCACTCCCACCTTCCCTCCGGTTGTCACCGGCAGTCTCCTTAGAGTGCTCTGCGTAG  
CAACTAAGGACAAGGGTTGCCTCGGGACTTAACCCAACATCTCASGACACGAGCTGACGACAGCCATGCAGC  
ACCTGTGTATCGGTTCTTTCGAGCACTCCGAATCTCTTCAGGATTCCGACCATGTCAAGGGTAGGTAAGGTTTTCG  
CGTTGCATCGAATTAAATCCACATCATCCACCGCTTGTGCGGGTCCCCGTCAATTCTTGAGTTTAATCTGCGACCGT  
ACTCCCCAGGCAGGTCACCTCACCGTTAGCTACGTTACTAAGGAAATGAATCCCCAACAACTAGTTGACATCGTTAG

GGCGTGGACTACCAGGGTATCTAATCCTGTTGCTCCCCACGCTTCGTGCATGAGCGTCAGTATTGGCCCAGGGGGCT  
GCCTTCGCCATCGGTATTCCCTCACATCTACGCATTCACTGCTACACGTGGAATTCTACCCCCCTGCCATACTCTA  
GCTTGCCAGTCACCAATGCAGTCCCAGGTTGAGCCCAGGGATTTCACATCGGTCTAACAAACCGCCTGCGCACGCTT  
TACGCCAGTAATTCCGATTAACGCTTGCACCCACTACGTATTACCGCGGCTGCTGGCACGTAGTTAGCCGGTCTTATTCT  
TCCGGTACCGTCATCCCCGACTGTATTAGAGTCAGGGATTCTTCCGGACAAAAGTGTCTTACAACCCGAAGGCCCTC  
TTCACACACGCAGCATTGCTGGATCAGGCTTCCGGCTTGTCCAAACTGCTGCCTCCGTAGGAGTCTGGG  
CCGTGTCTCAGTCCCAGTGTGGCTGGCTCGCTCTCAGACAGACTGATCGTCGCCTGGTAGGCTTTACCCCTACCA  
ACTAGCTAATCAGCCATCGGCCAACCCATAGCGCAGGGCCGAAGATCCCCGCTTACCGTAGATCGTATGCCGT  
ATTAATCCGGCTTCCGGGGCTATCCCCACTACAGGACATGTTCCGATGTATTACTCACCCGTTGCCACTCGCCACC  
AGACCGAAGTCCGTGCTGCCGTGACTGC

ID: 436

*Brevundimonas*

GGTCAGCGCAGCGCCTCGGGTAGAACCAACTCCCCATGGTGTGACGGCGGTGTACAAGGCCGGAACGTATTCA  
CCGCGGCATGCTGATCCCGATTACTAGCGATTCCAACCTCATGCCCTCGAGTTGCAGAGGACAATCCGAACGTGAGACG  
ACTTTAAGGATTAACCCCTGTAGTCGCCATTGTAGCACGTGTAGGCCACCCGTAAAGGCCATGAGGACTTGACG  
TCATCCCCACCTCTCCGGCTTAGCACCGCRGCTCCATTAGAGTCCAACTAAATGATGGCAACTATGGCGAGGGT  
TGCCTCGTGGGGACTTAACCCAAACATCTCACGACACGAGCTGACGACAGCCATGCAGCACCTGTGTCCTAGTCCC  
GAAGGGAAAGCCAGATCTCTGGCGGTCCAGGCATGTCAAAAGGTGTAAGGTTCTGCGCGTTGCTCGAATTAAACC  
ACATGCTCCACCGCTTGTGGGGCCCCGTCAATTCTTGAGTTAACCTCGACCGTACTCCCAGGCGGATTGCT  
TAATGCGTTAGCTCGTCACCGAAATGCATGCATCCCACAACTAGCAATCATCGTTACGGCGTGGACTACCAGGGTA  
TCTAATCCTGTTGCTCCCCACGCTTGCAGCCTCAGCGTCAGTAATGAGCCAGTGTGTCGCCTCGCCACTGGTGTCTT  
CCGAATATCTACGAATTACCTCTACACTCGGAGTTCCACACACCTCTCATACTCAAGACACCCAGTAAAGGC  
AATTCCGAGGTTGAGCCCCGGGATTTCACCCCTGACTTAAATGTCGCCTACGCTCCCTTACGCCAGTAATTCCGAGC  
AACGCTAGCCCCCTCGTATTACCGCGGCTGCTGGCACGAAGTTAGCCGGGCTTCTCCGGGTACCGTCATTATC  
GTCCCCGGTAAAGAATTTCACCTAAGACCTCATTCACGCGGATGGCTGCGTCAGGCTTCCGCCATTGCG  
CAAGATTCCCCACTGCTGCCTCCGTAGGAGTTGGCCGTGCTCAGTCCAAATGTGGCTGATCATCCTCTCAGACCAG  
CTACTGATCGTCGCCTGGTGAGCCTTACCTCACCAACTAGCTAATCAGACGCGGGCCGCTAAAGGCATAATCT  
TTCCCCCGAAGGGCACATTGGTATTAGCACAAGTTCCCTGAGTTATTCCGAACCTAAAGGCACGTTCCCACGTGTTAC  
TCACCCGTCGCCACTAACCTCGAACAGAGTTCGTCGACTGCA

ID: 439

*Enterobacter*

GCTACCTACTTCTTGCAACCCACTCCCATGGTGTGACGGCGGTGTACAAGGCCGGAACGTATTACCGTAGC

ATTCTGATCTACGATTACTAGCGATTCCGACTTCACGGAGTCGAGTTGCAGACTCCGATCCGGACTACGACATACTTGT  
GAGGTCCGCTTGCCTCGCGAGGTCGCTTGTATGCCATTGTAGCACGTGTAGCCCTACTCGTAAGGGCCA  
TGATGACTTGACGTCACTCCCCACCTCCTCCAGTTATCACTGGCAGTCTCCTTGAGTTCCCGGGAAACCGCTGGCAA  
CAAAGGATAAGGGTTGCCTCGTGCAGGACTTAACCCAACATTACAACACAGACTGACGACAGCCATGCAGCACC  
TGTCTCAGAGTCCGAAGGCACCAAAGCATCTCTGCTAAGTTCTCTGGATGTCAAGAGTAGGTAAGGTTCTCGCGTT  
GCATCGAATTAAACCACATGCTCCACCGCTTGTGCGGGCCCCGTCAATTGAGTTAACCTTGCAGGCGCTACTC  
CCCAGGCGGTGACTTAACCGTTAGCTCCGAAGCCACTCCTCAAGGAAACAACCTCCAAGTCGACATCGTTACGGC  
GTGGACTACCAGGGTATCTAATCCTGTTGCTCCCACGCTTGCACCTGAGCGTCAGTCTTGCTCCAGGGGCCGCCT  
TCGCCACCGGTATTCCCTCAGATCTACGCATTCAACCGCTACACCTGGAATTCTACCCCCCTACAAGACTCTAGCC  
TGCCAGTTCGAATGCAGTCCAGGTTGAGCCGGGATTTCACATCCGACTTGACAGACCGCCTGCGCTTAC  
GCCAGTAATTCCGATTAACGCTTGCACCCCTCCGTATTACCGCGGCTGCTGGCACGGAGTTAGCCGGTGCCTCTCGC  
AGTAACGTCAATCACTGCGGTATTAACCACAATGCCTCCTCGCTGAAAGTACTTACAACCGAAGGCCTCTTC  
ATACACGCGGATGGCTGCATCAGGCTTGCACCTGCAATTGCAATTCCCACTGCTGCCTCCGTAGGAGTCTGGACC  
GTGTCTCAGTTCCAGTGTGGCTGGTACCTCTCAGACCAAGCTAGGGATCGTCGCCTAGGTGAGCCATTACCCACCTAC  
TAGCTAATCCCACATGGGCACATCTGATGGCAAGAGGCCGAAGGTCCCCCTTTGGTCTTGCACGTTATGCGGTATT  
AGCTACCAGTTCCAGTAGTTATCCCCCTCCATCAGGAGTTCCAGACATTACTCACCCGTCCGCCGCTCGTACCCAG  
GAGCAAGCTCCCTGTGCTACCGCTCGACTGC

ID: 475

*Pseudomonas*

GTCCTCCGAAGGTTAGACTAGCTACTTCTGGTCAACCCACTCCATGGTGTACGGGGGGTGTACAAGGCCGGGA  
ACGTATTCAACCGCGACATTCTGATTGCGATTACTAGCGATTCCGACTTCACGCAGTCGAGTTGCAGACTGCGATCCGG  
ACTACGATCGGTTTGTGGATTAGCTCACCTCGCGGCTTGGCAACCCCTGTACCGACCATTGAGCACGTGTAGC  
CCAGGCCGTAAAGGCCATGATGACTTGCATCCCCACCTTCCCGGTTGTCACCGCAGTCTCCTAGAGTGC  
ACCATAACGTGCTGGTAACTAAGGACAAGGGTTGCGCTCGTTACGGACTTAACCCACATCTCACGACACGAGCTGAC  
GACAGCCATGCAGCACCTGTCAATGTTCCGAAGGCACCAATCCATCTGGAAAGTTCAATTGATGTCAAGGCCTG  
GTAAGGTTCTCGCGTTGCTCGAATTAAACCACATGCTCCACCGCTTGTGCGGGCCCCGTCAATTGAGTTTA  
ACCTTGCAGGCCGTACTCCCCAGGGCGTCAACTTAATGCGTTAGCTGCGCCACTAAGAGCTCAAGGCTCCAASGGCTAG  
TTGACATCGTTACGGCGTGGACTACCAAGGTATCTAATCCTGTTGCTCCCCACGCTTGCACCTCAGTGTAGTATC  
AGTCCAGGTGGTCGCCACTGGTGTCCCTTCTATACGCAATTCCACCGCTACACAGGAAATTCCACCA  
TCTACCATACTCTAGCTGCCAGTTGGATGCAGTCCAGGGTACCGGGGATTTCACATCCAACCTAAAGTGCTTACAA  
CCTACGCGCGCTTACGCCAGTAATTCCGATTAACGCTTGCACCCCTGTATTACCGCGGCTGCTGGCACAGAGTTAGC  
CGGTGCTTATTCTGTCGGTAACGTAAAATTGCAGAGTATTAATCTACAACCCCTCCCAACTAAAGTGCTTACAA  
TCCGAAGACCTCTTACACACGCGGATGGCTGGATCAGGCTTCCGCCCATTGTCCAATATTCCCCACTGCTGCCTCCC

GTTAGGAGTCTGGACCGTGTCTCAGTTCCAGTGTGACTGATCATCCTCTCAGACCAGTTACGGATCGTCGCCCTGGTGAGC  
CATTACCTCACCAACTAGCTAATCCGACCTAGGCTCATCTGATAGCGCAAGGCCGAAGGTCCCCCTGCTTCTCCCGTAG  
GACGTATGCGGTATTAGCGTCTTCGAAACGTTGTCCCCACTACCAGGCAGATTCCCTAGGCATTACTCACCCGTCCG  
CCGCTGAATCCAGGAGCAAGCT

ID: 490

*Bacillus*

GACTTCGGGTGTTACAAACTCTCGTGGTGTGACGGGCGGTGTACAAGGCCGGAACGTATTACCGCGGCATGCTG  
ATCCCGCATTACTAGCGATTCCAGCTTCATGTAGGCGAGTTGCAGCCTACAATCCGAAC TGAGAACGGTTTATGAGAT  
TAGCTCCACCTCGCGGTCTTGCAGCTTTGTACCGTCATTGTAGCACGTGTAGCCCAGGTATAAGGGGCATGATG  
ATTGACGTACATCCCCACCTCCTCCGGTTGTACCGGCAGTCACCTAGAGTGCCAACTTAATGATGGCAACTAAGA  
TCAAGGGTTGCCTCGTTGCGGGACTTAACCCAACATCTCACGACACGAGCTGACGACAACCATGCACCACCTGTCAC  
CTGCTCCGAAGGAGAACGCCATTCTAGGGTTTCAGAGGATGTCAAGACCTGGTAAGGTTCTCGCGTTGCTCGA  
ATTAAACACATGCTCCACGCTTGTGCGGGCCCCGTCAATTCTTAGGGTTCAAGACCTGGTAAGGTTCTCGCGTTGCTCGA  
GAGTGCTTAATGCGTTAACTCAGCACTAAAGGGCGAACCYCTAACACTTAGCACTCATCGTTACGGCGTGGACT  
ACCAGGGTATCTAATCCTGTTGCTCCCCACGCTTCGCGCCTCAGTGTCAAGTACAGACCAGAAAGTGCCTCGCCAC  
TGGTGTCCCTCCATATCTCTACGCATTACCGCTACACATGGAATTCCACTTCCCTTCTGCAC TCAAGTCTCCAGTT  
TCCAATGACCCCTCCACGGTGAGCCGTGGGCTTCACATCAGACTTAAGAAACCACCTGCGCGCGCTTACGCCAATA  
ATTCCGGATAACGCTTGCCACCTACGTATTACCGCGCTGGCACGTAGTTAGCCGTGGCTTCTGGTTAGGTACCGT  
CAAGGTGCCAGCTTATTCAACTAGCACTTGTCTCCCTAACAAACAGAGTTTACGACCCGAAAGCCTCATCACTCACG  
CGGCGTTGCTCCGTCAAGACTTCGTCATTGCGGAAGATTCCCTACTGCTGCCTCCGTAGGAGTCTGGCCGTGCTCA  
GTCCCCAGTGTGGCCGATCACCCCTCTCAGGTGGCTACGCATCGTTGCCTGGTGAGCCGTTACCTCACCAACTAGCTAAT  
GCGACGGGGTCCATCCATAAGTGACAGCCGAAGCCGCTTCAATTGCAACCAGTCAAATGTTACCGGTA  
TTAGCCCCGGTTCCCGGAGTTATCCCAGTCTTATGGGCAGGTTACCCACGTGTACTCACCGTCCGCCGCTAACTTCA  
TAAGAGCAAGCTTAACTCATTGCTCGACTGC

ID: 494

*Bacillus*

ACCTCACCGACTCGGGTGTACAAACTCTCGTGGTGTGACGGGCGGTGTACAAGGCCGGAACGTATTACCGCG  
GCATGCTGATCCCGATTACTAGCGATTCCAGCTCACGAGTCGAGTTGCAGACTGCGATCCGAAC TGAGAACAGATT  
TGTGGGATTGGCTTAACCTCGCGGTTCGCTGCCCTTGTCTGTCCATTGTAGCACGTGTAGCCCAGGTATAAGGG  
GCATGATGATTGACGTACCCCCACCTTCCCTCCGGTTGTACCGGCAGTCACCTAGAGTGCCAAGTGAATGCTGGC  
AACTAAGATCAAGGGTTGCGCTCGTGCAGGGACTTAACCCAACATCTCACGACACGAGCTGACGACAACCATGCACCA  
CCTGTCACTCTGCCCGAAGGGACGTCTATCTTAGGATTGTCAGAGGATGTCAAGACCTGGTAAGGTTCTCGCG

TTGCTTCGAATTAAACCACATGCTCCACCGCTTGTGCAGGGCCCCGTCAATTCTTGAGTTCAGTCTGCGACCGTAC  
TCCCCAGGCGGAGTGCTTAATGCGTTAGCTGCAGCACTAAGGGCGGAAACCCYTAACACTTAGCACTCATCGTTAC  
GGCGTGGACTACCAGGGTATCTAACCTGCTCCACGCTTCAGCTCACAGTGGATTCCACTCTCCTCTGCACTCAA  
GCCTTCGCCACTGGTGTCCACATCTACGCATTCAACGTGGATTCCACTCTCCTCTGCACTCAA  
GTTCCCCAGTTCCAATGACCCCTCCCCGGTTGAGCCGGGGCTTCACATCAGACTTAAGAAACCGCCTGCAGGCCCTT  
ACGCCAATAATTCCGGACAACGCTTGCACCTACGTATTACCGCGCTGCTGGCACGTAGTTAGCCGTGGCTTCTGGT  
TAGGTACCGTCAAGGTACCGCCATTCAACAGGTACTTGTCTCCCTAACAAACAGAGCTTACGATCCGAAAACCTTC  
ATCACTCACGCGCGTTGCTCCGTACAGACTTGTCCATTGCGGAAGATTCCCTACTGCTGCCTCCGTAGGAGTCTGGG  
CCGTGTCTCAGTCCCAGTGTGGCGATCACCTCTCAGGTGGCTACGCATCGTGCCTGGTGGAGCCGTTACCTCACCA  
ACTAGCTAATGCGCCGCGGGTCCATCTGAAGTGGTAGCCGAAGCCACCTTATGTTGAACCATGCGGTTCAAACAA  
CCATCCGGTATTAGCCCCGGTTCCCGAGTTACCCAGTCTTACAGGCAGGTTACCCACGTGTTACTCACCGTCCGCC  
GCTAACATCAGGGAGCAAGCTCCCATC

ID: 499

*Stenotrophomonas*

GCTACCTGCTTGTGCAACAAACTCCCATTGGTGTGACGGGCGGTGTGTACAAGGCCGGAACGTATTCACCGCAGC  
AATGCTGATCTGCGATTACTAGCGATTCCGACTTCATGGAGTCAGTTGCAGACTCCAATCCGGACTGAGATGGGGTT  
CTGGGATTGGCTTACCGTCGCCGGCTTGCAGCCCTCTGCCCCACCATTTGTAGTACGTGTAGCCCTGGCGTAAGGGC  
CATGATGACTTGACGTCACTCCCCACCTTCTCCGGTTGTCACCGGCGGTCTCCTAGAGTTCCCACCATACGTGCTGG  
CAACTAAGGACAAGGGTTGCGCTCGTTGCCGGACTTAACCCAAACATCTCACGACACGAGCTGACGACAGCCATGCAGC  
ACCTGTGTTGAGTTCCCGAAGGCACCAATCCATTCTGGAAAGTTCTGACATGTCAAGGCCAGGTAAGGTTCTCGC  
GTTGCATCGAATTAAACCACATACTCCACCGCTTGTGCCGGCCCCCGTCAATTCTTGAGTTCACTGCGACCGTA  
CTCCCCAGGCAGCGAACCTAACCGCTTAGCTCGATACTGCGTGCCAAATTGCAACCCAAACATCCAGTTCGATCGTTA  
GGCGTGGACTACCAGGGTATCTAACCTGTTGCTCCCCACGCTTGTGCGCTCAGTGTCACTGTTGGTCAGGTA  
GCCTTCGCCATGGATGTTCTCCGATCTACGCATTCACTGCTACACCGGGAAATTCCGCTACCCCTTACCAACTCT  
AGTCGTCCAGTTCCACTGCAGTTCCAGGTGAGGCCAGGGTTCAACACAGACTAAACAAACCAACCTACGCACGCT  
TTACGCCAGTAATTCCGAGTAACGCTTGCACCCCTCGTATTACCGCGCTGCTGGCACGAAGTTAGCCGGTGCTTATT  
TTGGGTACCGTCATCCCAACCAGGTATTAGCCGGCTGGATTCTTCCCAACAAAAGGGTTACAACCCGAAGGCCTT  
CTTCACCCACGCCGTGGATGGATCAGGCTTGCAGGCCATTGTCCAATTCCCCACTGCTGCCTCCGTAGGAGTCTGG  
ACCGTGTCTCAGTCCAGTGTGGCTGATCATCCTCTCAGACCAGCTACGGATCGTCGCCTGGTGGCCTTACCCGCC  
AACTAGCTAATCCGACATCGGCTCATTCAATCGCGCAAGGCCGAAGGTCCCCTGTTCACCCGTAGGTGTA  
TATTAGCGTAAGTTCCCTACGTTATCCCCACGAAAAAGTAGATTCCGATGTATTCTCACCCGTCCGCCACTGCCAC  
CCAAGGAGCAAGCTCCTCTGTGCTGCCGTGACTGC

ID: 503

*Serratia*

CTACCTACTTGTCAACCCACTCCCATGGTGTACGGGCGGTGTACAAGGCCGGAACGTATTCACCGTAGCA  
TTCTGATCTACGATTACTAGCGATTCCGACTTCACGGAGTCGAGTTGCAGACTCCGATCCGACTACGACATACTTATG  
AGGTCCGCTTGTCTCGAGTCGCTTCTCTTGATATGCCATTGTAGCACGTGTAGCCCTACTCGTAAGGCCAT  
GATGACTTGACGTCATCCCCACCTCCTCCGGTTATCACCGGCAGTCTCCTTGAGTTCCGCCATCACCGCTGGCAA  
CAAAGGATAAGGGTTGCCTCGTGCAGGACTTAACCCAACATTACAACACAGCTGACGACAGCCATGCAGCACC  
TGTCTCACAGTCCGAAGGCACCAATCCATYTCGGAAAGTTCTGTGGATGTCAAGAGTAGGTAAGGTTCTCGCGTT  
GCATCGAATTAAACCACATGYTCCACCGCTTGTGCAGGCCCCCGTCAATTGAGTTAACCTTGCAGGCCGTACTC  
CCCAGGCGGTGACTTAACGCGTTAGCTCCGGAAGGCCACGCCTCAAGGGACAACCTCCAAGTCGACATCGTTACAGC  
GTGGACTACCAGGGTACTAATCCTGTTGCTCCCCACGCTTCGACCTGAGCGTCAGTCTTGTCCAGGGGCCGCCT  
TCGCCACCGGTATTCCCTCAGATCTACGCATTACCGCTACACCTGGAATTCTACCCCCCTACAAGACTCTAGCT  
TGCCAGTTCAAATGCAGTCCCAAGTTAACGCTGGGATTTCACATCTGACTTAACAAACCGCCTGCGTGCCTTACG  
CCCAGTAATTCCGATTAACGCTGCACCCCTCCGATTACCGCGCTGCTGGCACGGAGTTAGCCGGTGCCTTCTCGA  
GTAACGTCAATGAACGGTGTATTAACACCGAACCCCTCCTCGCTGAAAGTGTAAACACCGAAGGCCCTTCA  
CACACGCGGATGGCTGCATCAGGCTTGCACCGCTTGTCAATTCCCCACTGCTGCCTCCGTAGGAGTCTGGACCG  
TGTCTCAGTCCAGTGTGGCTGGCATCCTCTCAGACCAAGCTAGGGATCGTCGCTAGGTGAGCCATTACCTCACCTACT  
AGCTAACCGTTCCAGTAGTTATCCCCCTCCATCGGGCAGTTCCCAGACATTACTCACCGTCCGCCGCTCGTACCCAG  
GAGCAAGCTCCTTGTGCTACCGCTCGACTGCA

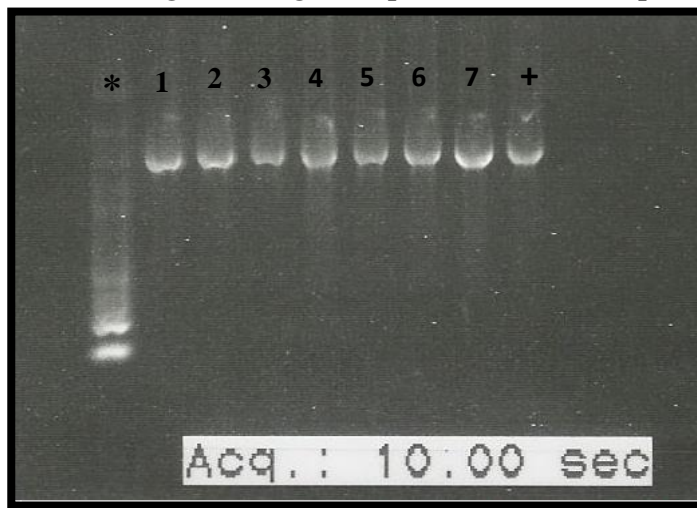
ID: 511

*Chryseobacterium*

GTTACGGTCACCGACTTCAGGTACCCAGACTTCCATGGCTTGACGGGCGGTGTACAAGGCCGGAACGTATTAC  
CGCGCCATGGCTGATGCGCATTACTAGCGATTCCAGCTTCATAGAGTCGAGTTGCAGACTCCAATCGAACTGAGACC  
AGCTTCGAGATTAGCATCCAGTCGCTGGTAGCAGCCCTCTGTACTGCCATTGTATTACGTGTGGCCCAAGGGGTA  
AGGGCCGTGATGATTGACGTATCCCCACCTCCTCTACTTGCCTAGGCAGTCTCACTAGAGTCCCCACTGAATGA  
TGGCAACTAGTGACAGGGGTGCGCTCGTGCAGGACTTAACCTAACACCTCACGGCACGAGCTGACGACAACCATGC  
AGCACCTGAAAAATGTCCGAAGAAAAGTCTATTCTAAACCTGTATTCCCATTAAAGCCTGGTAAGGTTCTCGCG  
TATCATCGAATTAAACCACATAATCCACCGCTTGTGCAGGCCCCGTCAATTCCATTGAGTTCATCTTGCAGTAC  
TCCCCAGGTGGCTAACTTATCACTTGCCTAGTCTCTGAATCCAAAACCCAAAACGAGTTAGCATCGTTACGGCGT  
GGACTACCAGGGTATCTAATCCTGTTGCCTCCACGCTTGCCTACAGCGTCAGTTAACGACATGGTAACCTGCC  
GCAATTGGTGTCTAAGTAATATCTATGCATTACCGCTACACTACTTATTCCAGCTACCTACTACCTACTCAAGACCC  
GCAGTATCAATGGCAGTTCATAGTTAACGATTCACCACTGACTTACGAGTCCGCCTACGGACCCTTAAACC

CAATAAATCCGGATAACGCTTGCACCCTCCGTATTACCGCGGCTGCTGGCACGGAGTTAGCCGGTGCTTATTGTATAG  
TACCTTCAGCTTCCACACGTGGAAAGGTTATCCCTATACAAAAGAAGTTACAACCCATAGGGCCGTATCCTTCACG  
CGGGATGGCTGGATCAGGCTCTCACCCATTGTCCAATATTCTCACTGCTGCCTCCGTAGGAGTCTGGTCCGTCTCA  
GTACCAGTGTGGGGGATCACCCCTCAGGCCCTAAAGATCATTGACTTGGTGAGCCGTTACCTCACCAACTATCTAA  
TCTTGCCTGCCCCATCTCATCCACCAGTTCAATATCAAATGATGCCATTCAATATATTATGGGGTATTAATCTT  
CCTTCGAAAGGCTATCCCCCTGATAAAGGTAAGTTGCACACGTGTTCCGCACCGTACGCCGCTCTCTG

*Fotografía representativa de los geles de agarosa para visualizar los productos de PCR*



CONVENCIONES

- \* Marcador de peso
- 1-7 Gen 16S amplificado de las bacterias secuenciadas
- + Control positivo

**Listado total de las especies encontradas en todos los individuos muestreados de *R. palmatus* y *D. labialis*.**

Donde el #1 indica presencia del microorganismo, el color verde que presento un efecto anti-Bd, y el color rojo que no presentó un efecto anti-Bd.

Especie	<i>R. palmatus</i>															<i>D. labialis</i>									
	A1	A2	A3	A4	A5	J1	J2	J3	J4	J5	R1	R2	R3	R4	R5	A1	A2	A3	A4	A5	J1	R1	R2	R3	
<i>Acinetobacter calcoaceticus</i>														1											
<i>Acinetobacter guillouiae</i>																							1		
<i>Acinetobacter haemolyticus</i>						1																			
<i>Acinetobacter johnsonii</i>																									1
<i>Acinetobacter junii</i>							1																		
<i>Aeromicrobium sp.</i>															1										
<i>Aeromonas hydrophila</i>								1					1	1	1										1
<i>Aeromonas jandaei</i>														1											
<i>Arthrobacter gandavensis</i>							1	1	1				1		1										
<i>Arthrobacter koreensis</i>									1																
<i>Arthrobacter oxydans</i>		1				1				1															
<i>Arthrobacter pascens</i>								1				1													
<i>Arthrobacter polychromogenes</i>				1			1																		
<i>Bacillus cereus</i>						1									1	1	1					1	1	1	1
<i>Bacillus circulans</i>																						1	1		
<i>Bacillus megaterium</i>						1								1											
<i>Bacillus simplex</i>																					1				
<i>Bacillus sonorensis</i>		1																							
<i>Bacillus sp.</i>																							1	1	
<i>Bacillus subtilis</i>						1				1	1	1		1						1	1		1		
<i>Brevundimonas sp.</i>																						1			
<i>Brevundimonas vesicularis</i>										1											1	1		1	
<i>Burkholderia sp.</i>																					1				





